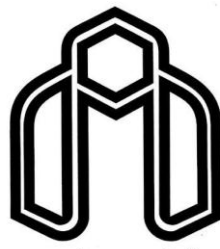


بِسْمِ اللّٰهِ الرَّحْمٰنِ الرَّحِيْمِ



دانشگاه صنعتی شهرود

دانشکده مکانیک

پایان نامه کارشناسی ارشد طراحی کاربردی

# آنالیز مودال غیر خطی برای تیر میکرو با میرایی ترموالاستیک

دانشجو:

رامتین حدادزاده هندو

استاد راهنما:

دکتر اردشیر کرمی محمدی



مدیریت تحصیلات تکمیلی  
فرم شماره (۶)

شماره :

تاریخ :

ویرایش :

### بسمه تعالیٰ

### فرم صور تجلیسه دفاع پایان نامه تحصیلی دوره کارشناسی ارشد

با تأییدات خداوند متعال و با استعانت از حضرت ولی عصر (عج) جلسه دفاع از پایان نامه کارشناسی ارشد آقای رامتین خدادازاده هندو رشته مهندسی مکانیک گرایش طراحی کاربردی تحت عنوان آنالیز مودال غیر خطی برای تیر میکرو با میرایی ترمولاستیک که در تاریخ ۹۲/۶/۲۵ با حضور هیأت محترم داوران در دانشگاه صنعتی شاهرود برگزار گردید به شرح زیر است :

قبول (با درجه امتیاز )  مردود  دفاع مجدد

۱- عالی (۲۰ - ۱۹) ۲- بسیار خوب (۱۸/۹۹ - ۱۸)

۳- خوب (۱۷/۹۹ - ۱۶) ۴- قابل قبول (۱۵/۹۹ - ۱۴)

۵- نمره کمتر از ۱۴ غیر قابل قبول

اعضای هیأت داوران	نام و نام خانوادگی	مرتبه علمی	امضاء
۱- استاد راهنمای	امیر کرمی کاهوی	استاد دیار	
۲- استاد مشاور			
۳- نماینده شورای تحصیلات تکمیلی	رضی طهرانی	استاد دیار	
۴- استاد ممتحن	رضا حسینی		
۵- استاد ممتحن	امیر حسینی	استاد دیار	

تأیید رئیس دانشکده



سرشت استاد زندگی است

همه است و همه او نیستند

اندوه و سادی، پس و پیش، درون و برون

جملکی افزار پرورش اویند  
خردو دانش پیچ آند

گمک میانجی در هی تاریک به سوی تی

ار حمید جهان . . . ساس گذارم

ب

کلیه حقوق معنوی این اثر به دانشگاه صنعتی شاهرود تعلق دارد. نقل مطالب با ذکر مرجع بلامانع است

# تعهد نامه

اینجانب رامتین حدادزاده هندو دانشجوی دوره کارشناسی ارشد رشته مهندسی مکانیک - طراحی کاربردی دانشکده مکانیک دانشگاه صنعتی شاهرود نویسنده پایان نامه آنالیز مodal غیر خطی برای تیر میکرو با میرایی ترمومالاستیک تحت راهنمایی دکتر اردشیر کرمی محمدی متعهد می شوم.

- تحقیقات در این پایان نامه توسط اینجانب انجام شده است و از صحت و اصالت برخوردار است.
- در استفاده از نتایج پژوهش‌های محققان دیگر به مرجع مورد استفاده استناد شده است.
- مطالب مندرج در پایان نامه تاکنون توسط خود یا فرد دیگری برای دریافت هیچ نوع مدرک یا امتیازی در هیچ جا ارائه نشده است.
- کلیه حقوق معنوی این اثر متعلق به دانشگاه صنعتی شاهرود می باشد و مقالات مستخرج با نام « دانشگاه صنعتی شاهرود » و یا « Shahrood University of Technology » به چاپ خواهد رسید.
- حقوق معنوی تمام افرادی که در به دست آمدن نتایج اصلی پایان نامه تأثیرگذار بوده اند ، در مقالات مستخرج از پایان نامه رعایت می گردد.
- در کلیه مراحل انجام این پایان نامه ، در مواردی که از موجود زنده ( یا بافت‌های آنها ) استفاده شده است ضوابط و اصول اخلاقی رعایت شده است.
- در کلیه مراحل انجام این پایان نامه، در مواردی که به حوزه اطلاعات شخصی افراد دسترسی یافته یا استفاده شده است اصل رازداری ، ضوابط و اصول اخلاق انسانی رعایت شده است.

تاریخ

۹۲، ۹، ۲۰

امضای دانشجو

## مالکیت نتایج و حق نشر

- کلیه حقوق معنوی این اثر و محصولات آن (مقالات مستخرج ، کتاب ، برنامه های رایانه ای ، نرم افزار ها و تجهیزات ساخته شده است ) متعلق به دانشگاه صنعتی شاهرود می باشد . این مطلب باید به نحو مقتضی در تولیدات علمی مربوطه ذکر شود .
- استفاده از اطلاعات و نتایج موجود در پایان نامه بدون ذکر مرجع مجاز نمی باشد.

ج

کلیه حقوق معنوی این اثر به دانشگاه صنعتی شاهرود تعلق دارد. نقل مطالب با ذکر مرجع بلامانع است

## چکیده

هدف در این پایان نامه بررسی ارتعاشات غیر خطی گذرای تیر میکرو با میرایی ترمومالاستیک است. پس از مرور تاریخچه‌ی پژوهش‌های مهم و کلیدی انجام شده، معادله‌ی انتقال حرارت برای رابطه کرنش - جابجایی غیر خطی حل و سپس معادله حرکت تیر اویلر - برنولی با جابجایی عرضی بزرگ و میرایی ترمومالاستیک استخراج شده است. سیستم مورد بحث به کمک تئوری مود‌های طبیعی غیر خطی، بررسی و توابع مود بر حسب بیشینه دامنه‌ی سیستم ارائه شده و سپس با استفاده از مود‌های غیر خطی، سیستم یک درجه آزادی معادل در حرکت تک مودی محاسبه شده است. پاسخ گذرای سیستم برای ابعاد و دماهای متفاوت با استفاده از روش بالانس هارمونیکی و سیگنال تحلیلی بدست آمده از تبدیل هیلبرت، محاسبه و با یکدیگر مقایسه شده است. ارتباط دامنه‌ی سیستم در ارتعاش غیر خطی با میرایی ترمومالاستیک، نحوه‌ی اثر گذاری این مکانیزم میرایی بر پارامتر‌های پاسخ و همچنین اتلاف انرژی سیستم به واسطه کاهش فرکانس در شرایط متفاوت مورد بحث و بررسی قرار گرفته است. نشان داده شده است که رابطه حاکم بر سیستم معادل تیر میکرو در آنالیز مودال غیر خطی، از نظر ساختاری متفاوت با دیگر روش‌های معمول همانند گلرکین بوده و این موضوع سبب وجود نقاط کمینه در پارامتر‌های پاسخ می‌گردد.

کلید واژه : مود غیر خطی، تیر میکرو، میرایی ترمومالاستیک، سیگنال تحلیلی

## فهرست مطالب

۱	فصل اول : مقدمه
۲	۱-۱. پیشگفتار
۲	۱-۲. سیستم های میکرو الکترو مکانیکی
۳	۱-۳. تاریخچه
۳	۱-۳-۱. میرایی ترمولاستیک
۴	۱-۳-۲. مود غیر خطی
۵	۱-۳-۳. تبدیل هیلبرت
۶	فصل دوم : استخراج معادله حرکت
۷	۲-۱. کلیات
۷	۲-۲. هندسه تیر صفحه ای
۱۰	۲-۳. تحلیل انتقال حرارت
۱۳	۲-۴. معادله حرکت و شرایط مرزی
۱۵	فصل سوم : آنالیز مودال غیر خطی
۱۶	۳-۱. مود طبیعی غیر خطی
۱۸	۳-۲. آنالیز مودال تیر اویلر برنولی با جابجایی عرضی بزرگ
۲۱	۳-۳. تحلیل درجه اول
۲۳	۳-۲-۱. تحلیل درجه دوم
۲۳	۳-۲-۲. تحلیل درجه سوم
۲۶	۳-۲-۳. شکل مود و دینامیک مود
۲۳	فصل چهارم : بررسی پاسخ گذرا
۳۴	۴-۱. کلیات

۳۴.....	۲-۴. روش بالانس هارمونیکی.....
۳۵.....	۱-۲-۴. نوع اول.....
۳۷.....	۲-۲-۴. نوع دوم.....
۳۸.....	۳-۲-۴. محاسبه پاسخ ضمنی .....
۳۹.....	۳-۴. سیگنال تحلیلی.....
۴۹.....	۱-۳-۴. تبدیل هیلبرت و سیگنال تحلیلی .....
۴۱.....	۲-۳-۴. دامنه و فرکانس لحظه ای .....
۴۳.....	۳-۳-۴. بررسی پاسخ با استفاده از سیگنال تحلیلی .....
۴۵.....	۴-۳-۴. فرکانس نامیرا.....
۴۵.....	۵-۳-۴. میرایی معادل .....
۴۶.....	۴-۴. پاسخ گذرا.....
۴۸.....	۱-۴-۴. میرایی خطی .....
۶۹.....	۲-۴-۴. میرایی غیر خطی .....
۹۰ .....	<b>فصل پنجم : نتیجه گیری</b>
۹۱.....	۱-۵. خلاصه نتایج.....
۹۱.....	۲-۵. پیشنهاد برای پژوهش های آینده .....
۹۳ .....	<b>مراجع و منابع:</b> .....

و

کلیه حقوق معنوی این اثر به دانشگاه صنعتی شاهرود تعلق دارد. نقل مطالب با ذکر مرجع بلامانع است

## فهرست اشکال

۷		۱-۲
۲۸	۱-۳ الف) مود اول خطی و غیر خطی $\delta = 0.7$	
۲۸	۱-۳ ب) مود اول خطی و غیر خطی $\delta = 1.2$	
۲۹	۲-۳ الف) مود دوم خطی و غیر خطی $\delta = 0.7$	
۲۹	۲-۳ ب) مود دوم خطی و غیر خطی $\delta = 1.2$	
۳۰	۳-۳ الف) مود سوم خطی و غیر خطی $\delta = 0.7$	
۳۰	۳-۳ ب) مود سوم خطی و غیر خطی $\delta = 1.2$	
۳۱	۴-۳ الف) مود چهارم خطی و غیر خطی $\delta = 0.7$	
۳۱	۴-۳ ب) مود چهارم خطی و غیر خطی $\delta = 1.2$	
۴۹	۱-۴ الف) دامنه نرمال $T = 300 \text{ K}$ ، $L = 50 \mu\text{m}$ ، $L/h = 15$	
۴۹	۱-۴ ب) دامنه نرمال $T = 300 \text{ K}$ ، $L = 70 \mu\text{m}$ ، $L/h = 15$	
۵۰	۱-۴ ج) دامنه نرمال $T = 300 \text{ K}$ ، $L = 90 \mu\text{m}$ ، $L/h = 15$	
۵۰	۲-۴ الف) مشتق دامنه نرمال نسبت به زمان $T = 300 \text{ K}$ ، $L = 50 \mu\text{m}$ ، $L/h = 15$	
۵۱	۲-۴ ب) مشتق دامنه نرمال نسبت به زمان $T = 300 \text{ K}$ ، $L = 70 \mu\text{m}$ ، $L/h = 15$	
۵۱	۲-۴ ج) مشتق دامنه نرمال نسبت به زمان $T = 300 \text{ K}$ ، $L = 90 \mu\text{m}$ ، $L/h = 15$	
۵۲	۳-۴ الف) فرکانس میرا $T = 300 \text{ K}$ ، $L = 50 \mu\text{m}$ ، $L/h = 15$	
۵۳	۳-۴ ب) فرکانس میرا $T = 300 \text{ K}$ ، $L = 70 \mu\text{m}$ ، $L/h = 15$	
۵۳	۳-۴ ج) فرکانس میرا $T = 300 \text{ K}$ ، $L = 90 \mu\text{m}$ ، $L/h = 15$	
۵۴	۴-۴ الف) فرکانس موهومنی معادل $T = 300 \text{ K}$ ، $L = 50 \mu\text{m}$ ، $L/h = 15$	
۵۴	۴-۴ ب) فرکانس موهومنی معادل $T = 300 \text{ K}$ ، $L = 70 \mu\text{m}$ ، $L/h = 15$	
۵۵	۴-۴ ج) فرکانس موهومنی معادل $T = 300 \text{ K}$ ، $L = 90 \mu\text{m}$ ، $L/h = 15$	
۵۶	۴-۵ الف) تغییر نرمال فرکانس $T = 300 \text{ K}$ ، $L = 50 \mu\text{m}$ ، $L/h = 15$	
۵۶	۴-۵ ب) تغییر نرمال فرکانس $T = 300 \text{ K}$ ، $L = 70 \mu\text{m}$ ، $L/h = 15$	
۵۷	۴-۵ ج) تغییر نرمال فرکانس $T = 300 \text{ K}$ ، $L = 90 \mu\text{m}$ ، $L/h = 15$	
۵۸	۶-۴ الف) معکوس ضریب کیفیت $T = 300 \text{ K}$ ، $L = 50 \mu\text{m}$ ، $L/h = 15$	
۵۸	۶-۴ ب) معکوس ضریب کیفیت $T = 300 \text{ K}$ ، $L = 70 \mu\text{m}$ ، $L/h = 15$	
۵۹	۶-۴ ج) معکوس ضریب کیفیت $T = 300 \text{ K}$ ، $L = 90 \mu\text{m}$ ، $L/h = 15$	

ز

کلیه حقوق معنوی این اثر به دانشگاه صنعتی شاهرود تعلق دارد. نقل مطالب با ذکر مرجع بلامانع است

- ۶۰ ..... الف) دامنه نرمال  $T = 200 \text{ K}$  ،  $L = 80 \mu\text{m}$  ،  $L/h = 20$  ۷-۴
- ۶۰ ..... ب) دامنه نرمال  $T = 300 \text{ K}$  ،  $L = 80 \mu\text{m}$  ،  $L/h = 20$  ۷-۴
- ۶۱ ..... ج) دامنه نرمال  $T = 400 \text{ K}$  ،  $L = 80 \mu\text{m}$  ،  $L/h = 20$  ۷-۴
- ۶۱ ..... الف) مشتق دامنه نرمال نسبت به زمان  $T = 200 \text{ K}$  ،  $L = 80 \mu\text{m}$  ،  $L/h = 20$  ۸-۴
- ۶۲ ..... ب) مشتق دامنه نرمال نسبت به زمان  $T = 300 \text{ K}$  ،  $L = 80 \mu\text{m}$  ،  $L/h = 20$  ۸-۴
- ۶۲ ..... ج) مشتق دامنه نرمال نسبت به زمان  $T = 400 \text{ K}$  ،  $L = 80 \mu\text{m}$  ،  $L/h = 20$  ۸-۴
- ۶۳ ..... الف) فرکانس میرا  $T = 200 \text{ K}$  ،  $L = 80 \mu\text{m}$  ،  $L/h = 20$  ۹-۴
- ۶۳ ..... ب) فرکانس میرا  $T = 300 \text{ K}$  ،  $L = 80 \mu\text{m}$  ،  $L/h = 20$  ۹-۴
- ۶۴ ..... ج) فرکانس میرا  $T = 400 \text{ K}$  ،  $L = 80 \mu\text{m}$  ،  $L/h = 20$  ۹-۴
- ۶۴ ..... الف) فرکانس موهومی معادل  $T = 200 \text{ K}$  ،  $L = 80 \mu\text{m}$  ،  $L/h = 20$  ۱۰-۴
- ۶۵ ..... ب) فرکانس موهومی معادل  $T = 300 \text{ K}$  ،  $L = 80 \mu\text{m}$  ،  $L/h = 20$  ۱۰-۴
- ۶۵ ..... ج) فرکانس موهومی معادل  $T = 400 \text{ K}$  ،  $L = 80 \mu\text{m}$  ،  $L/h = 20$  ۱۰-۴
- ۶۶ ..... الف) تغییر نرمال فرکانس  $T = 200 \text{ K}$  ،  $L = 80 \mu\text{m}$  ،  $L/h = 20$  ۱۱-۴
- ۶۶ ..... ب) تغییر نرمال فرکانس  $T = 300 \text{ K}$  ،  $L = 80 \mu\text{m}$  ،  $L/h = 20$  ۱۱-۴
- ۶۷ ..... ج) تغییر نرمال فرکانس  $T = 400 \text{ K}$  ،  $L = 80 \mu\text{m}$  ،  $L/h = 20$  ۱۱-۴
- ۶۷ ..... الف) معکوس ضریب کیفیت ۲۰  $T = 200 \text{ K}$  ،  $L = 80 \mu\text{m}$  ،  $L/h = 20$  ۱۲-۴
- ۶۸ ..... ب) معکوس ضریب کیفیت  $T = 300 \text{ K}$  ،  $L = 80 \mu\text{m}$  ،  $L/h = 20$  ۱۲-۴
- ۶۸ ..... ج) معکوس ضریب کیفیت  $T = 400 \text{ K}$  ،  $L = 80 \mu\text{m}$  ،  $L/h = 20$  ۱۲-۴
- ۷۰ ..... الف) دامنه نرمال  $T = 300 \text{ K}$  ،  $L = 50 \mu\text{m}$  ،  $L/h = 15$  ۱۳-۴
- ۷۰ ..... ب) دامنه نرمال  $T = 300 \text{ K}$  ،  $L = 70 \mu\text{m}$  ،  $L/h = 15$  ۱۲-۴
- ۷۱ ..... ج) دامنه نرمال  $T = 300 \text{ K}$  ،  $L = 90 \mu\text{m}$  ،  $L/h = 15$  ۱۳-۴
- ۷۱ ..... الف) مشتق دامنه نرمال نسبت به زمان  $T = 300 \text{ K}$  ،  $L = 50 \mu\text{m}$  ،  $L/h = 15$  ۱۴-۴
- ۷۲ ..... ب) مشتق دامنه نرمال نسبت به زمان  $T = 300 \text{ K}$  ،  $L = 70 \mu\text{m}$  ،  $L/h = 15$  ۱۴-۴
- ۷۲ ..... ج) مشتق دامنه نرمال نسبت به زمان  $T = 300 \text{ K}$  ،  $L = 90 \mu\text{m}$  ،  $L/h = 15$  ۱۴-۴
- ۷۳ ..... الف) فرکانس میرا  $T = 300 \text{ K}$  ،  $L = 50 \mu\text{m}$  ،  $L/h = 15$  ۱۵-۴
- ۷۴ ..... ب) فرکانس میرا  $T = 300 \text{ K}$  ،  $L = 70 \mu\text{m}$  ،  $L/h = 15$  ۱۵-۴
- ۷۴ ..... ج) فرکانس میرا  $T = 300 \text{ K}$  ،  $L = 90 \mu\text{m}$  ،  $L/h = 15$  ۱۵-۴
- ۷۵ ..... الف) فرکانس موهومی معادل  $T = 300 \text{ K}$  ،  $L = 50 \mu\text{m}$  ،  $L/h = 15$  ۱۶-۴
- ۷۵ ..... ب) فرکانس موهومی معادل  $T = 300 \text{ K}$  ،  $L = 70 \mu\text{m}$  ،  $L/h = 15$  ۱۶-۴

## ح

کلیه حقوق معنوی این اثر به دانشگاه صنعتی شاهرود تعلق دارد. نقل مطالب با ذکر مرجع بلامانع است

- ۷۶ ..... ج) فرکانس موهومی معادل  $T = 300 \text{ K}$  ،  $L = 90 \mu\text{m}$  ،  $L/h = 15$
- ۷۷ ..... ۱۶-۴ الف) تغییر نرمال فرکانس  $T = 300 \text{ K}$  ،  $L = 50 \mu\text{m}$  ،  $L/h = 15$
- ۷۷ ..... ۱۷-۴ ب) تغییر نرمال فرکانس  $T = 300 \text{ K}$  ،  $L = 70 \mu\text{m}$  ،  $L/h = 15$
- ۷۸ ..... ۱۷-۴ ج) تغییر نرمال فرکانس  $T = 300 \text{ K}$  ،  $L = 90 \mu\text{m}$  ،  $L/h = 15$
- ۷۸ ..... ۱۸-۴ الف) معکوس ضریب کیفیت  $T = 300 \text{ K}$  ،  $L = 50 \mu\text{m}$  ،  $L/h = 15$
- ۷۹ ..... ۱۸-۴ ب) معکوس ضریب کیفیت  $T = 300 \text{ K}$  ،  $L = 70 \mu\text{m}$  ،  $L/h = 15$
- ۷۹ ..... ۱۸-۴ ج) معکوس ضریب کیفیت  $T = 300 \text{ K}$  ،  $L = 90 \mu\text{m}$  ،  $L/h = 15$
- ۸۰ ..... ۱۹-۴ الف) دامنه نرمال  $T = 200 \text{ K}$  ،  $L = 80 \mu\text{m}$  ،  $L/h = 20$
- ۸۱ ..... ۱۹-۴ ب) دامنه نرمال  $T = 300 \text{ K}$  ،  $L = 80 \mu\text{m}$  ،  $L/h = 20$
- ۸۱ ..... ۱۹-۴ ج) دامنه نرمال  $T = 400 \text{ K}$  ،  $L = 80 \mu\text{m}$  ،  $L/h = 20$
- ۸۲ ..... ۲۰-۴ الف) مشتق دامنه نرمال نسبت به زمان  $T = 200 \text{ K}$  ،  $L = 80 \mu\text{m}$  ،  $L/h = 20$
- ۸۲ ..... ۲۰-۴ ب) مشتق دامنه نرمال نسبت به زمان  $T = 300 \text{ K}$  ،  $L = 80 \mu\text{m}$  ،  $L/h = 20$
- ۸۳ ..... ۲۰-۴ ج) مشتق دامنه نرمال نسبت به زمان  $T = 400 \text{ K}$  ،  $L = 80 \mu\text{m}$  ،  $L/h = 20$
- ۸۳ ..... ۲۱-۴ الف) فرکانس میرا  $T = 200 \text{ K}$  ،  $L = 80 \mu\text{m}$  ،  $L/h = 20$
- ۸۴ ..... ۲۱-۴ ب) فرکانس میرا  $T = 300 \text{ K}$  ،  $L = 80 \mu\text{m}$  ،  $L/h = 20$
- ۸۴ ..... ۲۱-۴ ج) فرکانس میرا  $T = 400 \text{ K}$  ،  $L = 80 \mu\text{m}$  ،  $L/h = 20$
- ۸۵ ..... ۲۲-۴ الف) فرکانس موهومی معادل  $T = 200 \text{ K}$  ،  $L = 80 \mu\text{m}$  ،  $L/h = 20$
- ۸۵ ..... ۲۲-۴ ب) فرکانس موهومی معادل  $T = 300 \text{ K}$  ،  $L = 80 \mu\text{m}$  ،  $L/h = 20$
- ۸۶ ..... ۲۲-۴ ج) فرکانس موهومی معادل  $T = 400 \text{ K}$  ،  $L = 80 \mu\text{m}$  ،  $L/h = 20$
- ۸۶ ..... ۲۳-۴ الف) تغییر نرمال فرکانس  $T = 200 \text{ K}$  ،  $L = 80 \mu\text{m}$  ،  $L/h = 20$
- ۸۷ ..... ۲۳-۴ ب) تغییر نرمال فرکانس  $T = 300 \text{ K}$  ،  $L = 80 \mu\text{m}$  ،  $L/h = 20$
- ۸۷ ..... ۲۳-۴ ج) تغییر نرمال فرکانس  $T = 400 \text{ K}$  ،  $L = 80 \mu\text{m}$  ،  $L/h = 20$
- ۸۸ ..... ۲۴-۴ الف) معکوس ضریب کیفیت  $T = 200 \text{ K}$  ،  $L = 80 \mu\text{m}$  ،  $L/h = 20$
- ۸۸ ..... ۲۴-۴ ب) معکوس ضریب کیفیت  $T = 300 \text{ K}$  ،  $L = 80 \mu\text{m}$  ،  $L/h = 20$
- ۸۹ ..... ۲۴-۴ ج) معکوس ضریب کیفیت  $T = 400 \text{ K}$  ،  $L = 80 \mu\text{m}$  ،  $L/h = 20$

## ط

# فصل اول

## مقدمه

## ۱-۱. پیشگفتار

هدف در این پایان نامه بررسی ارتعاشات آزاد تیر میکرو با میرایی ترمولاستیک است که به دلیل جابجایی عرضی بزرگ ، رفتار غیر خطی دارد. در فصل اول پس از معرفی بعضی کاربردهای سیستم میکرو الکترو مکانیکی ، تاریخچه‌ی پژوهش‌های مهم و کلیدی انجام شده در این زمینه ارائه شده است.

در فصل دوم پس از بررسی هندسه تیر و استخراج رابطه‌ی کرنش - جابجایی ، به حل معادله انتقال حرارت پرداخته و ارتباط گرadiان دما با جابجایی و نحوه‌ی اثر گذاری میرایی ترمولاستیک بر سیستم بررسی شده و سپس معادله ارتعاش غیر خطی تیر اوبلر - برنولی با میرایی ترمولاستیک به کمک اصل تعییم یافته هامیلتون استخراج شده است.

در فصل سوم پس از معرفی تعریف مود‌های طبیعی غیر خطی در خمینه‌ی ناوردای فضای فاز سیستم و نحوه‌ی بررسی آن‌ها ، شکل مود‌های غیر خطی برای سیستم مورد بحث تا درجه‌ی سوم محاسبه و تفاوت آن‌ها با شکل مود خطی برای دامنه‌های متفاوت بررسی شده است. سپس به کمک توابع مود غیر خطی ، معادله‌ی دینامیک مود یا سیستم یک درجه آزادی معادل بدست آمده است.

در فصل چهارم در ابتدا به معرفی اجمالی بالانس هارمونیکی به عنوان یکی از روش‌های متدال جهت بررسی ارتعاشات غیر خطی پرداخته ، سپس با معرفی تبدیل انتگرالی هیلبرت و خواص آن ، نحوه‌ی محاسبه‌ی سیگنال تحلیلی به کمک تبدیل هیلبرت شرح داده شده است. پس از بررسی مفهومی پارامترهای سیگنال تحلیلی هم چون فرکانس لحظه‌ای و دامنه لحظه‌ای ، روشهای جهت کوتاه نمودن روند حل عددی و بالا بردن دقت دامنه و فرکانس بدست آمده از آن ارائه شده است. در آخر پاسخ‌های بدست آمده از دو روش فوق برای ارتعاش گذرای تیر میکرو با یکدیگر در شرایط متفاوت از نظر ابعاد و دما برای دو حالت میرایی خطی و غیر خطی مقایسه شده و دلیل اختلاف بین پاسخ این دو روش شرح داده شده است.

در فصل پنجم خلاصه‌ی نتایج و چند پیشنهاد برای پژوهش‌های آینده ارائه شده است.

## ۲-۱. سیستم‌های میکرو الکترو مکانیکی<sup>۱</sup>

سیستم‌های الکترو مکانیکی در ابعاد میکرون ، در حوزه‌های متفاوت صنعتی و زندگی روزمره حضور دارند. روند ساخت و توسعه‌ی این سیستم‌ها از سال ۱۹۵۸ میلادی با اختراع آی سی شروع شد و پس از آن با پیشرفت تکنولوژی میکرو الکتریک و تولید انبوه در ابعاد کوچک ، استفاده از آن‌ها بسیار گسترش یافت. از جمله این سیستم‌ها می‌توان به موارد زیر اشاره نمود.

<sup>۱</sup> Micro Electro Mechanical System (MEMS)

## ۱- سنسور فشار

معمولًا این سنسور ها تشکیل شده از یک دیافراگم سیلیکونی بوده که مواد با خاصیت پیزو مقاومتی<sup>۱</sup> در دهانه‌ی آن کار گذاشته شده است. در صورت وجود اختلاف فشار بین دو طرف، دیافراگم تغییر شکل داده که منجر به تغییر مقاومت الکتریکی پیزو می‌گردد. این تغییر مقاومت توسط چیپ الکترونیکی دستگاه قابل اندازه‌گیری بوده و با استفاده از آن سیگنال خروجی سنسور ساخته می‌شود.

## ۲- سنسور اینرسی

این سنسور ها به دو دسته‌ی شتاب سنج و ژیروسکوپ تقسیم بندی شده که به ترتیب تغییرات سرعت خطی و سرعت زاویه‌ای را شناسایی می‌کنند. جابجایی قسمت الاستیک آنها توسط پیزو اندازه‌گیری شده و ابعاد کوچک آنها، امکان استفاده در اکثر سیستم‌ها را فراهم می‌کند.

## ۳- سوییچ‌های RF

این سوییچ‌ها برای سالیان زیادی تحت بررسی و توسعه بوده اند. ولی بنا به دلایلی همچون رسیدن به بازدهی مناسب، تولید انبوه و قابلیت اطمینان، به تازگی وارد بازار تجاری شده اند. سوییچ‌های RF در سیستم‌هایی که ابعاد کوچک و توان مصرفی کم برای آن‌ها حائز اهمیت است، نسبت به دیگر سوییچ‌ها الکترونیکی برتری دارند و امروزه در بسیاری از بخش‌های رایانه، سیستم‌های مخابراتی و سیستم‌های امنیتی استفاده می‌شوند.

از دیگر سیستم‌های میکرو الکترو مکانیکی می‌توان به میکرو آینه‌ها، سیستم‌های مهندسی پزشکی، ابزار آزمایشگاهی بیو شیمی و میکرو ماہواره‌ها اشاره نمود.

## ۱-۳. تاریخچه

### ۱-۱. میرایی ترموالاستیک

یکی از عوامل موثر در بررسی سیستم‌های میکرو، انرژی اتلافی آن در ارتعاش است. ضریب کیفیت بزرگ منجر به پایداری فرکانسی و عملکرد بهتر خواهد بود [۱،۲]. انواع مختلف میرایی همچون میرایی آبرودینامیکی، میرایی تکیه گاهی و میرایی داخلی وجود دارد. اما مکانیزم میرایی غالب در سیستم‌های میکرو مکانیکی که در خلاء نسبی کار می‌کنند، میرایی ترموالاستیک است [۳]. این میرایی در واقع کوپلینگ بین میدان‌های مکانیکی و حرارتی است. میرایی ترموالاستیک در سیستم‌های ارتعاشی با بار خمی بوجود می‌آید. در خمی، یک سمت تحت کشش بوده و سرد شده در حالی که سمت دیگر تحت فشار بوده و گرم می‌شود. این اختلاف دما منجر به ایجاد گرادیان دما و در نهایت باعث تولید حرارت برگشت ناپذیر شده که انتروپی سیستم را افزایش داده و سبب از دست رفتن انرژی می‌گردد. مبدأ شناسایی میرایی

<sup>۱</sup> Piezoresistive effect

ترموالاستیک ، کار های آزمایشگاهی بنویتز<sup>۱</sup> در سال ۱۹۲۴ است [۴]. برای اولین بار زنر<sup>۲</sup> در سال ۱۹۳۷ این مکانیزم میرایی را در رزوناتور های خمشی بررسی نمود و رابطه ای تقریبی برای آن ارائه داد [۵,۶]. بری<sup>۳</sup> به صورت آزمایشگاهی میرایی ترمومالاستیک را به صورت تابعی از فرکانس محاسبه نمود که نتایج او تئوری زنر را تایید می کرد [۷]. لاندو و لیفسنیتز<sup>۴</sup> معادله ای دقیق میرایی ترمومالاستیک را برای تیر میکرو ارائه کرده در حالی که پاسخ قابل قبول برای معادله ای مذکور وجود نداشت [۸]. روزهارت<sup>۵</sup> اثر میرایی ترمومالاستیک را در تک کریستال سیلیکون به صورت آزمایشگاهی بدست آورد [۳]. لیفسنیتز و روکس<sup>۶</sup> میرایی ترمومالاستیک را به صورت تحلیلی بررسی کرده و رابطه ای ضریب کیفیت را برای تیر با سطح مقطع مربعی بدست آوردهند [۹]. نایفه و یونیس<sup>۷</sup> با استفاده از تکنیک اغتشاشات ، رابطه ای برای ضریب کیفیت در ورق میکرو ارائه کردهند [۱۰]. سیلور و پترسون<sup>۸</sup> [۱۱] با روش المان محدود و سان<sup>۹</sup> [۱۲] با استفاده از تبدیل فوریه سینوسی محدود ، اثر میرایی ترمومالاستیک را محاسبه کردند. یی<sup>۱۰</sup> اثر شکل هندسی را بر روی میرایی ترمومالاستیک بررسی نمود [۱۳].

## ۱-۳-۲. مود غیر خطی

مود طبیعی یک مفهوم کاملاً شناخته شده در سیستم های ارتعاشی است که معمولاً با کمک معادله دیفرانسیل خطی با ضرایب ثابت که حاصل خطی سازی معادله حرکت حول نقطه ای تعادل سیستم است ، تعریف می شوند. مود های طبیعی بیان گر گونه ای خاصی از حرکت بوده که در آن سیستم همانند سیستمی با مرتبه ای پایین تر رفتار می کند. در سیستم های خطی پایستار و غیر ژیروسکوپیک ، شکل مود به صورت تابع ویژه و فرکانس طبیعی همان مقدار ویژه متناظر است. مود طبیعی برای سیستم های میرا و ژیروسکوپیک نیز وجود دارد ، ولی بررسی به سادگی حالت قبل نیست. زیرا در این شرایط مود های طبیعی به صورت موج در حال حرکت خواهد بود. دینامیک هر مود برای اکثر سیستم های خطی با یک سیستم معادل یک یا چند درجه آزادی قابل توصیف است.

مود غیر خطی اولین بار در دهه ۱۹۶۰ میلادی توسط روزنبرگ<sup>۱۱</sup> تحت عنوان ارتعاش متعدد تعریف شد [۱۶-۱۴] و کار بر روی آن در دهه ۱۹۷۰ [۱۷-۱۹] توسط رند<sup>۱۲</sup> و مانویچ و میکلین<sup>۱۳</sup> [۲۰] ادامه

<sup>۱</sup> K. Bennewitz

<sup>۲</sup> C. Zenner

<sup>۳</sup> B.S. Berry

<sup>۴</sup> L.D. Landau, E.M. Lifshitz

<sup>۵</sup> R.V. Roszhardt

<sup>۶</sup> R. Lifshitz, M. Roukes

<sup>۷</sup> A.H. Nayfeh, M.I. Younis

<sup>۸</sup> M.J. Silver, L.D. Peterson

<sup>۹</sup> Y. Sun

<sup>۱۰</sup> Y.B. Yi

<sup>۱۱</sup> R.M. Rosenberg

<sup>۱۲</sup> R. Rand

<sup>۱۳</sup> L.I. Manevitch, Y.V. Mikhlin

یافت. واکاکیس<sup>۱</sup> تعریف و روش جدیدی جهت محاسبه مود های غیر خطی بر مبنای انرژی سیستم ارائه داد [۲۶-۲۱] و شاو و پیر<sup>۲</sup> مود غیر خطی را به صورت حرکتی در خمینه ای ناوردای سیستم تعریف و بررسی نمودند [۳۰-۲۷]. تعریف انرژی واکاکیس و روش ارائه شده توسط شاو و پیر ، دو دیدگاه متفاوت از مود غیر خطی بوده که به جواب های مشابه منتهی می شوند. از این مرحله به بعد ، تحلیلی غیر خطی را مodal به سطح قابل اجرا رسید و پژوهشگران به کمک این دو روش ، سیستم های متفاوت غیر خطی را بررسی نمودند. ولی از آن جایی که تعریف واکاکیس از مود غیر خطی بر مبنای انرژی سیستم است ، نمی توان از آن برای بررسی سیستم های میرا استفاده نمود و از این جهت بیان مود غیر خطی به صورت حرکت در خمینه ای ناوردای سیستم به آن ارجاعیت دارد. بویوین<sup>۳</sup> ، پیر و شاو نحوه ای آنالیز مodal غیر خطی برای سیستم هایی با رزونانس داخلی را ارائه کردند [۳۱،۳۲]. پشک<sup>۴</sup> ، پیر و شاو با استفاده از روش گلرکین محاسبه ای مود غیر خطی را ساده تر کرده [۳۳] و جیانگ<sup>۵</sup> ، پیر و شاو پژوهش در زمینه ای مود های غیر خطی را ادامه دادند [۳۶-۳۴]. در حال حاضر آنالیز مodal غیر خطی به عنوان یک ابزار قدرتمند و با ارزش در بررسی ارتعاشات غیر خطی شناخته شده است.

### ۱-۳-۳. تبدیل هیلبرت

تبدیل هیلبرت در سال ۱۹۵۳ توسط دیوید هیلبرت<sup>۶</sup> تعریف شد [۳۷]. این تبدیل ، آرگومان بخش های نوسانی هر تابع را به اندازه  $\pi/2$  تغییر داده و دامنه ای آن ها را بدون تغییر باقی می گذارد. در سال ۱۹۶۲ بدروسین<sup>۷</sup> قضیه معروف خود را در زمینه ای تبدیل هیلبرت ارائه داد [۳۸] و از آن پس استفاده از تبدیل هیلبرت در حوزه های پردازش سیگنال و مخابرات رشد چشم گیری یافت. در دهه ای ۱۹۹۰ میلادی روش بسیار جالبی در زمینه شناسایی سیستم های ارتعاشی یک درجه آزادی [۳۹،۴۰] و دو درجه آزادی [۴۱] با کمک تبدیل هیلبرت توسط فلدمان<sup>۸</sup> ارائه شد و از آن پس استفاده از تبدیلات انتگرالی در شناسایی سیستم ها گسترش یافت. از دیگر پژوهش های فلدمان در این زمینه می توان به [۴۵-۴۲] اشاره نمود. به دلیل محدودیت های تبدیل هیلبرت در تحلیل سیگنال های چند فرکانسی ، هانگ<sup>۹</sup> در سال ۱۹۹۸ تبدیل هیلبرت - هانگ را ارائه کرد [۴۶]. در شناسایی سیستم ها با داشتن پاسخ ارتعاشی ، پارامتر های سیستم محاسبه می شوند. روند بررسی در این پایان نامه ، معکوس شیوه ای فوق است. با داشتن پارامتر های سیستم که به صورت تحلیلی بدست آمده اند ، پاسخ سیستم محاسبه خواهد شد و از تبدیل هیلبرت جهت سبک نمودن حل عددی و دقیق تر کردن آن استفاده شده است.

<sup>1</sup> A.F. Vakakis

<sup>2</sup> S.W. Shaw, C. Pierre

<sup>3</sup> N. Boivin

<sup>4</sup> E. Pesheck

<sup>5</sup> D. Jiang

<sup>6</sup> D. Hilbert

<sup>7</sup> E. Bedrosian

<sup>8</sup> M. Feldman

<sup>9</sup> N.E. Huang

## فصل دوم

استخراج معادله حرکت

## ۱-۲. کلیات

در این فصل ابتدا هندسه‌ی تیر با حرکت صفحه‌ای مورد بررسی قرار گرفته است. پس از بررسی روابط کرنش - جابجایی و حل معادله‌ی انتقال حرارت، مدل اویلر - برنولی با جابجایی عرضی بزرگ برای تیر میکرو با استفاده از اصل تعمیم یافته‌ی هامیلتون استخراج شده است. پس از بحث در مورد نحوه‌ی اثر گذاری میرایی، معادله حرکت و شرایط مرزی محاسبه شده اند.

## ۲-۲. هندسه تیر صفحه‌ای

در مدل ارتعاشی تیر اویلر - برنولی که به دلیل دامنه‌ی زیاد رفتار غیر خطی دارد، کرنش عمودی ایجاد شده را می‌توان مشابه (۱-۲) در نظر گرفت. تیر مورد نظر به طول  $L$  بوده که  $x$  راستای طولی و  $z$  در جهت ارتفاع سطح مقطع آن است.

$$\varepsilon = \varepsilon_{ben} + \varepsilon_{ext} \quad (1-2)$$

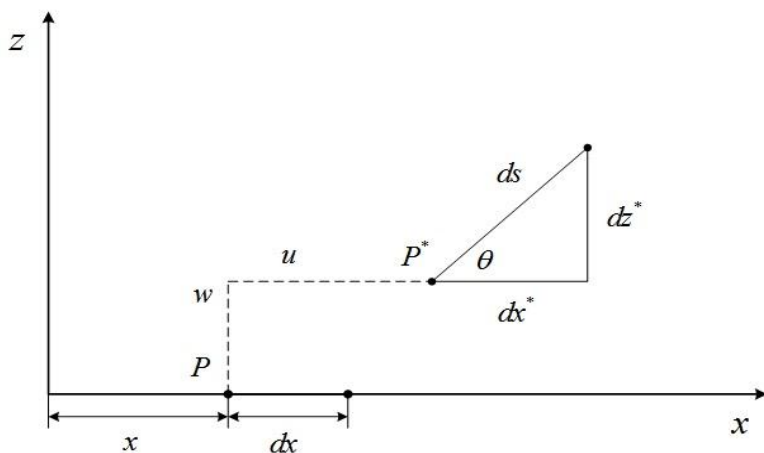
$$\varepsilon_{ben} = -z\kappa \quad (2-2)$$

$\varepsilon$  و  $\varepsilon_{ext}$  به ترتیب کرنش ناشی از خمش و کرنش تار خنثی به دلیل کشش ایجاد شده هستند. کرنش ناشی از خمش تیر به صورت (۲-۲) بوده که در آن  $\kappa$  انحنای تار خنثی است. جهت محاسبه‌ی  $\kappa$  و  $\varepsilon_{ext}$  مطابق شکل (۱-۲) دو نقطه  $P(x, z)$  و  $P^*(x^*, z^*)$  را در نظر گرفته می‌شود.

$$x^* = x + u \quad (3-2)$$

$$z^* = w$$

$$ds = \sqrt{dx^{*2} + dz^{*2}} \quad (4-2)$$



۱-۲

که  $ds$  طول المان تغییر شکل یافته است. (۵-۲) از دیفرانسیل گیری از رابطه ۳-۲ نسبت به  $x$  بدست می‌آید.

$$\begin{aligned} dx^* &= \left(1 + u_{,x}\right) dx \\ dz^* &= w_{,x} dx \end{aligned} \quad (5-2)$$

بنابر این (۴-۲) را می‌توان به صورت (۶-۲) بازنویسی کرد. روابط (۷-۲) و (۸-۲) به ترتیب تغییر طول و زاویه چرخش المان را نشان می‌دهد.

$$ds = \sqrt{\left(1 + u_{,x}\right)^2 + w_{,x}^2} dx \quad (6-2)$$

$$e = ds - dx = \sqrt{\left(1 + u_{,x}\right)^2 + w_{,x}^2} - 1 dx \quad (7-2)$$

$$\begin{aligned} \sin \theta &= \frac{dz^*}{ds} = \frac{w_{,x}}{\lambda} \\ \cos \theta &= \frac{dx^*}{ds} = \frac{1 + u_{,x}}{\lambda} \\ \theta &= \tan^{-1} \left( \frac{w_{,x}}{1 + u_{,x}} \right) \end{aligned} \quad (8-2)$$

$$\lambda = \frac{ds}{dx} = \sqrt{\left(1 + u_{,x}\right)^2 + w_{,x}^2} \quad (9-2)$$

$$\frac{d\theta}{dx} = \frac{(1 + u_{,x}) w_{,xx} - u_{,xx} w_{,x}}{\lambda^2} \quad (10-2)$$

$\varepsilon_{ext}$  و انحنای تار خنثی به صورت (۱۱-۲) است که با قرار دادن روابط (۹-۲) و (۱۰-۲) در (۱۱-۲)، به صورت نهایی (۱۲-۲) بدست می‌آید.

$$\kappa = \frac{d\theta}{ds} = \frac{d\theta}{dx} \frac{dx}{ds} \quad (11-2)$$

$$\kappa = \frac{(1 + u_{,x}) w_{,xx} - u_{,xx} w_{,x}}{\left[1 + 2u_{,x} + u_{,x}^2 + w_{,x}^2\right]^{3/2}} \quad (12-2)$$

معادلات (۱۳-۲) و (۱۴-۲) به ترتیب بسط تیلور روابط (۷-۲) و (۱۲-۲) هستند.

$$e = \left\{ \frac{1}{2} \left[ 2u_{,x} + u_{,x}^2 + w_{,x}^2 \right] - \frac{1}{8} \left[ 2u_{,x} + u_{,x}^2 + w_{,x}^2 \right]^2 + \dots \right\} dx \quad (13-2)$$

۸

$$K = w_{,xx} - u_{,xx}w_{,x} - 2u_{,x}w_{,xx} + \dots \quad (14-2)$$

از این مرحله به بعد ، با در نظر گرفتن مرتبه  $u$  بسط تیلور و اعمال ساده سازی هاست که روابط کرنش جابجایی و به تبع از آن معادله حرکت غیر خطی مدل های مختلف تیر حاصل می گردد.

از تغییرات  $u$  نسبت به  $x$  صرفنظر شده است. این فرض زمانی صحیح است که نیروهای محوری وارد بر تیر همچون نیروهای تکیه گاهی و اینرسی قابل صرفنظر باشند [۴۷]. با در نظر گرفتن تقریب های (۱۵-۲) و (۱۶-۲) برای (۱۳-۲) و (۱۴-۲) رابطه  $u$  کرنش جابجایی به صورت معادله (۱۷-۲) بدست خواهد آمد.

$$e = \left( \frac{1}{2} w_{,x}^2 \right) dx \quad (15-2)$$

$$K = w_{,xx} \quad (16-2)$$

$$\varepsilon_{xx} = \frac{1}{2} w_{,x}^2 - z w_{,xx} \quad (17-2)$$

برای تنش ها ،  $\varepsilon_{yy}$  و  $\varepsilon_{zz}$  می توان نوشت :

$$\begin{aligned} \sigma_{xx} &= E\varepsilon_{xx} - E\alpha\theta \\ \sigma_{yy} &= \sigma_{zz} = \tau_{yz} = 0 \end{aligned} \quad (18-2)$$

$$\begin{cases} \sigma_{yy} = E\varepsilon_{yy} + \nu(\sigma_{xx} + \sigma_{zz}^0) - E\alpha\theta = 0 \\ \sigma_{zz} = E\varepsilon_{zz} + \nu(\sigma_{xx} + \sigma_{yy}^0) - E\alpha\theta = 0 \end{cases} \quad (19-2)$$

$$\Rightarrow \varepsilon_{yy} = \varepsilon_{zz} = (1+\nu)\alpha\theta - \nu\varepsilon_{xx} \quad (20-2)$$

$$T = \frac{1}{2} \int_0^L \rho A w_{,x}^2 dx \quad (21-2)$$

$$V = \frac{1}{2} \int_0^L \int_A \sigma_{xx} \varepsilon_{xx} dA dx$$

$$\sigma_{xx} \varepsilon_{xx} = E\varepsilon_{xx}^2 - E\alpha\theta\varepsilon_{xx} \quad (22-2)$$

(۲۱-۲) انرژی جنبشی و پتانسیل سیستم را نشان می دهد. به دلیل آن که از اثر  $u$  در کرنش و انرژی پتانسیل صرفنظر شده ، جمله  $\frac{1}{2} \int_0^L \rho A u_{,x}^2 dx$  در رابطه انرژی جنبشی محاسبه نشده است. می توان به راحتی نشان داد ، در صورتی که از  $u$  صرفنظر شود ، فرکانس طبیعی نوسان در راستای طولی تیر ( $u$ )

همان بخش غیر خطی فرکانس طبیعی ارتعاشات عرضی خواهد بود. جهت ادامه می محاسبات انتگرال های فوق ابتدا می باشد  $\theta$  نسبت به  $w$  محاسبه شود که این محاسبات در بخش بعدی شرح داده شده است.

### ۳-۲. تحلیل انتقال حرارت

در این بخش اثر کرنش بر تغییرات دما محاسبه می گردد. پس از جایگذاری تغییرات دما در (۲۲-۲)، می توان معادله حرکت تیر اویلر برنولی با جابجایی عرضی بزرگ و میرایی ترمومالاستیک را بدست آورد. معادله انتقال حرارت در حالت کلی همانند (۲۳-۲) است [۴۸]. که در آن  $k$  ضریب هدایت حرارتی،  $c_v$  ظرفیت گرمایی ویژه در حجم ثابت،  $\tau_0$  ثابت زمانی و  $\beta = \frac{E\alpha}{1-2\nu}$  مدول حرارتی است.  $T_0$  دمای مرجع سیستم و  $\theta$  تغییرات دماس است. در صورتی که  $\tau_0 = 0$  باشد، سرعت توزیع امواج حرارتی<sup>۱</sup> بی نهایت خواهد بود. به عبارت دیگر تغییرات دما بلا فاصله پس از تغییرات کرنش ایجاد می گردد و تغییرات دما و کرنش هم فاز خواهند بود. در صورتی که  $\tau_0 \neq 0$  باشد، تغییرات دما از نظر زمانی اندکی پس از ایجاد کرنش خواهد بود. در عمل  $\tau_0$  بسیار کوچک بوده و فقط در زمانی که فرکانس نوسانات خیلی بالا باشد، اثر قابل ملاحظه خواهد گذاشت و در اکثر مسائل می توان از حضور آن صرفنظر کرد.

$$k \theta_{,ii} = \rho c_v (\dot{\theta} + \tau_0 \ddot{\theta}) + \beta T_0 (\dot{\varepsilon}_{kk} + \tau_0 \ddot{\varepsilon}_{kk}) \quad (23-2)$$

$$\varepsilon_{kk} = \varepsilon_{xx} + \varepsilon_{yy} + \varepsilon_{zz} = (1 - 2\nu) \varepsilon_{xx} + 2(1 + \nu) \alpha \theta \quad (24-2)$$

اگر  $\Delta E = \frac{E\alpha^2 T_0}{\rho c_v}$  بوده و از انتقال حرارت در راستای طولی تیر در برابر انتقال حرارت عرضی صرفنظر کنیم  $\theta_{,xx} << \theta_{,zz}$ ، آن گاه می توان معادله ای انتقال حرارت را به صورت (۲۵-۲) نوشت.

$$\left[ 1 + 2\Delta E \left( \frac{1 + \nu}{1 - 2\nu} \right) \right] \frac{\partial \theta}{\partial t} = \frac{k}{\rho c_v} \frac{\partial^2 \theta}{\partial z^2} - \frac{\Delta E}{\alpha} \frac{\partial}{\partial t} (\varepsilon_{xx}) \quad (25-2)$$

$\varepsilon_{kk}$  به صورت (۲۴-۲) است. اگر از اثر جملات فوق هارمونیک بر میرایی صرفنظر کنیم، آنگاه می توان  $w(x,t)$  را مشابه (۲۷-۲) به صورت تک فرکانسی در نظر گرفت. در فصل چهارم نشان داده خواهد شد که به ازای بعضی شرایط، در فرض جابجایی عرضی به صورت (۲۷-۲) هیچ تقریبی وجود نداشته و نیازی به لحاظ کردن فرکانس های دیگر در پاسخ نیست. بررسی انجام شده در این قسمت مشابه [۹] بوده، با این تفاوت که کرنش تیر به صورت غیر خطی است. از آن جایی که  $\varepsilon_{xx}$  جمع دو جمله ای مجزاست، جهت حل (۲۵-۲)،  $\theta(x,z,t)$  را به صورت (۲۷-۲) فرض کرده که در آن  $\Omega$  همان فرکانس طبیعی مختلط است.

<sup>1</sup> Thermal Wave Propagation

$$\varepsilon_{xx} = -z w_{,xx} + \frac{1}{2} w_{,x}^2 \quad (26-2)$$

$$w(x,t) = w_0(x)e^{i\Omega t} \quad (27-2)$$

$$\theta(x,z,t) = \theta_{01}(x,z)e^{i\Omega t} + \theta_{02}(x)e^{2i\Omega t} \quad (28-2)$$

$$X = \left[ 1 + 2\Delta E \left( \frac{1+\nu}{1-2\nu} \right) \right] \quad (28-2)$$

با قرار دادن (26-2) و (27-2) در (28-2) معادله (29-2) بددست می آید.

$$X \left( i \Omega \theta_{01} e^{i\Omega t} + 2i \Omega \theta_{02} e^{2i\Omega t} \right) = \frac{k}{\rho c_v} \frac{\partial^2 \theta_{01}}{\partial z^2} e^{i\Omega t} + \frac{\Delta E}{\alpha} i \Omega \left[ z w_0'' e^{i\Omega t} - w_0'^2 e^{2i\Omega t} \right] \quad (29-2)$$

$$\Rightarrow \begin{cases} \frac{\partial^2}{\partial z^2} \theta_{01} + (i \Omega) \frac{X \rho c_v}{k} \left[ \frac{\Delta E}{X \alpha} z w_0'' - \theta_{01} \right] = 0 \\ \theta_{02} = -\frac{\Delta E}{X \alpha} \frac{1}{2} w_0'^2 \end{cases} \quad (30-2)$$

$\Omega = \omega + i\alpha$  فرکانس طبیعی مختلط سیستم بوده که بخش حقیقی آن فرکانس نوسان و بخش موهومی آن میرایی سیستم را نشان می دهد. با استفاده از تغییر متغیر (31-2)، معادله ی اول (30-2) به صورت (32-2) تبدیل خواهد شد.

$$F(x,z) = \frac{\Delta E}{X \alpha} z w_0'' - \theta_{01} \quad (31-2)$$

$$\frac{\partial^2 F}{\partial z^2} - (i \Omega) \frac{X \rho c_v}{k} F = 0 \quad (32-2)$$

(33-2) از اعمال تفکیک متغیرها به صورت  $F(x,z) = Q(x)P(z)$  در (32-2) بددست می آید. سپس با جایگذاری (34-2) و  $\theta_{01}$  در (31-2)،  $Q(x) = w_0''(x)$  به صورت (36-2) بددست می آید.

$$P'' - (i \Omega) \frac{X \rho c_v}{k} P = 0 \quad (33-2)$$

$$P = A \sin(\eta z) + B \cos(\eta z) \quad (34-2)$$

$$\eta = (i-1) \sqrt{\frac{\Omega X \rho c_v}{2k}} \quad (35-2)$$

$$\theta_{01} = \left( \frac{\Delta E}{X\alpha} z - P(z) \right) w_0'' \quad (36-2)$$

انتقال حرارت در راستای ارتفاع سطح مقطع بر روی سطوح فوقانی و زیرین تیر صفر است. ثابت های  $A$  و  $B$  در  $P(z)$  با اعمال شرط مرزی (37-2) قابل محاسبه هستند.

$$\frac{\partial \theta_{01}}{\partial z} \Big|_{z=-h/2} = \frac{\partial \theta_{01}}{\partial z} \Big|_{z=+h/2} = 0 \quad (37-2)$$

$$\frac{\partial \theta_{01}}{\partial z} \Big|_{z=-h/2} = \frac{\partial \theta_{01}}{\partial z} \Big|_{z=+h/2} \Rightarrow 2B\eta \sin(\eta h/2) = 0 \Rightarrow B = 0 \quad (38-2)$$

$$\frac{\partial \theta_{01}}{\partial z} \Big|_{z=+h/2} = 0 \Rightarrow A = \frac{\Delta E}{X\alpha\eta \cos(\eta h/2)}$$

$$\theta_{01}(x, z) = \frac{\Delta E}{X\alpha} w_0''(x) \left[ z - \frac{\sin(\eta z)}{\eta \cos(\eta h/2)} \right] \quad (39-2)$$

حل نهایی معادله انتقال حرارت به صورت (40-2) است که  $\theta(x, z, t)$  را بر حسب  $w(x, t)$  و  $z$  نشان می دهد. با استفاده از (40-2) می توان انتگرال روی سطح مقطع در (21-2) را مطابق (41-2) محاسبه کرد.

$$\theta(x, z, t) = \frac{\Delta E}{X\alpha} \left[ z - \frac{\sin(\eta z)}{\eta \cos(\eta h/2)} \right] w_{,xx}(x, t) - \frac{1}{2} \frac{\Delta E}{X\alpha} w_{,x}^2(x, t) \quad (40-2)$$

$$\begin{aligned} \int_A \sigma_{xx} \varepsilon_{xx} dA &= E w_{,xx}^2 \int_A z^2 dA + Eb w_{,xx}^2 \int_{-h/2}^{h/2} \left[ \frac{\Delta E}{X} \left( z - \frac{\sin(\eta z)}{\eta \cos(\eta h/2)} \right) \right] zdz \\ &\quad - E w_{,xx} w_{,x}^2 \int_A z dA - E \frac{b}{2} w_{,xx} w_{,x}^2 \int_{-h/2}^{h/2} \left[ \frac{\Delta E}{X} \left( z - \frac{\sin(\eta z)}{\eta \cos(\eta h/2)} \right) \right] dz \\ &\quad - \frac{1}{2} \frac{\Delta E}{X} E w_{,xx} w_{,x}^2 \int_A z dA + \frac{1}{4} E w_{,x}^4 \int_A dA + \frac{1}{4} E \frac{\Delta E}{X} w_{,x}^4 \int_A dA \end{aligned}$$

$$\begin{aligned} \int_A \sigma_{xx} \varepsilon_{xx} dA &= EI w_{,xx}^2 + \frac{1}{4} EA w_{,x}^4 + EI \frac{\Delta E}{X} (q(\eta) + 1) w_{,xx}^2 + \frac{1}{4} EA \frac{\Delta E}{X} w_{,x}^4 \\ \int_A \sigma_{xx} \varepsilon_{xx} dA &= E_\eta I w_{,xx}^2 + \frac{1}{4} E_T A w_{,x}^4 \quad (41-2) \end{aligned}$$

و  $E_T$  و  $E_\eta$  مطابق (۴۳-۲) بوده که در آن  $\Delta E = \frac{E\alpha^2 T_0}{\rho c_v}$  است.  $X$  و  $q(\eta)$  به ترتیب در روابط (۲۸-۲) و (۴۲-۲) ارائه شده اند.

$$q(\eta) = \frac{24}{\eta^3 h^3} \left( \frac{\eta h}{2} - \tan\left(\frac{\eta h}{2}\right) \right) \quad (42-2)$$

$$E_\eta = E \left[ 1 + \frac{\Delta E}{X} (q(\eta) + 1) \right] \quad (43-2)$$

$$E_T = E \left( 1 + \frac{\Delta E}{X} \right)$$

جهت صرفنظر از مرتبه  $\Delta E^2$  ، کافی است در روابط (۴۳-۲) ،  $X$  را برابر با یک قرار داده شود. با جایگذاری بسط تیلور  $\tan(x) = x + \frac{1}{3}x^3 + \dots$  در معادله (۴۲-۲) ، مشاهده می شود که اگر  $\Omega$  مقدار کوچکی باشد ،  $E_\eta = E_{Isothermal} = E$  بوده و در صورتی که  $\Omega$  مقدار بزرگی باشد ،  $q(\eta) \rightarrow -1$  و در نتیجه  $E_\eta = E_{Adiabatic} = E \left( 1 + \frac{\Delta E}{X} \right)$  خواهد بود. برای فرکانس های مابین ،  $E_\eta \rightarrow 0$  و در نتیجه  $E_\eta = E_{Adiabatic} = E \left( 1 + \frac{\Delta E}{X} \right)$  مختلط بوده که سبب مختلط شدن  $\Omega$  شده و میرایی ترموالاستیک به صورت سختی موهومی وارد معادله حرکت سیستم می گردد.

با توصیف بالا ، دلیل عدم حضور میرایی ترموالاستیک در سیستم هایی با ابعاد بزرگ ، کاملا مشخص است. در آن گونه سیستم ها به دلیل کوچک بودن فرکانس طبیعی ،  $E_\eta$  یا کاملا حقیقی است و یا بخش موهومی آن بسیار ناچیز است. از طرف دیگر ، از آن جایی که از انتقال حرارت در راستای طولی تیر صرفنظر شده است ، مشاهده می شود در تنفس ناشی از کشش طولی المان دیفرانسیلی ، مدول یانگ یا  $E_T$  به صورت ظاهر شده است.

#### ۴-۲. معادله حرکت و شرایط مرزی

با استفاده از نتایج (۴۳-۲) ، انرژی پتانسیل سیستم با اثر تغییرات دما به صورت (۴۴-۲) قابل محاسبه است.

$$V = \frac{1}{2} \int_0^L \left( E_\eta I w_{,xx}^2 + \frac{1}{4} E_T A w_{,x}^4 \right) dx \quad (44-2)$$

معادله حرکت و شرایط مرزی به ترتیب در (۴۵-۲) و (۴۶-۲) با استفاده از اصل تعمیم یافته هامیلتون محاسبه شده اند.

$$\begin{aligned}
& \int_{t_1}^{t_2} \delta(T - V) dt = 0 \Rightarrow \\
& \Rightarrow \int_{t_1}^{t_2} \int_0^L \left( \rho A w_{,t} \delta w_{,t} - E_\eta I w_{,xx} \delta w_{,xx} - \frac{1}{2} E_T A w_{,x}^3 \delta w_{,x}^3 \right) dx dt = 0 \\
& \Rightarrow \int_{t_1}^{t_2} \left( E_\eta I w_{,xxx} - \frac{E_T A}{2} w_{,x}^3 \right) \delta w \Big|_0^L - \int_{t_1}^{t_2} \left( E_\eta I w_{,xx} \right) \delta w_{,x} \Big|_0^L \\
& + \int_{t_1}^{t_2} \int_0^L \left( -\rho A w_{,tt} - E_\eta I w_{,xxxx} + \frac{3E_T A}{2} w_{,x}^2 w_{,xx} \right) \delta w dx dt = 0 \\
& \rho A w_{,tt} + E_\eta I w_{,xxxx} - \frac{3}{2} E_T A w_{,x}^2 w_{,xx} = 0 \quad (45-2) \\
w = 0 & \quad \text{یا} \quad E_\eta I w_{,xxx} - \frac{1}{2} E_T A w_{,x}^3 = 0 \quad (46-2) \\
w_{,x} = 0 & \quad \text{یا} \quad E_\eta I w_{,xx} = 0
\end{aligned}$$

میرایی ترمو الاستیک به صورت مختلط شدن مدول یانگ ( $E_\eta$ ) در معادله حرکت ظاهر شده است.  
شرایط مرزی در دو طرف تیر تکیه گاه ساده بوده ، بنابر این

$$\begin{aligned}
w(0, t) &= w(L, t) = 0 \quad (47-2) \\
w_{,xx}(0, t) &= w_{,xx}(L, t) = 0
\end{aligned}$$

در فصل سوم معادله حرکت (45-2) با شرایط مرزی (47-2) به کمک آنالیز مودال غیر خطی در ارتعاش گذراي تک مودی بررسی خواهد شد.

## فصل سوم

آنالیز مودال غیر خطی

### ۱-۳. مود طبیعی غیر خطی<sup>۱</sup>

مود طبیعی برای یک سیستم پیوسته یک بعدی ، حرکتی است که در یک خمینه‌ی ناوردای<sup>۲</sup> دو بعدی (رویه) در فضای فاز سیستم صورت گیرد. به گونه‌ای که هر حرکتی در این رویه شروع شود ، در همان باقی بماند. این خمینه در نقطه‌ی تعادل بر فضای ویژه دو بعدی (صفحه‌ی ویژه) سیستم خطی شده مماس است [۳۰]. در این خمینه می‌توان معادله حرکت سیستم را بر حسب یک جفت متغیر حالت نوشت ، به گونه‌ای که رفتار آن مشابه سیستم یک درجه آزادی باشد و سیستم یک درجه آزادی معادل در حرکت تک مودی را بدست آورد. بر اساس تعریف فوق ، مود غیر خطی را به صورت نسبت جابجایی و سرعت نقاط سیستم به جابجایی و سرعت یک نقطه‌ی خاص یا نقطه‌ی مرجع در نظر می‌گیرند. این نقطه با  $x_0$  و جابجایی و سرعت متناظر با این نقطه را به صورت  $(w_0, v_0)$  نشان داده می‌شود. لازم به ذکر است که مودهای خطی در واقع حالت خاصی از مودهای غیر خطی هستند. در آنالیز مodal غیر خطی جمع آثار امکان پذیر نبوده و مودهای غیر خطی نسبت به یکدیگر متعامد نیستند. در سیستم‌هایی که به واسطه‌ی دامنه‌ی زیاد رفتار غیر خطی دارند ، هرچه  $(w_0, v_0)$  کوچکتر باشند ، مود غیر خطی به مود سیستم خطی شده نزدیک‌تر می‌گردد. اگر جابجایی و سرعت سیستم را به ترتیب با  $w(x, t)$  و  $v(x, t)$  نشان دهیم ، می‌توان نوشت :

$$w(x_0, t) = w_0(t) \quad (1-3)$$

$$v(x_0, t) = v_0(t)$$

$$w(x, t) = W(w_0(t), v_0(t), x, x_0) \quad (2-3)$$

$$v(x, t) = V(w_0(t), v_0(t), x, x_0)$$

$W$  و  $V$  توابعی بوده که  $(w, v)$  را با  $(w_0, v_0)$  ارتباط می‌دهند و شرایط مرزی را ارضا می‌کنند. این روابط به صورت قید است ، که اگر حرکتی آن‌ها را ارضا کند ، به صورت کامل توسط زوج  $(w_0, v_0)$  مشخص خواهد شد. این زوج متغیرهای حالت مرجع بوده و بقیه متغیرهای حالت تابعی از این دو هستند. از ترکیب روابط (۱-۳) و (۲-۳) ، معادلات (۳-۳) بدست می‌آید.

$$W(w_0(t), v_0(t), x_0, x_0) = w_0(t) \quad (3-3)$$

$$V(w_0(t), v_0(t), x_0, x_0) = v_0(t)$$

معادله حرکت به فرم کلی (۴-۳) مفروض است. قدم اول مشتق گیری از معادلات قید (۳-۳) نسبت به زمان است.

$$\ddot{w} + f(w, \dot{w}) = 0 \quad (4-3)$$

<sup>1</sup> Nonlinear Normal Mode (NNM)

<sup>2</sup> Invariant Manifold

$$\dot{w}(x,t) = \frac{\partial W}{\partial t} = \frac{\partial W}{\partial w_0} \dot{w}_0 + \frac{\partial W}{\partial v_0} \dot{v}_0 \quad (5-3)$$

$$\dot{v}(x,t) = \frac{\partial V}{\partial t} = \frac{\partial V}{\partial w_0} \dot{w}_0 + \frac{\partial V}{\partial v_0} \dot{v}_0$$

$$V = \frac{\partial W}{\partial w_0} v_0 + \frac{\partial W}{\partial v_0} f(W(w_0(t), v_0(t), x_0, x_0), V(w_0(t), v_0(t), x_0, x_0)) \quad (6-3)$$

$$f(W(w_0(t), v_0(t), x, x_0), V(w_0(t), v_0(t), x, x_0)) = \frac{\partial V}{\partial w_0} v_0$$

$$+ \frac{\partial V}{\partial v_0} f(W(w_0(t), v_0(t), x_0, x_0), V(w_0(t), v_0(t), x_0, x_0))$$

با استفاده از معادله حرکت می توان به صورت (6-3) ، وابستگی زمانی روابط (5-3) را از بین برده و سپس به کمک سری توانی معادلات (6-3) را حل نمود. ابتدا  $w$  و  $v$  را مانند (7-3) و (8-3) بسط داده ،  $m+n \geq 1$  و  $m, n = 0, 1, 2, \dots$  پس از جایگذاری بسط مذکور در (6-3) و بالанс ضرایب  $w_0^m v_0^n$  را به ازای ... دستگاه معادلات دیفرانسیلی در حوزه‌ی مکان برای درجات متفاوت بدست می آید.

$$w(x,t) = W(w_0(t), v_0(t), x, x_0) = a_1(x, x_0) w_0(t) + a_2(x, x_0) v_0(t) \quad (7-3)$$

$$\begin{aligned} &+ a_3(x, x_0) w_0^2(t) + a_4(x, x_0) w_0(t) v_0(t) + a_5(x, x_0) v_0^2(t) \\ &+ a_6(x, x_0) w_0^3(t) + a_7(x, x_0) w_0^2(t) v_0(t) + a_8(x, x_0) w_0(t) v_0^2(t) \\ &+ a_9(x, x_0) v_0^3(t) + \dots \end{aligned}$$

$$v(x,t) = V(w_0(t), v_0(t), x, x_0) = b_1(x, x_0) w_0(t) + b_2(x, x_0) v_0(t) \quad (8-3)$$

$$\begin{aligned} &+ b_3(x, x_0) w_0^2(t) + b_4(x, x_0) w_0(t) v_0(t) + b_5(x, x_0) v_0^2(t) \\ &+ b_6(x, x_0) w_0^3(t) + b_7(x, x_0) w_0^2(t) v_0(t) + b_8(x, x_0) w_0(t) v_0^2(t) \\ &+ b_9(x, x_0) v_0^3(t) + \dots \end{aligned}$$

(9-3) شرط برقراری رابطه‌ی (3-3) در بسط های (7-3) و (8-3) است.

$$\begin{aligned} a_1(x_0, x_0) &= 1 & a_2(x_0, x_0) &= 0 & a_j(x_0, x_0) &= 0 & j &= 3, 4, 5, \dots \\ b_1(x_0, x_0) &= 0 & b_2(x_0, x_0) &= 1 & b_j(x_0, x_0) &= 0 \end{aligned} \quad (9-3)$$

با قرار دادن (7-3) و (8-3) در (6-3) و دسته بندی ضرایب جملات هم درجه و حل معادلات بدست آمده ، می توان مجھول های  $a_i(x, x_0)$  و  $b_i(x, x_0)$  ،  $i = 1, 2, 3, \dots$  را محاسبه نمود. سپس با قرار دادن  $W$  و  $V$  در معادله حرکت و محاسبه در  $x = x_0$  ، معادله یک درجه آزادی سیستم کاهش یافته بدست آمده که می توان فرکانس های طبیعی را از آن محاسبه نمود. سیستم های پیوسته یک بعدی که در بالا

شرح داده شد ، به گونه ای هستند که می توانند حرکت تک مودی داشته باشند و خمینه های ناوردای آنان در فضای فاز ، دو بعدی است. در سیستم هایی که تحت رزونانس داخلی بوده و یا چند بعدی هستند ، بین مود های غیر خطی کوپلینگ وجود دارد. در این حالت پس از اعمال روش فوق ، نمی توان ضرایب  $(a_i(x, x_0) \text{ و } b_i(x, x_0))$  را بدست آورد. بسته به نوع سیستم ، با انتخاب دو یا چند نقطه مرجع ، می توان مشکل فوق را برطرف نمود.

### ۳-۲. آنالیز مودال تیر اویلر برنولی با جابجایی عرضی بزرگ

با اعمال دو تغییر متغیر  $E_2 = \frac{E_T}{\rho}$  و  $E_1 = \frac{E_\eta I}{\rho A}$  می توان معادله حرکت (۴۵-۲) را به صورت زیر بازنویسی کرد.

$$w_{,t} = v \quad (10-3)$$

$$v_{,t} = -E_1 w_{,xxxx} + \frac{3}{2} E_2 w_{,xx} w_{,x}^2$$

$$V = \frac{\partial W}{\partial w_0} v_0 + \frac{\partial W}{\partial v_0} \left[ -E_1 w_{,xxxx} + \frac{3}{2} E_2 w_{,xx} w_{,x}^2 \right]_{x=x_0} \quad (I) \quad (11-3)$$

$$-E_1 w_{,xxxx} + \frac{3}{2} E_2 w_{,xx} w_{,x}^2 = \frac{\partial V}{\partial w_0} v_0 + \frac{\partial V}{\partial v_0} \left[ -E_1 w_{,xxxx} + \frac{3}{2} E_2 w_{,xx} w_{,x}^2 \right]_{x=x_0} \quad (II)$$

(۱۱-۳) حاصل جایگذاری (۱۰-۳) در (۶-۳) است. با قرار دادن بسط های (۷-۳) و (۸-۳) در (۱۱-۳) و دسته بندی ضرایب جملات هم درجه در (I) و (II) معادلات حاکم بر مجهول های  $(a_i(x, x_0) \text{ و } b_i(x, x_0))$  مطابق زیر بدست می آیند.

: درجه ۱ :

$$(I) \quad (12-3)$$

$$w_0 : b_1(x, x_0) + a_2(x, x_0) E_1 a_1'''(x_0, x_0) = 0$$

$$v_0 : b_2(x, x_0) - a_1(x, x_0) + a_2(x, x_0) E_1 a_2'''(x_0, x_0) = 0$$

(II) (۱۳-۳)

$$w_0 : -E_1 a_1'''(x, x_0) + b_2(x, x_0) E_1 a_1'''(x_0, x_0) = 0$$

$$v_0 : -E_1 a_2'''(x, x_0) - b_1(x, x_0) + b_2(x, x_0) E_1 a_2'''(x_0, x_0) = 0$$

: درجه ۲

(I) (۱۴-۳)

$$w_0^2 : b_3(x, x_0) + a_2(x, x_0) E_1 a_3'''(x_0, x_0) + a_4(x, x_0) E_1 a_1'''(x_0, x_0) = 0$$

$$w_0 v_0 : b_4(x, x_0) - 2a_3(x, x_0) + a_2(x, x_0) E_1 a_4'''(x_0, x_0)$$

$$+ 2a_5(x, x_0) E_1 a_1'''(x_0, x_0) + a_4(x, x_0) E_1 a_2'''(x_0, x_0) = 0$$

$$v_0^2 : b_5(x, x_0) - a_4(x, x_0) + a_2(x, x_0) E_1 a_5'''(x_0, x_0)$$

$$+ 2a_5(x, x_0) E_1 a_2'''(x_0, x_0) = 0$$

(II) (۱۵-۳)

$$w_0^2 : -E_1 a_3'''(x, x_0) + b_2(x, x_0) E_1 a_3'''(x_0, x_0)$$

$$+ b_4(x, x_0) E_1 a_1'''(x_0, x_0) = 0$$

$$w_0 v_0 : -E_1 a_4'''(x, x_0) - 2b_3(x, x_0) + b_2(x, x_0) E_1 a_4'''(x_0, x_0)$$

$$+ b_4(x, x_0) E_1 a_2'''(x_0, x_0) + 2b_5(x, x_0) E_1 a_1'''(x_0, x_0) = 0$$

$$v_0^2 : -E_1 a_5'''(x, x_0) - b_4(x, x_0) + b_2(x, x_0) E_1 a_5'''(x_0, x_0)$$

$$+ 2b_5(x, x_0) E_1 a_2'''(x_0, x_0) = 0$$

: درجه ۳

(I) (۱۶-۳)

$$w_0^3 : b_6(x, x_0) + a_4(x, x_0) E_1 a_3'''(x_0, x_0) - a_2(x, x_0) \left[ -E_1 a_6'''(x_0, x_0) \right]$$

$$\begin{aligned}
& + \frac{3}{2} E_2 a_1'^2(x_0, x_0) a_1''(x_0, x_0) \Big] + a_7(x, x_0) E_1 a_1'''(x_0, x_0) = 0 \\
w_0^2 v_0 : & \quad b_7(x, x_0) - 3a_6(x, x_0) - a_2(x, x_0) \Big[ -E_1 a_7'''(x_0, x_0) \\
& + \frac{3}{2} E_2 a_1'^2(x_0, x_0) a_2''(x_0, x_0) + 3E_2 a_1'(x_0, x_0) a_1''(x_0, x_0) a_2'(x_0, x_0) \Big] \\
& + 2a_5(x, x_0) E_1 a_3'''(x_0, x_0) + a_4(x, x_0) E_1 a_4'''(x_0, x_0) \\
& + 2a_8(x, x_0) E_1 a_1'''(x_0, x_0) + a_7(x, x_0) E_1 a_2'''(x_0, x_0) = 0 \\
w_0 v_0^2 : & \quad b_8(x, x_0) - 2a_7(x, x_0) - a_2(x, x_0) \Big[ -E_1 a_8'''(x_0, x_0) \\
& + \frac{3}{2} E_2 a_2'^2(x_0, x_0) a_1''(x_0, x_0) + 3E_2 a_2'(x_0, x_0) a_2''(x_0, x_0) a_1'(x_0, x_0) \Big] \\
& + 2a_5(x, x_0) E_1 a_4'''(x_0, x_0) + 3a_9(x, x_0) E_1 a_1'''(x_0, x_0) \\
& + a_4(x, x_0) E_1 a_5'''(x_0, x_0) + 2a_8(x, x_0) E_1 a_2'''(x_0, x_0) = 0 \\
v_0^3 : & \quad b_9(x, x_0) - a_8(x, x_0) + 3a_9(x, x_0) E_1 a_2'''(x_0, x_0) \\
& - a_2(x, x_0) \Big[ -E_1 a_9'''(x_0, x_0) + \frac{3}{2} E_2 a_2'^2(x_0, x_0) a_2''(x_0, x_0) \Big] \\
& + a_5(x, x_0) E_1 a_5'''(x_0, x_0) = 0 \\
(\text{II}) & \quad (\text{IV-V}) \\
w_0^3 : & \quad -E_1 a_6'''(x, x_0) + \frac{3}{2} E_2 a_1'^2(x, x_0) a_1''(x, x_0) + b_7(x, x_0) E_1 a_1'''(x_0, x_0) \\
& - b_2(x, x_0) \Big[ -E_1 a_6'''(x_0, x_0) + \frac{3}{2} E_2 a_1'^2(x_0, x_0) a_1''(x_0, x_0) \Big] \\
& + b_4(x, x_0) E_1 a_3'''(x_0, x_0) = 0 \\
w_0^2 v_0 : & \quad -E_1 a_7'''(x, x_0) + 3E_2 a_1'(x, x_0) a_1''(x, x_0) a_2'(x, x_0) - 3b_6(x, x_0) \\
& + \frac{3}{2} E_2 a_1'^2(x, x_0) a_2''(x, x_0) - b_2(x, x_0) \Big[ -E_1 a_7'''(x_0, x_0) \\
& + 3E_2 a_1'(x_0, x_0) a_1''(x_0, x_0) a_2'(x_0, x_0) + \frac{3}{2} E_2 a_1'^2(x_0, x_0) a_2''(x_0, x_0) \Big] \\
& + 2b_5(x, x_0) E_1 a_3'''(x_0, x_0) + b_4(x, x_0) E_1 a_4'''(x_0, x_0)
\end{aligned}$$

$$+2b_8(x, x_0)E_1a_1'''(x_0, x_0) + b_7(x, x_0)E_1a_2'''(x_0, x_0) = 0$$

$$w_0v_0^2 : -E_1a_8'''(x, x_0) + 3E_2a_2'(x, x_0)a_2''(x, x_0)a_1'(x, x_0) - 2b_7(x, x_0)$$

$$+\frac{3}{2}E_2a_2'^2(x, x_0)a_1''(x, x_0) - b_2(x, x_0) \left[ -E_1a_8'''(x_0, x_0) \right. \\ \left. + 3E_2a_2'(x_0, x_0)a_2''(x_0, x_0)a_1'(x_0, x_0) + \frac{3}{2}E_2a_2'^2(x_0, x_0)a_1''(x_0, x_0) \right]$$

$$+2b_5(x, x_0)E_1a_4'''(x_0, x_0) + b_4(x, x_0)E_1a_5'''(x_0, x_0)$$

$$+2b_8(x, x_0)E_1a_2'''(x_0, x_0) + 3b_9(x, x_0)E_1a_1'''(x_0, x_0) = 0$$

$$v_0^3 : -E_1a_9'''(x, x_0) + \frac{3}{2}E_2a_2'^2(x, x_0)a_2''(x, x_0) + 3b_9(x, x_0)E_1a_2'''(x_0, x_0)$$

$$-b_2(x, x_0) \left[ -E_1a_9'''(x_0, x_0) + \frac{3}{2}E_2a_2'^2(x_0, x_0)a_2''(x_0, x_0) \right]$$

$$-b_8(x, x_0) + 2b_5(x, x_0)E_1a_5'''(x_0, x_0) = 0$$

ملاحظه می شود که شرایط (۹-۳) در معادلات (۱۲-۳) تا (۱۷-۳) صدق می کند.

### ۱-۲-۳. تحلیل درجه اول

می دانیم که در یک سیستم میرا ، بین جابجایی و سرعت نقاط یک نوع ارتباط یا کوپلینگ وجود دارد. در سیستم مورد نظر ، میرایی به واسطه‌ی مختلط بودن  $E_1$  ایجاد می گردد. بنابر این باستی عامل ایجاد کننده‌ی کوپلینگ بین جابجایی و سرعت نقاط سیستم ، مختلط بودن  $E_1$  باشد و زمانی که  $E_1$  یک مقدار حقیقی داشته باشد ، این ارتباط در مرحله‌ی خطی از بین رفته ،  $u$  و  $v$  از هم جدا شوند. جهت این که  $u$  و  $v$  در مرحله‌ی خطی ، یک ارتباط دائمی نداشته باشند ، می بایست  $a_2(x, x_0) = b_1(x, x_0) = 0$  باشد. بنابر این معادلات (۱۲-۳) و (۱۳-۳) به صورت (۱۸-۳) ساده می شوند.

$$\begin{cases} a_1(x, x_0) = b_2(x, x_0) \\ a_1'''(x, x_0) - a_1(x, x_0)a_1'''(x_0, x_0) = 0 \end{cases} \quad (18-3)$$

دقت شود که  $a_1'''(x_0, x_0)$  یک ضریب ثابت بوده و پاسخ کلی (۱۸-۳) به راحتی مطابق (۱۹-۳) محاسبه خواهد شد. شرایط مرزی در دو طرف ، تکیه گاه ساده در نظر گرفته شده و (۲۰-۳) پاسخ نهایی (۱۸-۳) پس از اعمال شرایط مرزی است.

$$a_1(x, x_0) = A\sin(\lambda x) + B\cos(\lambda x) + C\sinh(\lambda x) + D\cosh(\lambda x) \quad (19-3)$$

$$\lambda = \left[ a_1'''(x_0, x_0) \right]^{1/4}$$

$$w(0, t) = w(L, t) = 0 \Rightarrow a_1(0, x_0) = a_1(L, x_0) = 0$$

$$w_{,xx}(0, t) = w_{,xx}(L, t) = 0 \Rightarrow a_1''(0, x_0) = a_1''(L, x_0) = 0$$

$$\Rightarrow \begin{cases} B = C = D = 0 \\ \lambda = \frac{n\pi}{L} \Rightarrow a_1'''(x_0, x_0) = \left(\frac{n\pi}{L}\right)^4 \end{cases}$$

$$a_1(x_0, x_0) = 1 \Rightarrow A = \frac{1}{\sin(n\pi x_0/L)}$$

$$a_1(x, x_0) = b_2(x, x_0) = \frac{\sin(n\pi x/L)}{\sin(n\pi x_0/L)} \quad n = 1, 2, 3, \dots \quad (20-3)$$

در این مرحله می توان مود های سیستم خطی شده را به صورت (21-3) محاسبه کرد. لازم به یادآوری است که  $x_0$  نباید در نو د شکل مود باشد. این محدودیت مشکلی ایجاد نمی کند زیرا برای هر مود می توان  $x_0$  متفاوتی در نظر گرفت.

$$W_n(w_0(t), v_0(t), x, x_0) = \frac{\sin(n\pi x/L)}{\sin(n\pi x_0/L)} w_0(t) \quad (21-3)$$

$$V_n(w_0(t), v_0(t), x, x_0) = \frac{\sin(n\pi x/L)}{\sin(n\pi x_0/L)} v_0(t)$$

جهت تکمیل کار و محاسبه ی فرکانس طبیعی ، از رابطه ی (21-3) شکل مود را در معادله حرکت قرار داده و سپس در  $x = x_0$  محاسبه می کنیم. از آن جایی که تا این مرحله محاسبات را تا مرتبه ی اول انجام شده است ، از فرم خطی (10-3) به عنوان معادله حرکت استفاده خواهد شد.

$$\frac{\partial}{\partial t} W_n(w_0(t), v_0(t), x_0, x_0) = V_n(w_0(t), v_0(t), x_0, x_0) \quad (22-3)$$

$$\frac{\partial}{\partial t} V_n(w_0(t), v_0(t), x_0, x_0) = -E_1 \frac{\partial^4}{\partial x^4} W_n(w_0(t), v_0(t), x_0, x_0)$$

$$\Rightarrow \begin{cases} \cancel{a_1(x, x_0)} \dot{w}_0(t) = \cancel{b_2(x, x_0)} v_0(t) \\ \cancel{b_2(x, x_0)} \dot{v}_0(t) = -\frac{E_\eta I}{\rho A} \left(\frac{n\pi}{L}\right)^4 \cancel{a_1(x, x_0)} w_0(t) \end{cases}$$

$$\ddot{w}_0 + \frac{E_\eta I}{\rho A} \left(\frac{n\pi}{L}\right)^4 w_0 = 0 \quad \Omega_n = \left(\frac{n\pi}{L}\right)^2 \sqrt{\frac{E_\eta I}{\rho A}} \quad (23-3)$$

$$w_0 = A'e^{st} \Rightarrow s^2 = -\Omega_n^2 \quad \begin{cases} \Omega_n = \omega_{dn} + i\alpha_n \\ s = a + ib \end{cases} \Rightarrow \begin{cases} b^2 = \omega_{dn}^2 \\ a = -\alpha_n \end{cases} \Rightarrow s = -\alpha_n + i\omega_{dn}$$

$$w_0 = e^{-\alpha t} (c_1 \sin(\omega_{dn} t) + c_2 \cos(\omega_{dn} t)) \quad (24-3)$$

روابط (21-۳)، (23-۳) و (24-۳) کاملاً با دانسته های قبلی از سیستم خطی مطابقت دارد. در این روش بر خلاف روش های متداول ابتدا شکل مود و سپس فرکانس های طبیعی بدست می آید.

## ۲-۲-۳. تحلیل درجه دوم

در معادلات مربوط به مرتبه ی دوم یا همان روابط (14-۳) و (15-۳)، ضریب عامل غیر خطی در معادله حرکت حضور ندارد. بنابراین اگر پاسخی برای  $a_j(x, x_0)$  و  $b_j(x, x_0)$  محاسبه شود،  $E_2$  در آن نقشی نداشته و این امر سبب می شود که با صفر قرار دادن  $E_2$  در (10-۳)، معادله حرکت سیستم، خطی شده ولی پاسخ بدست آمده به پاسخ خطی تبدیل نشود. به همین دلیل جواب مورد نظر برای مرتبه ی دوم، پاسخ بدیهی یا همان صفر خواهد بود. در حالت کلی می توان گفت در صورتی که سیستم از درجه ی فرد باشد، پاسخ آن نیز از درجه ی فرد و در صورتی که سیستم از درجه زوج باشد، پاسخ آن از درجه ی زوج خواهد بود.

$$\begin{aligned} a_3(x, x_0) &= a_4(x, x_0) = a_5(x, x_0) = 0 \\ b_3(x, x_0) &= b_4(x, x_0) = b_5(x, x_0) = 0 \end{aligned} \quad (25-3)$$

## ۳-۲-۳. تحلیل درجه سوم

با استفاده از نتایج بدست آمده در مراحل قبل یا همان روابط (20-۳) و (25-۳)، معادلات (3-16) و (3-17) به صورت زیر ساده می شوند.

$$(I) \quad (26-3)$$

$$\begin{aligned} b_6(x, x_0) + a_7(x, x_0) E_1 a_1'''(x_0, x_0) &= 0 \\ b_7(x, x_0) - 3a_6(x, x_0) + 2a_8(x, x_0) E_1 a_1'''(x_0, x_0) &= 0 \\ b_8(x, x_0) - 2a_7(x, x_0) + 3a_9(x, x_0) E_1 a_1'''(x_0, x_0) &= 0 \\ b_9(x, x_0) - a_8(x, x_0) &= 0 \end{aligned}$$

(II)

(۲۷-۳)

$$\begin{aligned}
& -E_1 a_6'''(x, x_0) + \frac{3}{2} E_2 a_1'^2(x, x_0) a_1''(x, x_0) + b_7(x, x_0) E_1 a_1'''(x_0, x_0) \\
& + a_1(x, x_0) \left[ E_1 a_6'''(x_0, x_0) - \frac{3}{2} E_2 a_1'^2(x_0, x_0) a_1''(x_0, x_0) \right] = 0 \\
& -E_1 a_7'''(x, x_0) - 3b_6(x, x_0) + a_1(x, x_0) E_1 a_7'''(x_0, x_0) + 2b_8(x, x_0) E_1 a_1'''(x_0, x_0) = 0 \\
& -E_1 a_8'''(x, x_0) - 2b_7(x, x_0) + a_1(x, x_0) E_1 a_8'''(x_0, x_0) + 3b_9(x, x_0) E_1 a_1'''(x_0, x_0) = 0 \\
& -E_1 a_9'''(x, x_0) - b_8(x, x_0) + a_1(x, x_0) E_1 a_9'''(x_0, x_0) = 0
\end{aligned}$$

سپس با محاسبه  $a_9(x, x_0)$  تا  $b_6(x, x_0)$  بر حسب  $a_6(x, x_0)$  از روابط (۲۶-۳) و جایگذاری آنها در (۲۷-۳) چهار معادله و چهار مجھول زیر بدست می‌آید.

$$\begin{aligned}
& -E_1 a_6'''(x, x_0) + a_1(x, x_0) E_1 a_6'''(x_0, x_0) \\
& + \left( \frac{n\pi}{L} \right)^4 E_1 \left[ 3a_6(x, x_0) - 2 \left( \frac{n\pi}{L} \right)^4 E_1 a_8(x, x_0) \right] = -\frac{3}{2} E_2 a_1'^2(x, x_0) a_1''(x, x_0) \\
& + a_1(x, x_0) \left[ \frac{3}{2} E_2 a_1'^2(x_0, x_0) a_1''(x_0, x_0) \right]
\end{aligned} \tag{۲۸-۳}$$

$$\begin{aligned}
& -E_1 a_7'''(x, x_0) + 3 \left( \frac{n\pi}{L} \right)^4 E_1 a_7(x, x_0) + 2 \left( \frac{n\pi}{L} \right)^4 E_1 \left[ 2a_7(x, x_0) - 3 \left( \frac{n\pi}{L} \right)^4 E_1 a_9(x, x_0) \right] \\
& + a_1(x, x_0) E_1 a_7'''(x_0, x_0) = 0
\end{aligned} \tag{۲۹-۳}$$

$$\begin{aligned}
& -E_1 a_8'''(x, x_0) - 2 \left[ 3a_6(x, x_0) - 2 \left( \frac{n\pi}{L} \right)^4 E_1 a_8(x, x_0) \right] + a_1(x, x_0) E_1 a_8'''(x_0, x_0) \\
& + 3a_8(x, x_0) E_1 a_1'''(x_0, x_0) = 0
\end{aligned} \tag{۳۰-۳}$$

$$-E_1 a_9'''(x, x_0) - \left[ 2a_7(x, x_0) - 3 \left( \frac{n\pi}{L} \right)^4 E_1 a_9(x, x_0) \right] + a_1(x, x_0) E_1 a_9'''(x_0, x_0) = 0 \tag{۳۱-۳}$$

در معادلات (۲۹-۳) و (۳۱-۳) مشخص است که  $E_2$  نقشی در  $a_9(x, x_0)$  و  $a_7(x, x_0)$  نداشته و بنابر دلایلی که در تحلیل مرتبه دوم ذکر شد، نتیجه می‌شود که  $a_7(x, x_0) = a_9(x, x_0) = 0$  است. پس از آن با جایگذاری در (۲۶-۳)،  $b_6(x, x_0) = b_8(x, x_0) = 0$  خواهد بود.

از آن جایی که شرایط مرزی همگن بوده و ضریب جمله‌ی غیر خطی در معادله حرکت در آنها حضور ندارد، پاسخ مورد نظر برای معادلات (۲۸-۳) و (۳۰-۳)، جواب خصوصی  $a_8(x, x_0)$  و  $a_6(x, x_0)$  است. با در نظر گرفتن  $a_8(x, x_0)$  و  $a_6(x, x_0)$  به صورت (۳۲-۳)، جایگذاری در (۲۸-۳) و (۳۰-۳)، استفاده از

اتحاد های مثلثاتی (۳۳-۳) و سپس مرتب کردن ضرایب  $\sin(n\pi x/L)$  و  $\sin(3n\pi x/L)$  ، چهار معادله و چهار مجهول (۳۴-۳) بدست می آید.

$$a_6(x, x_0) = M_1 \sin(n\pi x/L) + M_3 \sin^3(n\pi x/L) \quad (32-3)$$

$$a_8(x, x_0) = N_1 \sin(n\pi x/L) + N_3 \sin^3(n\pi x/L)$$

$$M_1 \sin(\alpha x) + M_3 \sin^3(\alpha x) = \left( M_1 + \frac{3}{4} M_3 \right) \sin(\alpha x) - \frac{1}{4} M_3 \sin(3\alpha x) \quad (33-3)$$

$$N_1 \sin(\alpha x) + N_3 \sin(3\alpha x) = (N_1 + 3N_3) \sin(\alpha x) - 4N_3 \sin^3(\alpha x)$$

$$\sin(n\pi x/L): \quad (34-3)$$

$$3M_1 + \left( 81S_{0n}^2 - \frac{117}{2} \right) M_3 - 2 \left( \frac{n\pi}{L} \right)^4 E_1 N_1 - \frac{3}{2} \left( \frac{n\pi}{L} \right)^4 E_1 N_3 = \frac{3E_2}{2E_1 S_{0n}} - \frac{9E_2}{8E_1 S_{0n}^3}$$

$$-6M_1 - \frac{9}{2} M_3 + 7 \left( \frac{n\pi}{L} \right)^4 E_1 N_1 + \left( 81S_{0n}^2 - \frac{111}{2} \right) \left( \frac{n\pi}{L} \right)^4 E_1 N_3 = 0$$

$$\sin(3n\pi x/L):$$

$$\frac{39}{2} M_3 + \frac{1}{2} \left( \frac{n\pi}{L} \right)^4 E_1 N_3 = \frac{3E_2}{8E_1 S_{0n}^3}$$

$$\frac{3}{2} M_3 + \frac{37}{2} \left( \frac{n\pi}{L} \right)^4 E_1 N_3 = 0$$

که  $S_{0n} = \sin(n\pi x_0/L)$  بوده و دترمینان ضرایب برابر با  $3240E_1^4 \left( \frac{n\pi}{L} \right)^8$  است.

$$M_1 = -\frac{37}{1920} \frac{E_2}{E_1 S_{0n}} \quad (35-3)$$

$$M_3 = \frac{37}{1920} \frac{E_2}{E_1 S_{0n}^3}$$

$$N_1 = \frac{1}{640} \left( \frac{L}{n\pi} \right)^4 \frac{E_2}{E_1^2 S_{0n}}$$

$$N_3 = -\frac{1}{640} \left( \frac{L}{n\pi} \right)^4 \frac{E_2}{E_1^2 S_{0n}^3}$$

از آن جایی که  $a_1(x, x_0) = \frac{1}{S_{0n}} \sin(n\pi x/L)$  است، می‌توان  $a_6(x, x_0)$  و  $b_7(x, x_0)$ ،  $a_8(x, x_0)$  را به فرم (۳۶-۳) نوشت، همچنین ملاحظه می‌شود که شرایط مرزی و شرط (۹-۳) در آن‌ها صدق می‌کند.

$$a_6(x, x_0) = \frac{37}{1920} \frac{E_2}{E_1} \left( -a_1(x, x_0) + a_1^3(x, x_0) \right) \quad (36-3)$$

$$a_8(x, x_0) = -\frac{1}{640} \frac{E_2}{E_1^2} \left( \frac{L}{n\pi} \right)^4 \left( -a_1(x, x_0) + a_1^3(x, x_0) \right)$$

$$b_7(x, x_0) = \frac{39}{640} \frac{E_2}{E_1} \left( -a_1(x, x_0) + a_1^3(x, x_0) \right)$$

$$b_9(x, x_0) = -\frac{1}{640} \frac{E_2}{E_1^2} \left( \frac{L}{n\pi} \right)^4 \left( -a_1(x, x_0) + a_1^3(x, x_0) \right)$$

### ۳-۳. شکل مود و دینامیک مود

از آن جایی که معادله حرکت از درجه ۳ است، محاسبات توابع مود نیز تا درجه سوم انجام می‌شود. با قرار دادن  $a_j(x, x_0)$  و  $b_j(x, x_0)$ ،  $j=1, 2, 3, \dots$ ، محاسبه شده در بخش‌های (۱-۲-۳) تا (۳-۲-۳) در (۷-۳) و (۸-۳)، توابع شکل مود به صورت (۳۷-۳) بدست می‌آیند. (۳۷-۳) نسبت جابجایی و سرعت تمامی نقاط سیستم را به جابجایی و سرعت نقطه‌ی مرجع نشان می‌دهد.

$$W_n(w_0(t), v_0(t), x, x_0) = a_1(x, x_0) w_0(t) + a_6(x, x_0) w_0^3(t) + a_8(x, x_0) w_0(t) v_0^2(t) \quad (37-3)$$

$$V_n(w_0(t), v_0(t), x, x_0) = b_2(x, x_0) v_0(t) + b_7(x, x_0) w_0^2(t) v_0(t) + b_9(x, x_0) v_0^3(t)$$

به دلیل وجود میرایی ترمولاستیک،  $E_1$  مختلط شده و (۳۷-۳) تابع شکل مود مختلط<sup>۱</sup> است. مود غیر خطی برای سیستم‌های نامیرا و غیر ژیروسکوپیک به صورت موج ایستا<sup>۲</sup> یا یک حرکت هم فاز است. در این حالت با صفر شدن جابجایی یا سرعت نقطه‌ی مرجع، به ترتیب جابجایی یا سرعت بقیه نقاط صفر خواهد بود. در سیستم‌های میرا یا ژیروسکوپیک، مود غیر خطی به صورت موج در حال<sup>۳</sup> حرکت بوده و حرکت نقاط با یکدیگر هم فاز نیستند. این حالت می‌تواند به دو شکل ظاهر شود، یا شکل مود همانند (۳۷-۳)

<sup>1</sup> Complex Mode

<sup>2</sup> Standing Wave

<sup>3</sup> Traveling Wave

مختلط شده و یا با صفر شدن جابجایی یا سرعت نقطه‌ی مرجع ، به ترتیب جابجایی یا سرعت بقیه نقاط صفر نخواهد شد.

برای مقایسه شکل مود غیر خطی با مود خطی می‌توان از اثر میرایی صرفنظر کرد. که در این حالت  $E_\eta = E_T = E$  است. معمولاً شکل مود در لحظه‌ای بررسی می‌شود که جابجایی در ماکزیمم خود باشد. از آن جایی که از اثر میرایی صرفنظر شده است ، در ماکزیمم جابجایی نقطه‌ی مرجع ، سرعت این نقطه برابر صفر ( $v_0 = 0$ ) بوده و می‌توان رابطه‌ی (۳۷-۳) را به صورت (۳۸-۳) بازنویسی کرد.

$$W_n = a_1 w_0 + a_6 w_0^3 = a_1 w_0 + \frac{37}{1920} \frac{E_2}{E_1} (-a_1 + a_1^3) w_0^3 \quad (38-3)$$

برای  $E_1$  می‌توان نوشت :

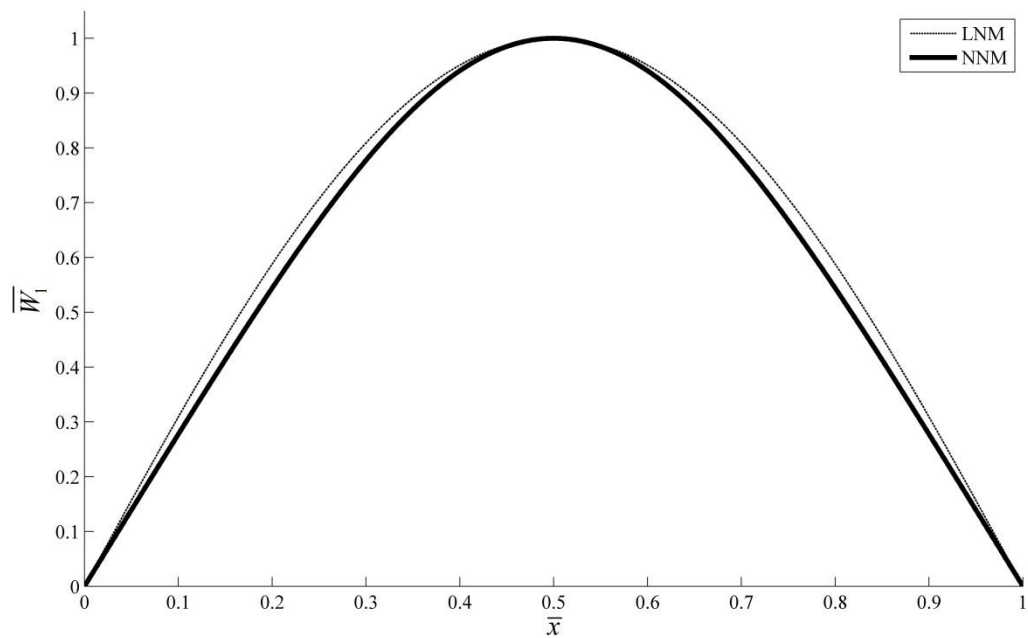
$$E_1 = \frac{EI}{\rho A} = \frac{E}{\rho} \left( \frac{h^2}{12} \right) = E_2 \left( \frac{h^2}{12} \right) \quad (39-3)$$

با استفاده از رابطه‌ی (۳۹-۳) در (۳۸-۳) و اعمال تغییر متغیر  $w_{0\max} = \delta h$  ، شکل مود نرمالیزه شده به صورت (۴۰-۳) بدست خواهد آمد که در آن  $\overline{W}_n = \frac{W_n}{\delta h}$  است.

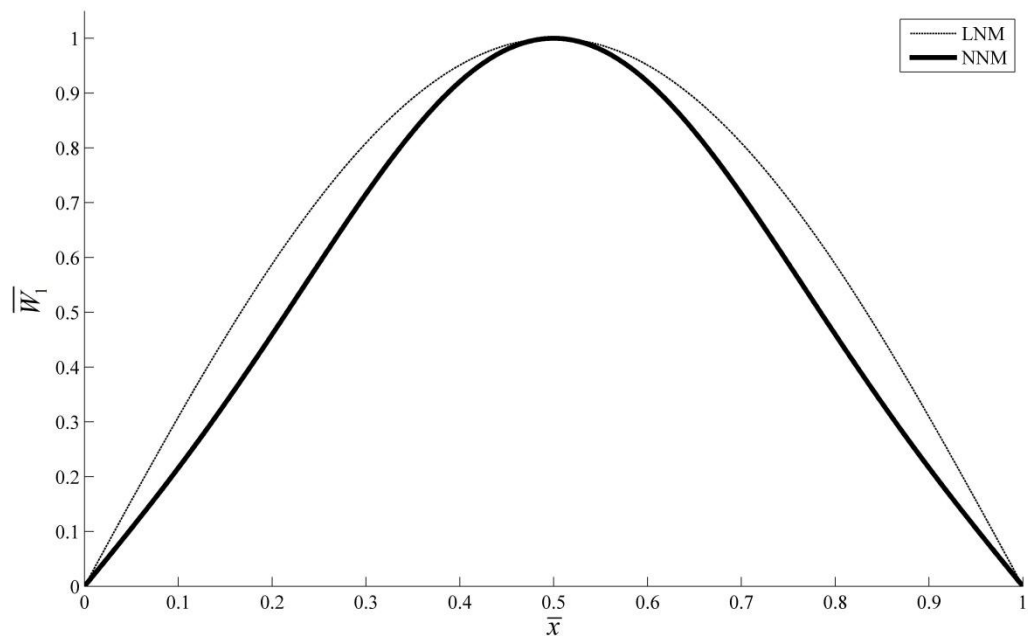
$$W_n = a_1 (\delta h) + \frac{37}{1920} \left( \frac{12}{K} \right) (-a_1 + a_1^3) \delta^2 K (\delta h)$$

$$\overline{W}_n = a_1 + \frac{37}{160} (-a_1 + a_1^3) \delta^2 \quad (40-3)$$

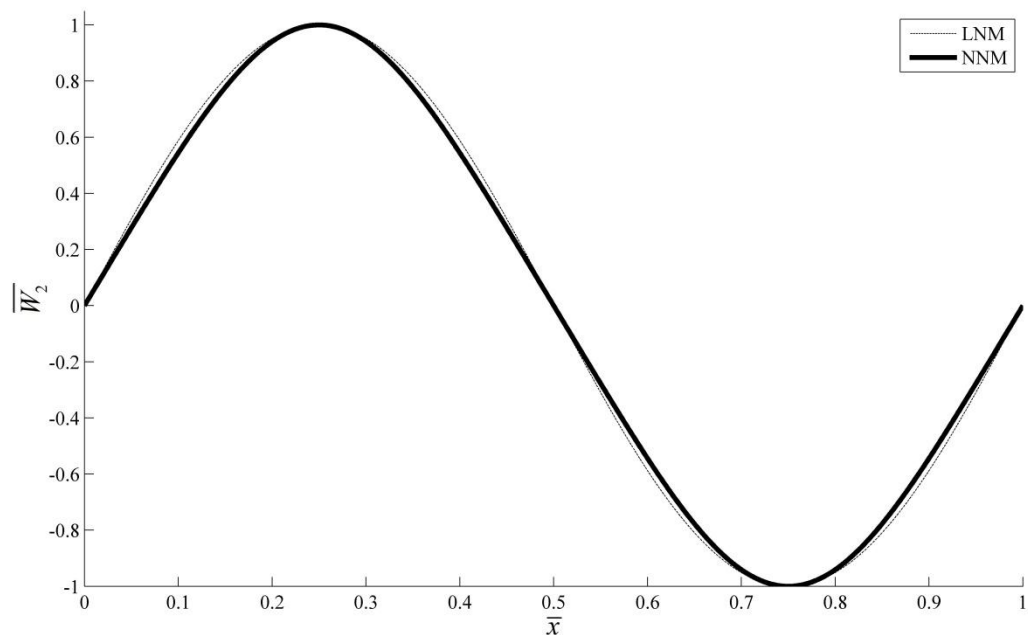
$\delta$  نسبت دامنه‌ی سیستم به ارتفاع سطح مقطع یا همان دامنه‌ی نسبی است. می‌توان برای نقطه‌ی مرجع هر موقعیت دلخواهی به جز نود شکل مود را در نظر گرفت. ولی انتخاب  $x_0 = L/2n$  یا  $\bar{x}_0 = 1/2n$  نسبت به بقیه موقعیت‌ها ارجاعیت دارد. در این حالت هیچ گاه نقطه‌ی مرجع در نود شکل مود نبوده و از طرف دیگر ، ماکزیمم دامنه‌ی سیستم همان ماکزیمم دامنه‌ی نقطه‌ی مرجع خواهد بود. شکل مود اول تا چهارم برای دامنه‌های نسبی متفاوت بر حسب موقعیت بی بعد ( $x/L = \bar{x}$ ) در شکل‌های (۱-۳) تا (۴-۳) رسم شده است. مود‌های غیر خطی و خطی به ترتیب با خطوط پر رنگ و نقطه‌ی چین نمایش داده شده است. مشخص است که هر اندازه دامنه نسبی سیستم بیشتر باشد ، تفاوت بین شکل مود‌های غیر خطی و خطی محسوس‌تر می‌گردد. همچنین می‌توان گفت که به ازای  $0.5 \leq \delta \leq 1$  ، معادله حرکت خطی شده تقریب مناسبی از رفتار سیستم است.



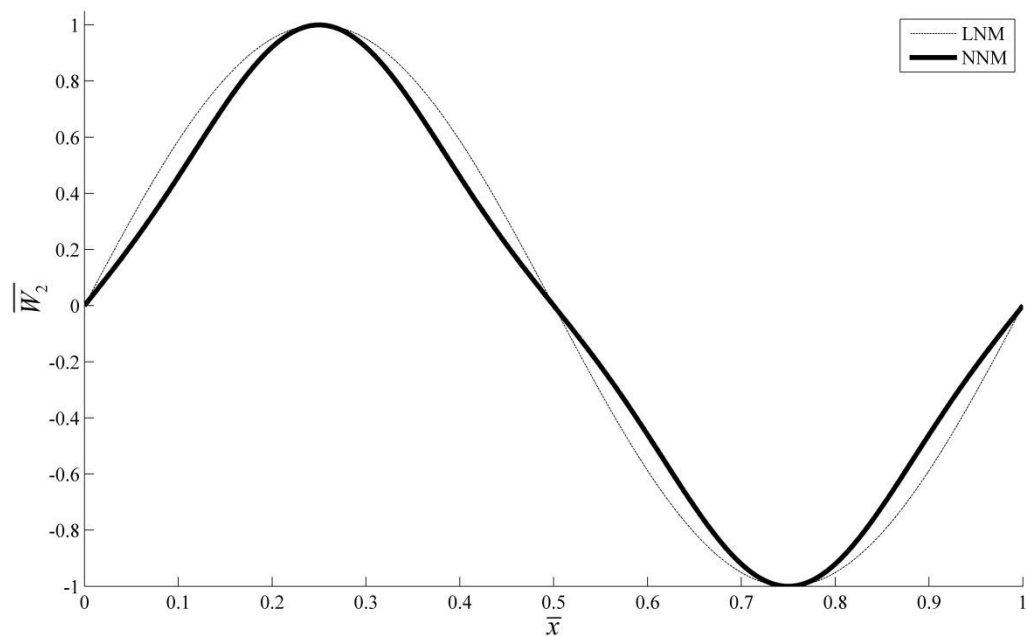
١-٣ (الف) مود اول خطی و غیر خطی  $\delta = 0.7$



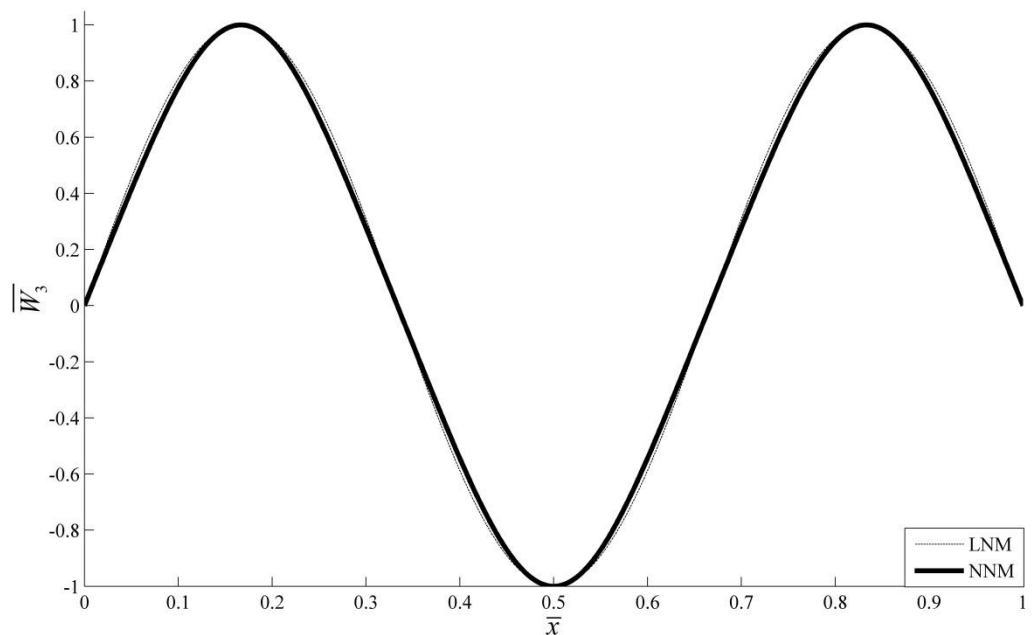
١-٣ (ب) مود اول خطی و غیر خطی  $\delta = 1.2$



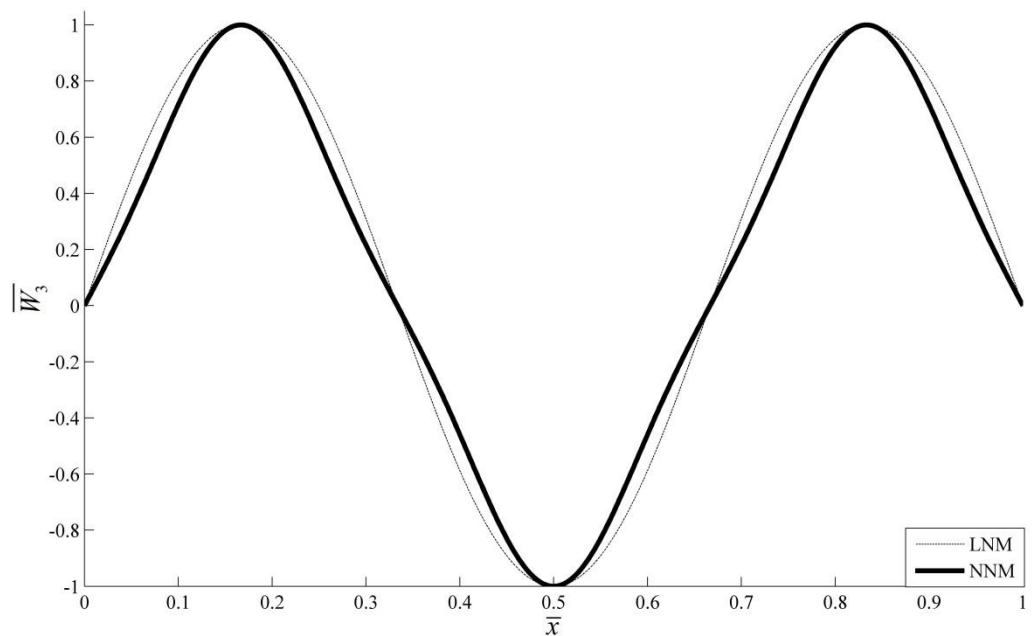
٢-٣ (الف) مود دوم خطی و غیر خطی  $\delta = 0.7$



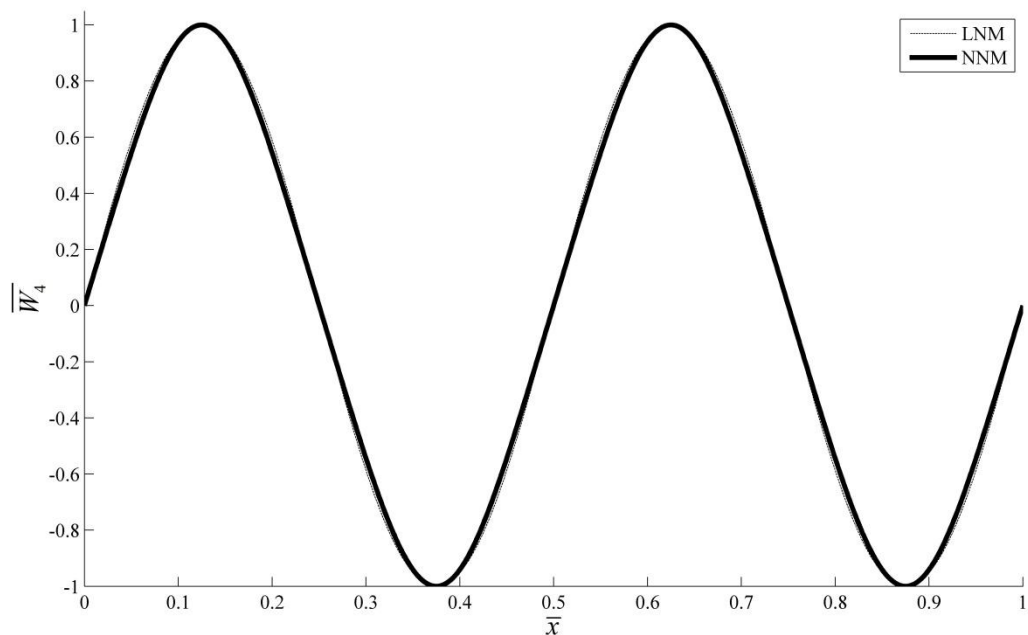
٢-٣ (ب) مود دوم خطی و غیر خطی  $\delta = 1.2$



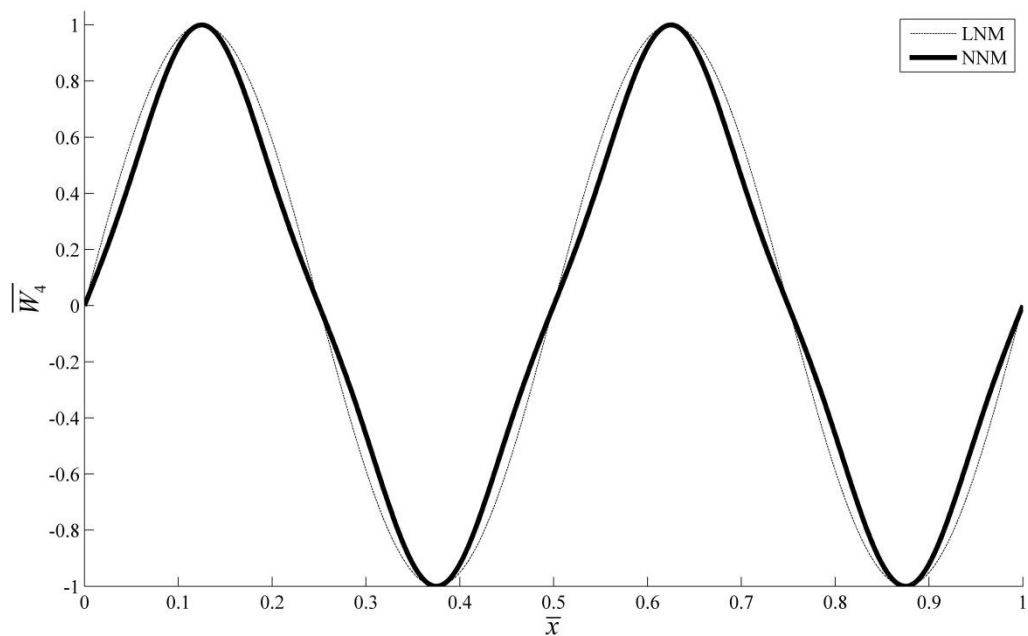
٣-٣ (الف) مود سوم خطی و غیر خطی  $\delta = 0.7$



٣-٣ (ب) مود سوم خطی و غیر خطی  $\delta = 1.2$



٤-٣ (الف) مود چهارم خطی و غير خطی  $\delta = 0.7$



٤-٣ (ب) مود چهارم خطی و غير خطی  $\delta = 1.2$

با قرار دادن (۳۷-۳) در (۱۰-۳) و محاسبه در  $x = x_0$  تا مرتبه ی سوم ، معادله ی دینامیک مود به صورت (۴۱-۳) بدست می آید که می توان فرکانس های طبیعی و  $Q^{-1}$  را از آن محاسبه نمود.

$$\ddot{w}_0 + E_1 \left( \frac{n\pi}{L} \right)^4 w_0 + E_2 \left( \frac{n\pi}{L} \right)^4 \left[ \frac{1}{24} + \frac{11}{32S_{0n}^2} \right] w_0^3 + \frac{E_2}{E_1} \left( -\frac{1}{8} + \frac{3}{32S_{0n}^2} \right) w_0 \dot{w}_0^2 = 0 \quad (41-3)$$

که  $S_{0n} = \sin(n\pi x_0/L)$  است. در ابتدا از (۴۱-۳) به نظر می رسد که فرکانس طبیعی به  $S_{0n}$  وابسته است ، ولی فرکانس طبیعی تابع  $A_0$  یا همان دامنه ی ارتعاش  $x_0$  نیز هست. با استفاده از شکل مود می توان ارتباط  $A_0$  با دامنه ماکزیمم سیستم را به صورت (۴۲-۳) نوشت. به راحتی می توان نشان داد که موقعیت نقطه ی مرجع تاثیری در پاسخ ندارد. بنابر این جهت ساده شدن معادله (۴۱-۳) می توان نقطه ی مرجع را به صورت  $x_0 = L/2n$  در نظر گرفت. در این حالت  $S_{0n} = 1$  و  $A_0$  با دامنه ماکزیمم سیستم برابر خواهد بود.

$$A_{\max} \approx \frac{1}{S_{0n}} A_0 + \frac{37}{1920} \frac{E_2}{E_1} \left( -\frac{1}{S_{0n}} + \frac{1}{S_{0n}^3} \right) A_0^3 \quad (42-3)$$

$$\ddot{w}_0 + E_1 \left( \frac{n\pi}{L} \right)^4 w_0 + \frac{37}{96} E_2 \left( \frac{n\pi}{L} \right)^4 w_0^3 - \frac{1}{32} \frac{E_2}{E_1} w_0 \dot{w}_0^2 = 0 \quad (43-3)$$

از آن جایی که  $E_1$  مختلط است ، می توان با اعمال تغییر متغیر های (۴۵-۳) ، معادله ی دینامیک مود تیر اویلر برنولی با کرنش کوچک و چرخش زیاد را به صورت نهایی (۴۴-۳) نوشت.

$$\ddot{\bar{w}}_0 + (K_1 + iD_1) \bar{w}_0 + K_3 \bar{w}_0^3 - (K_2 + iD_2) \bar{w}_0 \dot{\bar{w}}_0^2 = 0 \quad (44-3)$$

$$K_1 = \left( \frac{n\pi}{L} \right)^4 \operatorname{Re}[E_1] \quad K_2 = h^2 \operatorname{Re} \left[ \frac{E_2}{32E_1} \right] \quad K_3 = \frac{37}{96} h^2 \left( \frac{n\pi}{L} \right)^4 E_2 \quad (45-3)$$

$$D_1 = \left( \frac{n\pi}{L} \right)^4 \operatorname{Im}[E_1] \quad D_2 = h^2 \operatorname{Im} \left[ \frac{E_2}{32E_1} \right]$$

که  $L$  و  $h$  به ترتیب طول تیر و ارتفاع سطح مقطع بوده و  $\bar{w}_0 = w_0/h$  جابجایی عرضی بی بعد نقطه ی مرجع است. با استفاده از معادله (۴۴-۳) فرکانس های تیر میکرو قابل محاسبه اند.

## فصل چهارم

بررسی پاسخ گذرا

## ۱-۴. کلیات

هدف در این فصل محاسبه‌ی فرکانس‌های طبیعی و اثر میرایی است. در فصل سوم با استفاده از توابع مود، ارتعاش تیر به سیستم یک درجه آزادی کاهاش یافت. در این فصل با حل معادلات دینامیک مود استخراج شده در فصل سوم، فرکانس‌های طبیعی و نحوه‌ی اثر گذاری میرایی ترمولاستیک بررسی خواهد شد.

## ۲-۴. روش بالанс هارمونیکی

بالанс هارمونیکی<sup>۱</sup> از روش‌های متداول و نسبتاً دقیق تحلیلی تقریبی جهت بررسی ارتعاشات غیر خطی است. در این روش پاسخ معادله دیفرانسیل مشابه سری (۱-۴) در نظر گرفته می‌شود. در صورتی که معادله از درجه فرد یا زوج باشد، (۱-۴) به ترتیب به فرم (۲-۴) یا (۳-۴) تغییر می‌کند. پس از جایگذاری سری مورد نظر در معادله و استفاده از اتحاد‌های مثلثاتی (۴-۴)، ضرایب توابع هارمونیک به گونه‌ای انتخاب شده که معادله دیفرانسیل را ارضاء کند. بسته به مرتبه‌ی سری در نظر گرفته شده، بالанс بعضی از توابع امکان پذیر نبوده و حل انجام شده تقریبی از پاسخ واقعی معادله است.

$$x = A_1 \sin(\omega t) + B_1 \cos(\omega t) + A_2 \sin(2\omega t) + B_2 \cos(2\omega t) + A_3 \sin(3\omega t) + B_3 \cos(3\omega t) + \dots \quad (1-4)$$

$$x = A_1 \sin(\omega t) + B_1 \cos(\omega t) + A_3 \sin(3\omega t) + B_3 \cos(3\omega t) + A_5 \sin(5\omega t) + B_5 \cos(5\omega t) + \dots \quad (2-4)$$

$$x = A_1 \sin(\omega t) + B_1 \cos(\omega t) + A_2 \sin(2\omega t) + B_2 \cos(2\omega t) + A_4 \sin(4\omega t) + B_4 \cos(4\omega t) + \dots \quad (3-4)$$

<sup>1</sup> Harmonic Balance Method (HBM)

$$\sin^2(\alpha) = \frac{1}{2} - \frac{1}{2} \cos(2\alpha) \quad (4-4)$$

$$\sin^3(\alpha) = \frac{3}{4} \sin(\alpha) - \frac{1}{4} \sin(3\alpha)$$

$$\sin^4(\alpha) = \frac{3}{8} - \frac{1}{2} \cos(2\alpha) + \frac{1}{8} \cos(4\alpha)$$

$$\sin^5(\alpha) = \frac{5}{8} \sin(\alpha) - \frac{5}{16} \sin(3\alpha) + \frac{1}{16} \sin(5\alpha)$$

$$\cos^2(\alpha) = \frac{1}{2} + \frac{1}{2} \cos(2\alpha)$$

$$\cos^3(\alpha) = \frac{3}{4} \cos(\alpha) + \frac{1}{4} \cos(3\alpha)$$

$$\cos^4(\alpha) = \frac{3}{8} + \frac{1}{2} \cos(2\alpha) + \frac{1}{8} \cos(4\alpha)$$

$$\cos^5(\alpha) = \frac{5}{8} \cos(\alpha) + \frac{5}{16} \cos(3\alpha) + \frac{1}{16} \cos(5\alpha)$$

در این روش معادله دیفرانسیل غیر خطی به یک دستگاه معادلات جبری خطی تبدیل می شود و هرچه تعداد جملات بسط در نظر گرفته شده بیشتر باشد ، تقریب فرکانس طبیعی دقیق تر خواهد بود. بالا نس هارمونیکی مرتبه های بالاتر در سیستم های میرا در بعضی موارد بسیار مشکل و حتی غیر ممکن خواهد بود.

#### ۴-۲-۱. نوع اول

در روش اول ابتدا می بایست فرم رابطه  $(3-45)$  را از حالت مختلط خارج کرد. از آن جایی که پاسخ ارتعاشی سیستم های غیر خطی به صورت چند فرکانسی است ، پاسخ مشابه  $(4-5)$  در نظر گرفته می شود. آن گاه  $\dot{\bar{w}}_0/\bar{w}_0$  را مطابق زیر قابل محاسبه است.

$$\bar{w}_0 = \bar{A}_1 e^{i\Omega_1 t} + \bar{A}_2 e^{i\Omega_2 t} \quad (4-5)$$

$$\frac{\dot{\bar{w}}_0}{\bar{w}_0} = \frac{i\Omega_1 (\bar{A}_1 e^{i\Omega_1 t} + \bar{A}_2 e^{i\Omega_2 t}) + i(\Omega_2 - \Omega_1) \bar{A}_2 e^{i\Omega_2 t}}{\bar{A}_1 e^{i\Omega_1 t} + \bar{A}_2 e^{i\Omega_2 t}} = i\Omega_1 + i(\Omega_2 - \Omega_1) \frac{\bar{A}_2 e^{i\Omega_2 t}}{\bar{A}_1 e^{i\Omega_1 t} + \bar{A}_2 e^{i\Omega_2 t}} \quad (4-6)$$

$(4-6)$  نشان می دهد که  $\dot{\bar{w}}_0/\bar{w}_0$  یک نسبت مختلط بوده که می توان آن را به صورت دو بخش مجزا در نظر گرفت. یک بخش موهومی و ثابت و یک بخش دیگر که مختلط و نوسانی است. به هنگام بررسی اثر میرایی ، معمولا برآیند این اثر در یک سیکل در نظر گرفته می شود. از آن جایی که متوسط بخش نوسانی  $(4-6)$  در یک سیکل صفر است ، می توان در بررسی میرایی پاسخ را تک فرکانسی در نظر گرفته و  $(4-6)$  را به صورت  $(4-7)$  ساده کنیم.  $\Omega = \omega + i\alpha$  فرکانس طبیعی مختلط بوده که در آن  $\omega$  و  $\alpha$  به ترتیب

فرکانس حقیقی و موهومی هستند. آن گاه می توان همانند (۴-۸) دو مدل میرایی ، سختی موهومی و ویسکوز را به یکدیگر تبدیل نمود.

$$\bar{w}_0(t) = \bar{A}e^{i\Omega t} \Rightarrow \dot{\bar{w}}_0(t) = i\Omega \bar{w}_0(t) = (i\omega - \alpha) \bar{w}_0(t) \quad (7-4)$$

$$\begin{cases} iD_1\bar{w}_0 = \frac{D_1}{\omega}(i\omega)\bar{w}_0 - \frac{D_1}{\omega}\alpha\bar{w}_0 + \frac{D_1}{\omega}\alpha\bar{w}_0 \\ iD_2\bar{w}_0\dot{\bar{w}}_0^2 = \frac{D_2}{\omega}(i\omega)\bar{w}_0\dot{\bar{w}}_0^2 - \frac{D_2}{\omega}\alpha\bar{w}_0\dot{\bar{w}}_0^2 + \frac{D_2}{\omega}\alpha\bar{w}_0\dot{\bar{w}}_0^2 \end{cases} \quad (8-4)$$

$$\begin{cases} iD_1\bar{w}_0 = \frac{D_1}{\omega}\dot{\bar{w}}_0 + \frac{D_1}{\omega}\alpha\bar{w}_0 \\ iD_2\bar{w}_0\dot{\bar{w}}_0^2 = \frac{D_2}{\omega}\dot{\bar{w}}_0^3 + \frac{D_2}{\omega}\alpha\bar{w}_0\dot{\bar{w}}_0^2 \end{cases} \quad (9-4)$$

$$\ddot{\bar{w}}_0 + \frac{D_1}{\omega}\dot{\bar{w}}_0 + \left( K_1 + \frac{D_1}{\omega}\alpha \right) \bar{w}_0 + K_3\bar{w}_0^3 - \frac{D_2}{\omega}\dot{\bar{w}}_0^3 - \left( K_2 + \frac{D_2}{\omega}\alpha \right) \bar{w}_0\dot{\bar{w}}_0^2 = 0 \quad (9-4)$$

معادله (۹-۴) هم ارز (۴۵-۳) بوده و می توان آن را با بالانس هارمونیکی بررسی نمود. در اینجا حل تا مرتبه ی اول انجام شده است. (۱۰-۴) از جایگذاری پاسخ در نظر گرفته شده در (۹-۴) و سپس استفاده از اتحاد های (۴-۴) بدست می آید.

$$\bar{w}_0 = \bar{A}_0 e^{-\alpha t} \sin(\omega t)$$

$$\begin{aligned} & -\bar{A}_0\omega^2 e^{-\alpha t} \sin(\omega t) + \bar{A}_0\alpha^2 e^{-\alpha t} \sin(\omega t) - 2\alpha\omega\bar{A}_0 e^{-\alpha t} \cos(\omega t) + D_1\bar{A}_0 e^{-\alpha t} \cos(\omega t) \quad (10-4) \\ & + K_1\bar{A}_0 e^{-\alpha t} \sin(\omega t) + \frac{3}{4}K_3\bar{A}_0^3 e^{-3\alpha t} \sin(\omega t) - \frac{1}{4}K_3\bar{A}_0^3 e^{-3\alpha t} \sin(3\omega t) \\ & - \frac{3}{4}D_2\omega^2\bar{A}_0^3 e^{-3\alpha t} \cos(\omega t) - \frac{1}{4}D_2\omega^2\bar{A}_0^3 e^{-3\alpha t} \cos(3\omega t) - \frac{1}{4}K_2\omega^2\bar{A}_0^3 e^{-3\alpha t} \sin(\omega t) \\ & - \frac{1}{4}K_2\omega^2\bar{A}_0^3 e^{-3\alpha t} \sin(3\omega t) - \frac{1}{4}D_2\alpha^2\bar{A}_0^3 e^{-3\alpha t} \cos(\omega t) + \frac{1}{4}D_2\alpha^2\bar{A}_0^3 e^{-3\alpha t} \cos(3\omega t) \\ & - \frac{3}{4}K_2\alpha^2\bar{A}_0^3 e^{-3\alpha t} \sin(\omega t) + \frac{1}{4}K_2\alpha^2\bar{A}_0^3 e^{-3\alpha t} \sin(3\omega t) + \frac{1}{2}D_2\alpha\omega\bar{A}_0^3 e^{-3\alpha t} \sin(\omega t) \\ & + \frac{1}{2}D_2\alpha\omega\bar{A}_0^3 e^{-3\alpha t} \sin(3\omega t) + \frac{1}{2}K_2\alpha\omega\bar{A}_0^3 e^{-3\alpha t} \cos(\omega t) - \frac{1}{2}K_2\alpha\omega\bar{A}_0^3 e^{-3\alpha t} \cos(3\omega t) = 0 \end{aligned}$$

به دلیل شکل پاسخ در نظر گرفته شده ، جملات  $\cos(3\omega t)$  و  $\sin(3\omega t)$  بالانس نمی شود. با صرفنظر کردن از آن ها ، جدا کردن ضرایب  $\cos(\omega t)$  و  $\sin(\omega t)$  و سپس تقسیم طرفین به  $\bar{A}_0 e^{-\alpha t}$  ، دو معادله (۱۱-۴) و (۱۲-۴) بدست آمده که از طریق آن ها  $\omega$  و  $\alpha$  قابل محاسبه هستند.

$$\left(1 + \frac{1}{4} \bar{A}_0^2 e^{-2\alpha t} K_2\right) \omega^2 - \left(\frac{1}{2} D_2 \alpha \bar{A}_0^2 e^{-2\alpha t}\right) \omega = \left(K_1 + \frac{3}{4} \bar{A}_0^2 e^{-2\alpha t} K_3 + \alpha^2 \left(1 - \frac{3}{4} \bar{A}_0^2 e^{-2\alpha t} K_2\right)\right) \quad (11-4)$$

$$\frac{1}{2} K_2 \alpha \omega \bar{A}_0^2 e^{-2\alpha t} - \frac{3}{4} D_2 \omega^2 \bar{A}_0^2 e^{-2\alpha t} - \frac{1}{4} D_2 \alpha^2 \bar{A}_0^2 e^{-2\alpha t} - 2\alpha \omega + D_1 = 0 \quad (12-4)$$

## ۲-۲-۴ نوع دوم

در این روش به جای معادل سازی میرایی ، سختی موہومی به طور مستقیم مورد بررسی قرار می گیرد. معادله (۱۳-۴) از جایگذاری پاسخ در نظر گرفته شده در (۴۵-۳) بدست می آید.

$$\bar{w}_0 = \bar{A}_0 e^{-\alpha t} \sin(\omega t)$$

$$\begin{aligned} & (\alpha^2 - \omega^2 + K_1 + iD_1) \sin(\omega t) - 2\alpha \omega \cos(\omega t) \\ & + 2\alpha \omega \bar{A}_0^2 e^{-2\alpha t} (K_2 + iD_2) \sin^2(\omega t) \cos(\omega t) - \omega^2 \bar{A}_0^2 e^{-2\alpha t} (K_2 + iD_2) \sin(\omega t) \cos^2(\omega t) \\ & + [\bar{A}_0^2 e^{-2\alpha t} K_3 - \alpha^2 \bar{A}_0^2 e^{-2\alpha t} (K_2 + iD_2)] \sin^3(\omega t) = 0 \end{aligned} \quad (13-4)$$

میرایی ترمول استیک به صورت سختی موہومی در معادله حرکت ظاهر می شود. جهت درک بهتر عبارات موہومی در معادله حرکت ، ابتدا چرخش بردار فازور در صفحه  $i$  مخلوط در نظر گرفته می شود. بردار فازور بیان گر ارتعاش به فرم سیگنال تحلیلی است که هر دو قسمت حقیقی و موہومی آن در حال نوسان با فرکانس یکسان بوده ولی با یکدیگر اختلاف فاز دارند. یک بردار فازور حقیقی به اندازه  $\pi/2$  از بردار فازور موہومی عقب تر است. بنابر این حرکت موہومی از نظر ریاضی بیان گر حرکتی است که با  $\pi/2$  اختلاف فاز با حرکت حقیقی صورت می گیرد. با بسط استدلال فوق می توان گفت که سختی موہومی باعث اعمال نیرویی به سیستم شده که  $\pi/2$  با جابجایی اختلاف فاز دارد. پس می توان نوشت (۱۳-۴) . با اعمال رابطه  $i \sin(\omega t) \rightarrow \sin(\omega t + \pi/2)$  استفاده از اتحادهای (۴-۴) و بالانس کردن ضرایب  $\sin(\omega t)$  و  $\cos(\omega t)$  به ترتیب به صورت (۱۴-۴) و (۱۵-۴) بدست می آیند.

$$\omega^2 = \frac{K_1 + \frac{3}{4} \bar{A}_0^2 e^{-2\alpha t} K_3 + \left(1 - \frac{3}{4} \bar{A}_0^2 e^{-2\alpha t} K_2\right) \alpha^2}{1 + \frac{1}{4} \bar{A}_0^2 e^{-2\alpha t} K_2} \quad (14-4)$$

$$\alpha = \frac{\left( \frac{3}{2} \bar{A}_0^2 e^{-2\alpha t} D_2 + \frac{1}{2} \bar{A}_0^2 e^{-2\alpha t} K_2 - 2 \right) \omega}{\frac{3}{2} \bar{A}_0^2 e^{-2\alpha t} D_2} \quad (15-4)$$

$$+ \sqrt{\left( \frac{3}{2} \bar{A}_0^2 e^{-2\alpha t} D_2 + \frac{1}{2} \bar{A}_0^2 e^{-2\alpha t} K_2 - 2 \right)^2 \omega^2 - 3 \left( \bar{A}_0^2 e^{-2\alpha t} D_2 \right) \left( \frac{3}{4} \omega^2 \bar{A}_0^2 e^{-2\alpha t} D_2 - D_1 \right)}$$

$$\frac{3}{2} \bar{A}_0^2 e^{-2\alpha t} D_2$$

### ۳-۲-۴. محاسبه پاسخ ضمنی

اگرچه ظاهر پاسخ های بدست آمده در این دو روش متفاوت است ولی اختلاف مقادیر بدست آمده برای  $\omega$  و  $\alpha$  کمتر از دو درصد است. زیرا در ارتعاش آزاد دامنه‌ی پاسخ های با فرکانس بالاتر کم بوده و خطای حاصل از معادل سازی (۴۵-۳) به صورت (۹-۴) قابل صرفنظر است.

در بخش قبل مشاهده شد که شکل مود غیر خطی، تابعی از دامنه‌ی ارتعاش است. هرچه دامنه کمتر باشد، مود غیر خطی به مود خطی نزدیک تر شده و هرچه دامنه بیشتر باشد، اختلاف بین این دو واضح تر می‌گردد. در (۱۱-۴) یا (۱۴-۴) مشخص است که مشابه شکل مود، فرکانس طبیعی نیز تابع دامنه است. از آن جایی که سیستم میرا بوده، دامنه نسبت به زمان تغییر می‌کند و به تبع آن فرکانس طبیعی نیز تابع زمان خواهد بود. با گذشت زمان به دلیل میرا شدن دامنه‌ی ارتعاش، فرکانس طبیعی سیستم به فرکانس خطی نزدیک تر شده و در نهایت با آن برابر می‌گردد. بنابر این در صورتی که  $\bar{w}_0 = \bar{A} \sin \phi(t)$  باشد، آنگاه می‌توان مانند (۱۶-۴) برای  $\phi(t)$  نوشت.

$$\phi(t) = \int_0^t \omega(\tau) d\tau + \phi_0 \quad (16-4)$$

حل فوق فقط در صورتی قابل قبول است که در نظر گرفتن دو شرط  $\int_0^t \omega(\tau) d\tau \approx \omega t$  و  $\omega \ll \omega$  باشد. هرچقدر اختلاف بین فرکانس طبیعی غیر خطی با فرکانس طبیعی خطی بیشتر باشد، منطقی باشد. هرچقدر تغییرات فرکانس طبیعی نسبت به زمان بزرگ تر بوده و خطای وارد شده در حل بالانس هارمونیکی بیشتر خواهد شد. از آن جایی که  $D_1$  و  $D_2$  تابعی از  $\omega$  بوده و (۱۱-۴) و (۱۲-۴) یا (۱۴-۴) و (۱۵-۴) ضمنی هستند، می‌باشد حل را با روش تکرار انجام داد. روند حل به صورت زیر است :

در لحظه‌ی  $t=0$ ، با در نظر گرفتن  $\alpha=0$  و صرفنظر از بخش های موهومی معادله حرکت می‌توان  $\omega$  را از معادله‌ی (۱۱-۴) یا (۱۴-۴) با استفاده از شرط اولیه دامنه‌ی  $\bar{A}_0$  بدست آورد.

۱ - محاسبه‌ی  $E_{\eta}$  مختلط از رابطه‌ی (۴۳-۲) و سپس بدست آوردن  $K_1$  ،  $K_2$  و  $D_2$  جدید با استفاده از روابط (۴۵-۳). لازم به یاد آوری است که  $K_3$  بدون تغییر می‌ماند.

۲ - محاسبه‌ی  $\alpha$  از رابطه‌ی (۱۲-۴) یا (۱۵-۴).

۳ - با قرار دادن  $\alpha$  در (۱۴-۴) یا (۱۱-۴)،  $\omega$  جدید محاسبه می‌شود.

با تکرار ۳ مرحله‌ی فوق،  $\omega$  و  $\alpha$  بدست می‌آیند. از آن جایی که تفاوت فرکانس طبیعی سیستم میرا و نامیرا بسیار کوچک بوده، سرعت همگرایی بالاست.

با انجام روند فوق برای گام‌های زمانی، پاسخ نهایی بدست خواهد آمد.

### ۴-۳. سیگنال تحلیلی

#### ۴-۳-۱. تبدیل هیلبرت و سیگنال تحلیلی

استفاده از تبدیل هیلبرت<sup>۱</sup> یک روش متداول در تحلیل سیگنال و بررسی سیستم‌های مخابراتی است که می‌توان از آن در بررسی پاسخ آزاد و اجباری سیستم‌های ارتعاشی نیز استفاده نمود. در صورتی که تابع  $f(t)$  در  $t < \infty$  تعریف شده باشد، تبدیل هیلبرت و معکوس آن به صورت (۱۷-۴) بوده [۳۷] و برخی از خواص مهم آن در (۱۸-۴) آورده شده است [۴۹].

$$H[f(t)] = \hat{f}_H(t) = \frac{1}{\pi} \int_{-\infty}^{+\infty} \frac{f(\tau)}{t - \tau} d\tau \quad (17-4)$$

$$f(t) = \frac{1}{\pi} \int_{-\infty}^{+\infty} \frac{\hat{f}_H(\tau)}{\tau - t} d\tau = -H[\hat{f}_H(\tau)]$$

$$H^{-1} = -H \quad (18-4)$$

$$H[f(t+a)] = \hat{f}_H(t+a)$$

$$\begin{cases} H[f(at)] = \hat{f}_H(at) \\ H[f(-at)] = -\hat{f}_H(-at) \end{cases} \quad a > 0$$

<sup>1</sup> Hilbert Transform (HT)

$$H[\dot{f}(t)] = \frac{d}{dt} \hat{f}_H(t)$$

$$H[t f(t)] = t \hat{f}_H(t) + \frac{1}{\pi} \int_{-\infty}^{+\infty} f(t) dt$$

$$\|H[f(t)]\| = \|f(t)\|$$

تبدیل هیلبرت در یک تابع پریودیک ، به اندازه  $\pi/2$ - به ازای فرکانس مثبت و  $\pi/2$  به ازای فرکانس منفی اختلاف فاز ایجاد می کند. از روابط بسیار مهم حاکم بر تبدیل هیلبرت قضیه بدروسین<sup>۱</sup> است. بنابر این قضیه ، اگر  $f(x)$  و  $g(x)$  دو تابعی باشند که تبدیل فوریه آن ها در شرط (۱۹-۴) صدق کند ، آن گاه رابطه (۲۰-۴) برقرار خواهد بود [۳۸].

$$\begin{cases} \forall |\omega| > a & F(\omega) = 0 \\ \forall |\omega| < a & G(\omega) = 0 \end{cases} \quad (19-4)$$

$$H[f(x)g(x)] = f(x)H[g(x)] \quad (20-4)$$

که  $a$  یک ثابت مثبت دلخواه است. به عبارت دیگر ، اگر محدوده فرکانس تغییرات  $f(x)$  و  $g(x)$  با هم تداخل نداشته و فرکانس  $f(x)$  کمتر از  $g(x)$  باشد ، شرایط قضیه بدروسین برقرار است. در این حالت اصطلاحاً به  $f(x)$  و  $g(x)$  به ترتیب پایین گذر<sup>۲</sup> و بالا گذر<sup>۳</sup> می گویند. اگر  $y(t)$  ، یک سیگنال مشابه (۲۱-۴) باشد ، می توان سیگنال تحلیلی  $(t)Y$  را به صورت (۲۲-۴) تعریف نمود [۳۹]. خصوصیات  $(t)Y$  در روابط (۲۳-۴) تا (۲۵-۴) بیان شده است.

$$y(t) = A(t) \cos \psi(t) \quad (21-4)$$

$$Y(t) = y(t) + i \tilde{y}(t) = A(t) e^{i\psi(t)} \quad (22-4)$$

$$A(t) = \sqrt{y^2(t) + \tilde{y}^2(t)} \quad \psi(t) = \arctan \left( \frac{\tilde{y}(t)}{y(t)} \right) \quad (23-4)$$

$$\omega(t) = \dot{\psi}(t) = \frac{y(t)\dot{\tilde{y}}(t) - \dot{y}(t)\tilde{y}(t)}{A^2(t)} = \text{Im} \left[ \frac{\dot{Y}(t)}{Y(t)} \right] \quad (24-4)$$

$$\dot{A}(t) = \frac{y(t)\dot{y}(t) + \tilde{y}(t)\dot{\tilde{y}}(t)}{A(t)} = A(t) \text{Re} \left[ \frac{\dot{Y}(t)}{Y(t)} \right] \quad (25-4)$$

<sup>1</sup> Bedrosian

<sup>2</sup> Low Pass

<sup>3</sup> High Pass

که  $A(t)$  و  $\psi(t)$ <sup>۱</sup> به ترتیب دامنه لحظه ای<sup>۲</sup> و فرکانس لحظه ای هستند. با استفاده از روابط (۱۸-۴) و (۲۶-۴) می توان ارتباط بین سیگنال تحلیلی  $Y(t)$  و مشتقات آن را به صورت (۲۶-۴) محاسبه کرد.

$$\dot{Y} = \dot{A}e^{i\psi} + iA\dot{\psi}e^{i\psi} = \frac{\dot{A}}{A}Y + i\omega Y \quad (26-4)$$

$$\ddot{Y} = \ddot{A}e^{i\psi} + 2i\dot{A}\dot{\psi}e^{i\psi} + iA\ddot{\psi}e^{i\psi} - A\dot{\psi}^2e^{i\psi} = \left( \frac{\ddot{A}}{A} - \omega^2 \right)Y + i \left( 2\omega \frac{\dot{A}}{A} + \dot{\omega} \right)Y$$

## ۲-۳-۴. دامنه و فرکانس لحظه ای

پاسخ ارتعاشات غیر خطی به صورت چند فرکانسی است. اگر پاسخ سیستم نامیرا را به صورت (۲۷-۴) در نظر بگیریم، می توان از آن تبدیل هیلبرت گرفته و سیگنال تحلیلی (۲۹-۴) را بدست آورد.

$$y(t) = y_1(t) + y_2(t) = A_1 \cos(\omega_1 t + \alpha_0) + A_2 \cos(\omega_2 t + \alpha_0) \quad (27-4)$$

$$\tilde{y}(t) = A_1 \sin(\omega_1 t + \alpha_0) + A_2 \sin(\omega_2 t + \alpha_0) \quad (28-4)$$

$$Y(t) = A_1 e^{i\omega_1 t + \alpha_0} + A_2 e^{i\omega_2 t + \alpha_0} \quad (29-4)$$

با استفاده از (۲۳-۴) و (۲۴-۴) دامنه و فرکانس لحظه ای سیستم نامیرا به ترتیب به صورت (۳۰-۴) و (۳۱-۴) بدست می آیند [۴۴].

$$A(t) = \left[ A_1^2 + 2A_1 \cos(\omega_1 t + \alpha_0) A_2 \cos(\omega_2 t + \alpha_0) + A_2^2 + 2A_1 \sin(\omega_1 t + \alpha_0) A_2 \sin(\omega_2 t + \alpha_0) \right]^{\frac{1}{2}} \quad (30-4)$$

$$A(t) = \left[ A_1^2 + A_2^2 + 2A_1 A_2 \cos((\omega_2 - \omega_1)t) \right]^{\frac{1}{2}} \quad (31-4)$$

$$\dot{Y}(t) = A_1(i\omega_1)e^{i\omega_1 t + \alpha_0} + A_2(i\omega_2)e^{i\omega_2 t + \alpha_0}$$

$$\frac{\dot{Y}(t)}{Y(t)} = \frac{i\omega_1 \left[ A_1 e^{i\omega_1 t + \alpha_0} + A_2 e^{i\omega_2 t + \alpha_0} \right] + iA_2 (\omega_2 - \omega_1) e^{i\omega_2 t + \alpha_0}}{A_1 e^{i\omega_1 t + \alpha_0} + A_2 e^{i\omega_2 t + \alpha_0}}$$

$$\frac{\dot{Y}(t)}{Y(t)} = i\omega_1 + \frac{iA_2 (\omega_2 - \omega_1) e^{i\omega_2 t + \alpha_0} (A_1 e^{-i\omega_1 t - \alpha_0} + A_2 e^{-i\omega_2 t - \alpha_0})}{(A_1 e^{i\omega_1 t + \alpha_0} + A_2 e^{i\omega_2 t + \alpha_0})(A_1 e^{-i\omega_1 t - \alpha_0} + A_2 e^{-i\omega_2 t - \alpha_0})}$$

<sup>1</sup> Instantaneous Amplitude (IA)

<sup>2</sup> Instantaneous Frequency (IF)

$$\frac{\dot{Y}(t)}{Y(t)} = i\omega_l + \frac{iA_2(\omega_2 - \omega_l)(A_2 + A_l e^{i(\omega_2 - \omega_l)t})}{A_l^2 + A_l A_2 e^{i(\omega_2 - \omega_l)t} + A_l A_2 e^{i(\omega_l - \omega_2)t} + A_2^2}$$

$$\frac{\dot{Y}(t)}{Y(t)} = i\omega_l + \frac{(\omega_2 - \omega_l) [A_2^2 + A_l A_2 [\cos((\omega_2 - \omega_l)t) - \sin((\omega_2 - \omega_l)t)]]}{A_l^2 + A_2^2 + 2A_l A_2 \cos((\omega_2 - \omega_l)t)}$$

$$\omega(t) = \text{Im} \left[ \frac{\dot{Y}(t)}{Y(t)} \right] = \omega_l + \frac{(\omega_2 - \omega_l) [A_2^2 + A_l A_2 \cos((\omega_2 - \omega_l)t)]}{A^2(t)} \quad (31-4)$$

در (۳۰-۴) و (۳۱-۴) مشخص است که برای یک سیستم ارتعاشی غیر خطی نامیرا ، دامنه و فرکانس لحظه‌ای متشکل از دو بخش ثابت و نوسانی هستند. در صورتی که معادله حرکت از مرتبه‌ی زوج باشد ،  $\omega_2 = 3\omega_l$  و اگر معادله حرکت از مرتبه‌ی فرد باشد ،  $\omega_2 = 2\omega_l$  خواهد بود. بنابر این فرکانس نوسانات دامنه و فرکانس لحظه‌ای برای سیستم نامیرا با مرتبه‌ی زوج و فرد به ترتیب برابر و دو برابر فرکانس پایه نوسان سیستم خواهد بود.

پاسخ چند فرکانسی برای سیستم میرا را می‌توان به صورت (۳۲-۴) در نظر گرفت. که در آن  $A_1(t)$  و  $A_2(t)$  با گذشت زمان به صفر میل می‌کنند.  $\phi_1(t)$  و  $\phi_2(t)$  فرکانس‌های لحظه‌ای جزئی هستند. از آن جایی که در سیستم‌های غیر خطی ، فرکانس نوسان تابعی از دامنه بوده و سیستم میراست ، با گذشت زمان  $\phi_1(t)$  و  $\phi_2(t)$  به آرامی تغییر کرده و به مقدار فرکانس خطی میل می‌کنند. با استفاده از قضیه بدروسین می‌توان مشابه (۳۳-۴) از (۳۲-۴) تبدیل هیلبرت گرفت و سیگنال تحلیلی پاسخ را به صورت (۳۴-۴) محاسبه نمود.

$$y(t) = y_1(t) + y_2(t) = A_1(t) \cos \varphi_1(t) + A_2(t) \cos \varphi_2(t) \quad (32-4)$$

$$\tilde{y}(t) = A_1(t) \sin \varphi_1(t) + A_2(t) \sin \varphi_2(t) \quad (33-4)$$

$$Y(t) = A_1(t) e^{i\varphi_1(t)} + A_2(t) e^{i\varphi_2(t)} \quad (34-4)$$

با استفاده از (۲۳-۴) و (۲۴-۴) دامنه و فرکانس لحظه‌ای سیستم میرا به ترتیب به صورت (۳۵-۴) و (۳۶-۴) بدست می‌آیند.

$$A(t) = [A_1^2(t) + 2A_1(t)A_2(t) \cos \varphi_1(t) \cos \varphi_2(t) + A_2^2(t) + 2A_1(t)A_2(t) \sin \varphi_1(t) \sin \varphi_2(t)]^{1/2}$$

$$A(t) = [A_1^2(t) + A_2^2(t) + 2A_1(t)A_2(t) \cos(\varphi_2(t) - \varphi_1(t))]^{1/2} \quad (35-4)$$

$$\begin{aligned}\dot{Y}(t) &= \dot{A}_1(t)e^{i\varphi_1(t)} + A_1(t)i\varphi_1(t)e^{i\varphi_1(t)} + \dot{A}_2(t)e^{i\varphi_2(t)} + A_2(t)i\varphi_2(t)e^{i\varphi_2(t)} \\ \frac{\dot{Y}(t)}{Y(t)} &= \frac{[\dot{A}_1(t)e^{i\varphi_1(t)} + \dot{A}_2(t)e^{i\varphi_2(t)}] + i\dot{\varphi}_1(t)[A_1(t)e^{i\varphi_1(t)} + A_2(t)e^{i\varphi_2(t)}]}{A_1(t)e^{i\varphi_1(t)} + A_2(t)e^{i\varphi_2(t)}} \\ &\quad + \frac{iA_2(t)(\dot{\varphi}_2(t) - \dot{\varphi}_1(t))e^{i\varphi_2(t)}}{A_1(t)e^{i\varphi_1(t)} + A_2(t)e^{i\varphi_2(t)}} \\ \frac{\dot{Y}(t)}{Y(t)} &= i\dot{\varphi}_1(t) + \frac{iA_2(t)(\dot{\varphi}_2(t) - \dot{\varphi}_1(t))[A_2(t) + A_1(t)e^{i(\varphi_2(t) - \varphi_1(t))}]}{A_1^2(t) + A_2^2(t) + 2A_1(t)A_2(t)\cos(\varphi_2(t) - \varphi_1(t))} \\ &\quad + \frac{A_1(t)\dot{A}_1(t) + A_2(t)\dot{A}_1(t)e^{i(\varphi_1(t) - \varphi_2(t))} + A_2(t)\dot{A}_2(t) + A_1(t)\dot{A}_2(t)e^{i(\varphi_2(t) - \varphi_1(t))}}{A_1^2(t) + A_2^2(t) + 2A_1(t)A_2(t)\cos(\varphi_2(t) - \varphi_1(t))}\end{aligned}$$

$$\begin{aligned}\omega(t) &= \text{Im} \left[ \frac{\dot{Y}(t)}{Y(t)} \right] = \dot{\varphi}_1(t) + \frac{(\dot{\varphi}_2(t) - \dot{\varphi}_1(t))[A_2^2 + A_1A_2 \cos(\varphi_2(t) - \varphi_1(t))]}{A^2(t)} \quad (36-4) \\ &\quad + \frac{[A_1(t)\dot{A}_2(t) - A_2(t)\dot{A}_1(t)]\sin(\varphi_2(t) - \varphi_1(t))}{A^2(t)}\end{aligned}$$

دامنه لحظه ای سیستم میرا مشابه سیستم نامیرا حالت نوسانی دارد ولی به دلیل وجود میرایی ، تابع متوسط آن نیز با زمان تغییر می کند. فرکانس لحظه ای متوسط نیز همانند دامنه لحظه ای متوسط با زمان تغییر کرده و به مقدار خطی خود میل می کند. در مقایسه سیستم های میرا و نامیرا با یکدیگر ، در فرکانس لحظه ای یک جمله ای نوسانی دیگر به دلیل تغییرات دامنه نسبت به زمان ، وجود دارد. که البته اثر آن ناچیز است. مشابه سیستم نامیرا ، در صورتی که معادله حرکت از مرتبه ای زوج باشد ،  $\varphi_2(t) = 2\varphi_1(t)$  و اگر معادله حرکت از مرتبه ای فرد باشد ،  $\varphi_2(t) = 3\varphi_1(t)$  خواهد بود. بنابر این فرکانس نوسانات دامنه و فرکانس لحظه ای برای سیستم میرا با مرتبه ای زوج و فرد به ترتیب برابر و دو برابر فرکانس پایه نوسان سیستم خواهد بود.

### ۴-۳-۳. بررسی پاسخ با استفاده از سیگنال تحلیلی

اگر معادله حرکت سیستم را به صورت (۳۷-۴) در نظر بگیریم ، از آن جایی که شرایط قضیه بدروسین برقرار است ، می توان با استفاده از (۲۰-۴) از آن تبدیل هیلبرت گرفت و سپس با ضرب کردن معادله ای حاصل در  $i$  و جمع کردن آن با (۳۷-۴) ، (۳۸-۴) را بدست آورد. در روابط زیر  $D(A, \omega)$  و  $\omega_0^2(A)$  به ترتیب فرکانس طبیعی سیستم نامیرا (سختی معادل) و میرایی معادل هستند.

$$\ddot{y} + iD(A, \omega)y + \omega_0^2(A)y = 0 \quad (37-4)$$

$$\ddot{Y} + iD(A, \omega)Y + \omega_0^2(A)Y = 0 \quad (38-4)$$

(39-4) از جایگذاری (26-4) در (38-4) بدست می آید. سپس با مساوی صفر قرار دادن جملات حقیقی و موهومی آن ، روابط (40-4) استخراج می گردد [39].

$$\left( \frac{\ddot{A}}{A} - \omega^2 \right) Y + i \left( 2\omega \frac{\dot{A}}{A} + \dot{\omega} \right) Y + iD(A, \omega)Y + \omega_0^2(A)Y = 0 \quad (39-4)$$

$$\begin{cases} \omega_0^2(A) = \omega^2 - \frac{\ddot{A}}{A} \\ D(A, \omega) = -2\omega \frac{\dot{A}}{A} - \dot{\omega} \end{cases} \quad (40-4)$$

روابط (40-4) ، ارتباط بین فرکانس لحظه ای و دامنه لحظه ای را با فرکانس طبیعی سیستم نامیرا و میرایی معادل نشان می دهد. معمولا استفاده از این روش در شناسایی سیستم ها است. بدین صورت که با داشتن سیگنال پاسخ ، فرکانس و دامنه ای لحظه ای را با روابط (23-4) و (24-4) محاسبه کرده و سپس با حل معادلات جبری (40-4) ، فرکانس طبیعی و میرایی معادل سیستم بدست خواهد آمد. هدف در این بخش ، طی کردن معکوس روند فوق است. بنابر این (40-4) دستگاه معادله دیفرانسیل بوده که می بایست به صورت عددی حل شود. حل عددی (40-4) در مقایسه با حل عددی معادله حرکت به صورت مستقیم ، مزایا و معایبی دارد. در این روش :

۱- فرکانس و دامنه لحظه ای به طور مستقیم محاسبه می شود و دیگر نیازی به استخراج فرکانس و دامنه از شکل پاسخ نیست. این موضوع در سیستمی که میرایی آن مشابه میرایی ترمولاستیک تابعی از فرکانس باشد ، اهمیت خیلی بیشتری خواهد داشت.

۲- گام های زمانی می توانند مقادیر بزرگ تری داشته باشند و زمان سپری شده جهت حل عددی نسبتا کوتاه تر خواهد بود.

۳- همان طور که در روابط (30-4) ، (31-4) و (35-4) اشاره شد ، فرکانس و دامنه لحظه ای در سیستم های ارتعاشی غیر خطی به دلیل پاسخ چند فرکانسی ، حالت نوسانی دارند. در حل مستقیم معادله حرکت این پدیده قابل مشاهده نخواهد بود.

۴- جهت حل (40-4) سه شرط اولیه لازم است که فقط یکی از آن ها را می توان از شرط اولیه مسئله بدست آورد. ولی از آن جایی که روند حل خود اصلاح است ، می توان دو شرط دیگر را از روش تکرار محاسبه نمود.

#### ۴-۳-۴. فرکانس نامیرا

معادله‌ی (۴۱-۴) ، شکل نامیرا (۴۴-۳) است. با در نظر گرفتن پاسخ به صورت (۴۲-۴) ، فرکانس نامیرا را می‌توان با استفاده از بالанс هارمونیک مشابه زیر محاسبه نمود.

$$\ddot{\bar{w}}_0 + K_1 \bar{w}_0 + K_3 \bar{w}_0^3 - K_2 \bar{w}_0 \dot{\bar{w}}_0^2 = 0 \quad (41-4)$$

$$\bar{w}_0 = \bar{A} [\cos(\omega t) + \beta \cos(3\omega t)] \quad (42-4)$$

$$\begin{aligned} -\omega^2 + K_1 + \frac{3}{4} K_3 \bar{A}^2 + \frac{3}{4} K_3 \bar{A}^2 \beta + \frac{3}{2} K_3 \bar{A}^2 \beta^2 - \frac{1}{4} K_2 \bar{A}^2 \omega^2 - \frac{5}{4} K_2 \bar{A}^2 \beta \omega^2 - \frac{9}{2} K_2 \bar{A}^2 \beta^2 \omega^2 &= 0 \\ -9\beta\omega^2 + K_1\beta + \frac{1}{4} K_3 \bar{A}^2 + \frac{3}{2} K_3 \bar{A}^2 \beta + \frac{3}{4} K_3 \bar{A}^2 \beta^3 + \frac{1}{4} K_2 \bar{A}^2 \omega^2 - \frac{1}{2} K_2 \bar{A}^2 \beta \omega^2 - \frac{9}{4} K_2 \bar{A}^2 \beta^3 \omega^2 &= 0 \end{aligned}$$

با صرفنظر کردن از  $\beta^2$  و  $\beta^3$  به دلیل کوچکی آن‌ها ،  $\omega$  و  $\beta$  به ترتیب مطابق (۴۳-۴) و (۴۴-۴) بدست می‌آیند.

$$\omega = \sqrt{\frac{4K_1 + 3K_3 \bar{A}^2 + 3K_3 \bar{A}^2 \beta}{4 + K_2 \bar{A}^2 + 5K_2 \bar{A}^2 \beta}} \quad (43-4)$$

$$\beta = \frac{K_1 K_2 \bar{A}^2 + K_3 \bar{A}^2 + K_2 K_3 \bar{A}^4}{32K_1 + K_1 K_2 \bar{A}^2 + 21K_3 \bar{A}^2 - 2K_2 K_3 \bar{A}^4} \quad (44-4)$$

دو رابطه‌ی (۴۳-۴) و (۴۴-۴) در کنار یکدیگر فرکانس نامیرا را به صورتی تابعی از دامنه‌ی نرمال نشان می‌دهند. می‌توان نشان داد ، در صورتی که دامنه‌ی نرمال ( $\bar{A} = A/h$ ) برابر با یک باشد ، اختلاف فرکانس طبیعی محاسبه شده از روش بالанс هارمونیکی با حل عددی مستقیم (۴۱-۴) در حدود ۳٪ است.

#### ۴-۳-۵. میرایی معادل

میرایی معادل سیستم غیر خطی بوده که تابع دامنه و فرکانس و طبیعی است. میرایی معادل را می‌توان از طریق محاسبه‌ی کار نیروی غیر پایستار انجام شده بر روی سیستم در یک سیکل بدست آورد. (۴۵-۴) نیروی غیر پایستار وارد شده به سیستم است که مشابه (۸-۴) به صورت زیر بدست می‌آید.

$$F_d = iD_1 \bar{w}_0 - iD_2 \bar{w}_0 \dot{\bar{w}}_0^2 \quad (45-4)$$

انرژی اتلاف شده در هر سیکل ،  $W_d = \oint F_d d\bar{w}_0$  است. با استفاده از (۴۵-۴) انرژی اتلافی در هر سیکل را می توان به دو صورت (۴۶-۴) و (۴۷-۴) نوشت.

$$W_d = \oint (iD_1\bar{w}_0 - iD_2\bar{w}_0\dot{\bar{w}}_0^2) d\bar{w}_0 = \oint (iD_1\bar{w}_0 - iD_2\bar{w}_0\dot{\bar{w}}_0^2) \dot{\bar{w}}_0 dt \quad (46-4)$$

$$W_d = \oint (D_{eff}\bar{w}_0) \dot{\bar{w}}_0 dt \quad (47-4)$$

از (۳۵-۴) و (۳۶-۴) مشخص است که دامنه‌ی بخش نوسانی ، دامنه‌ی لحظه‌ای و فرکانس لحظه‌ای نسبت به مقدار بخش دیگر از مرتبه‌ی  $\epsilon$  است. از آن جایی که میرایی سیستم وابسته به فرکانس بوده و  $D_1$  و  $D_2$  از فرکانس لحظه‌ای بدست می‌آیند ، این دو نیز مشابه فرکانس لحظه‌ای دارای دو بخش بوده و دامنه‌ی بخش نوسانی در این توابع نسبت به بخش دیگر از مرتبه‌ی  $\epsilon$  خواهد بود. با در نظر گرفتن  $(\bar{w}_0 = \bar{A}(t)\sin(\omega t) \approx \bar{A}(t)\omega \cos(\omega t))$  که در آنها  $\omega$  همان فرکانس لحظه‌ای است ، انتگرال های فوق را با حدود  $2n\pi/\omega$  تا  $2(n+1)\pi/\omega$  محاسبه می‌کیم. با صرفنظر از تغییرات زمانی جملات با مرتبه‌های  $\dots, \epsilon, \epsilon^2, \epsilon^3$  را از انتگرال خارج کرده و میرایی معادل را به صورت (۴۸-۴) محاسبه نمود.

$$\begin{aligned} W_d &= \oint [iD_1\bar{A}\sin(\omega t)] \bar{A}\omega \cos(\omega t) dt \\ &\quad - \oint [iD_2\bar{A}\omega^2 \sin(\omega t)\cos^2(\omega t)] \bar{A}\omega \cos(\omega t) dt \end{aligned}$$

$$\begin{cases} W_d = \oint D_1\bar{A}^2\omega \cos^2(\omega t) dt - \oint D_2\bar{A}^2\omega^3 \cos^4(\omega t) dt \\ W_d = \oint D_{eff}\bar{A}^2\omega \cos^2(\omega t) dt \end{cases}$$

$$\begin{cases} W_d = D_1\pi\bar{A}^2 - \frac{3}{4}D_2\pi\omega^2\bar{A}^4 \\ W_d = D_{eff}\pi\bar{A}^2 \end{cases} \Rightarrow D_{eff} = D_1 \left( 1 - \frac{3D_2}{4D_1} \bar{A}^2 \omega^2 \right) \quad (48-4)$$

(۴۸-۴) میرایی موثر سیستم است. بدین معنی که کار ناپایستار انجام شده توسط آن و میرایی غیر خطی در طول یک سیکل برابر است.

#### ۴-۴. پاسخ گذرا

در این بخش پاسخ بدست آمده از سیگنال تحلیلی را با حل حاصل از روش بالانس هارمونیکی مقایسه خواهیم کرد. تمامی نمودارها برای مود اول هستند. پاسخ بالانس هارمونیکی در روابط (۱۱-۴) و (۱۲-۴) یا (۱۴-۴) و (۱۵-۴) بدست آمده است و همان طور که قبلاً اشاره شد ، مقادیر بدست آمده از آنها تفاوت قابل مشاهده‌ای ندارند. فرم فضایی حالت دستگاه معادله دیفرانسیل (۴۰-۴) به صورت (۵۰-۴) است. که  $\omega_0$  و

$D_{eff}$  به ترتیب فرکانس طبیعی نامیرا و میرایی موثر بوده که به ترتیب از روابط (۴۹-۴) و (۴۸-۴) جایگذاری می شوند. دلیل انتخاب (۴۹-۴) به جای روابط (۴۴-۴) و (۴۳-۴)، محاسبه‌ی پاسخ هم مرتبه در دو روش و مقایسه بهتر آن هاست.

تنها شرط اولیه‌ای که جهت بررسی عددی (۵۰-۴) از مسئله موجود است، دامنه لحظه‌ای اولیه است. از آن جایی که روند حل خود اصلاح است و سیگنال‌های متوسط دامنه و فرکانس لحظه‌ای، توابعی پیوسته و مشتق پذیر هستند، می‌توان  $\dot{\bar{A}}(0) = \bar{A}(0) / 2\omega_0(\bar{A}(0))$  و  $\omega(0) = \omega_0(\bar{A}(0))$  را فرض نمود. در این حالت، اثر شرط اولیه تقریبی در ۲٪ ابتدای دوره‌ی پاسخ از بین خواهد رفت. به همین دلیل شرط اولیه دامنه لحظه‌ای را بیشتر از مقدار آن در مسئله‌ی مورد نظر قرار داده تا اثر شرط اولیه تقریبی قبل از رسیدن به دامنه اولیه مورد نظر از بین برود. در نهایت با محاسبه‌ی سیگنال‌های متوسط، رفتار سیستم در ارتعاش آزاد بررسی خواهد شد. متوسط دامنه لحظه‌ای ( $\bar{A}$ ) و متوسط فرکانس لحظه‌ای ( $\bar{\omega}$ ) به ترتیب دامنه و فرکانس سیستم میرا هستند.

در روش‌هایی که معمولاً جهت تحلیل سیستم‌های غیر خطی استفاده می‌گردد، میرایی سیستم معادل به صورت خطی بدست می‌آید. از آن جایی که تابع میرایی معادل در شکل پاسخ بسیار تاثیر گذار بوده، پاسخ‌ها برای دو حالت میرایی خطی و غیر خطی به طور جداگانه بررسی شده است. جنس تیر سیلیکون در نظر گرفته شده و خصوصیات مکانیکی آن برابر با  $E = 162.4 \text{ Gpa}$ ،  $\nu = 0.28$ ،  $\rho = 2.33e^3 \text{ kg m}^{-3}$ ،  $c_v = 711 \text{ J kg}^{-1} \text{ K}^{-1}$  و مابقی در جدول (۱-۴) ارائه شده است.

$$\omega_0(\bar{A}) = \sqrt{\frac{4K_1 + 3K_3\bar{A}^2}{4 + K_2\bar{A}^2}} \quad (49-4)$$

$$\begin{cases} \frac{d}{dt}\omega = -D_{eff} - 2\omega \frac{\dot{\bar{A}}}{\bar{A}} \\ \frac{d}{dt}\bar{A} = \dot{\bar{A}} \\ \frac{d}{dt}\dot{\bar{A}} = \bar{A}\omega^2 - \bar{A}\omega_0^2 \end{cases} \quad (50-4)$$

[۵۰-۴] ضریب انبساط و هدایت حرارتی سیلیکون در دماهای  $K$  ۲۰۰،  $K$  ۳۰۰ و  $K$  ۴۰۰

	$T$	200 $K$	300 $K$	400 $K$
$\alpha$	$10^{-6} \text{ } ^0\text{K}^{-1}$	1.406	2.616	3.253
$k$	$W m^{-1} \text{ } ^0\text{K}^{-1}$	266	156	105

#### ۴-۴-۱. میرایی خطی

در این حالت  $D_2 = D_{eff} = D_1 = 0$  است. پاسخ بالانس هارمونیکی به فرم (۵۱-۴) ساده می‌گردد. در تمامی شکل‌ها منحنی‌های پر رنگ و نقطه‌چین به ترتیب پاسخ بدست آمده با کمک تبدیل هیلبرت و بالانس هارمونیکی هستند که آن‌ها را به ترتیب حل (۱) و حل (۲) می‌نامیم.

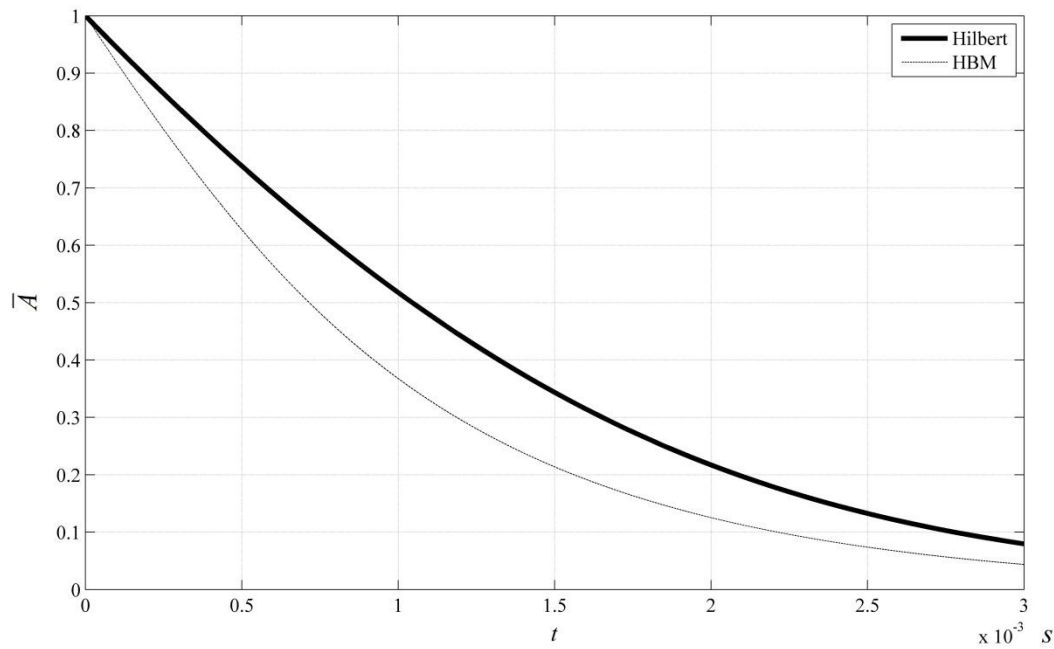
$$\omega = \sqrt{\frac{4K_1 + 4\alpha^2 + 3\bar{A}_0^2 e^{-2\alpha t} K_3}{4 + \bar{A}_0^2 e^{-2\alpha t} K_2}} \quad \alpha = \frac{D_1}{\omega \left( 2 - \frac{1}{2} \bar{A}_0^2 e^{-2\alpha t} K_2 \right)} \quad (51-4)$$

انرژی سیستم تابعی از دامنه و فرکانس ارتعاش آن بوده و کاهش این دو، به معنی از دست رفتن انرژی است. بخشی از میرایی روی کاهش دامنه و بخشی دیگر روی کاهش فرکانس اثر می‌گذارد. اگر در روند محاسبات از تغییر فرکانس نسبت زمان صرفنظر شود، در واقع از انرژی اتلاف شده به ازای کاهش فرکانس صرفنظر شده است. به عبارت دیگر در حل (۲) تمامی اثر میرایی روی کاهش دامنه اعمال شده است که در نهایت منجر به افت شدید تر دامنه در حل (۲) و اختلاف بین دامنه‌ها در دو روش حل می‌گردد.

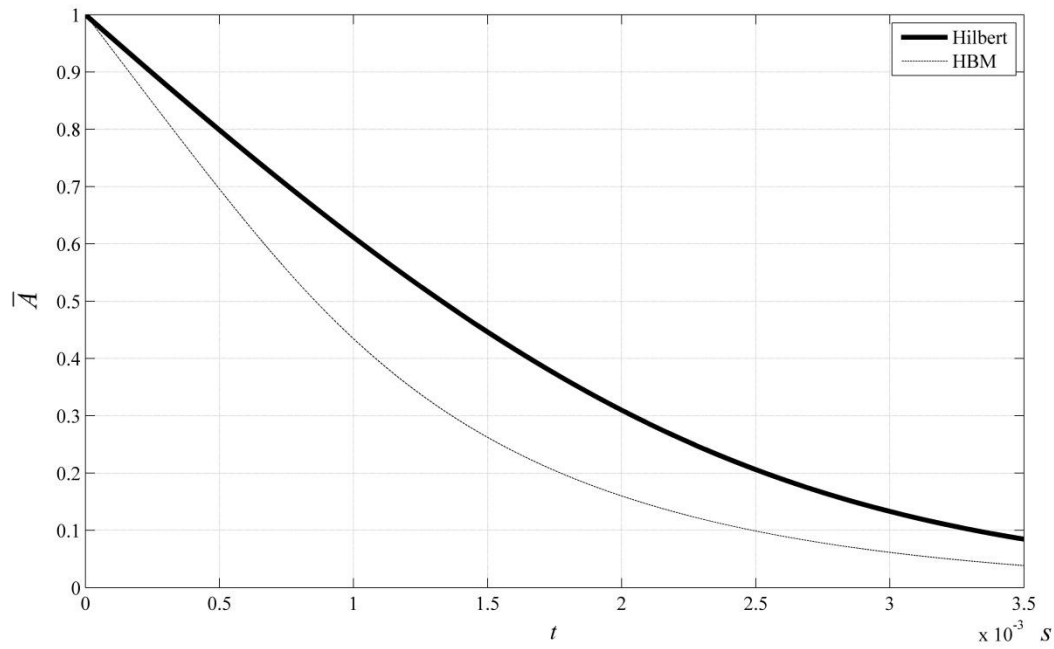
#### ۴-۱-۱. اثر طول تیر

بنابر همان دلایل فوق، در ابتدای پاسخ اندازه‌ی مشتق دامنه نسبت به زمان در حل (۲) بیشتر از (۱) است. با گذشت زمان به دلیل کاهش بیشتر دامنه در حل (۲) نسبت به حل (۱)، اندازه‌ی مشتق دامنه نسبت به زمان نیز در آن کاهش می‌یابد. در این قسمت نسبت طول به ارتفاع سطح مقطع تیر ثابت در نظر گرفته شده و پاسخ سیستم برای طول‌های متفاوت رسم شده است.

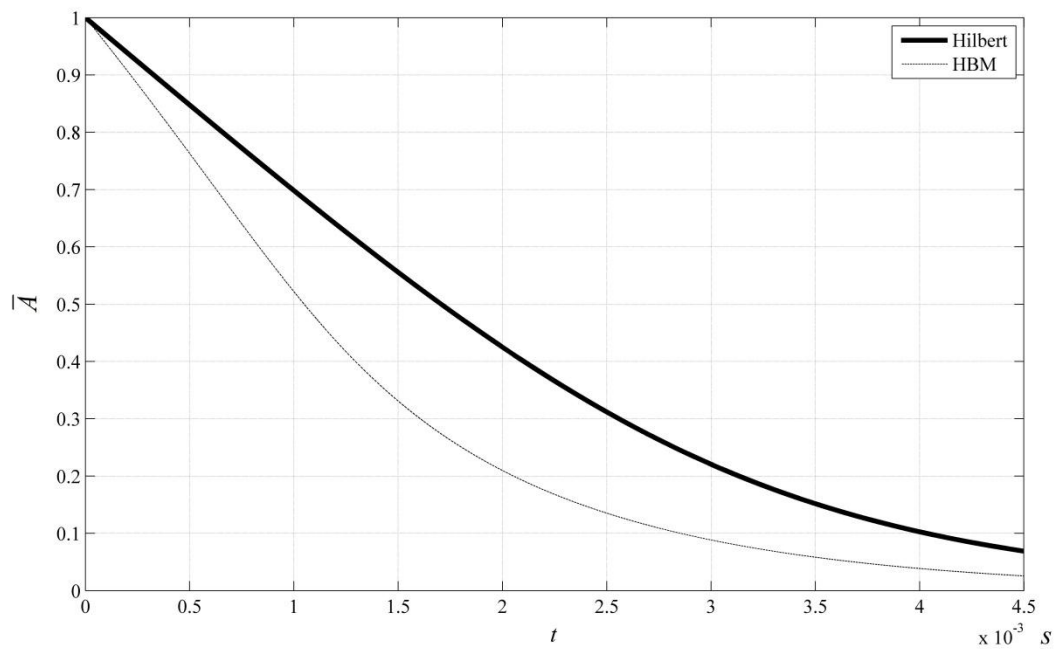
شکل‌های (۱-۴) و (۲-۴) به ترتیب تغییرات دامنه نرمال ( $\bar{A} = A/h$ ) و مشتق آن نسبت به زمان را در دو روش فوق برای ابعاد مختلف نشان می‌دهد. وابستگی میرایی به فرکانس باعث تغییر در مدت زمان پاسخ گذرا برای ابعاد متفاوت می‌گردد.



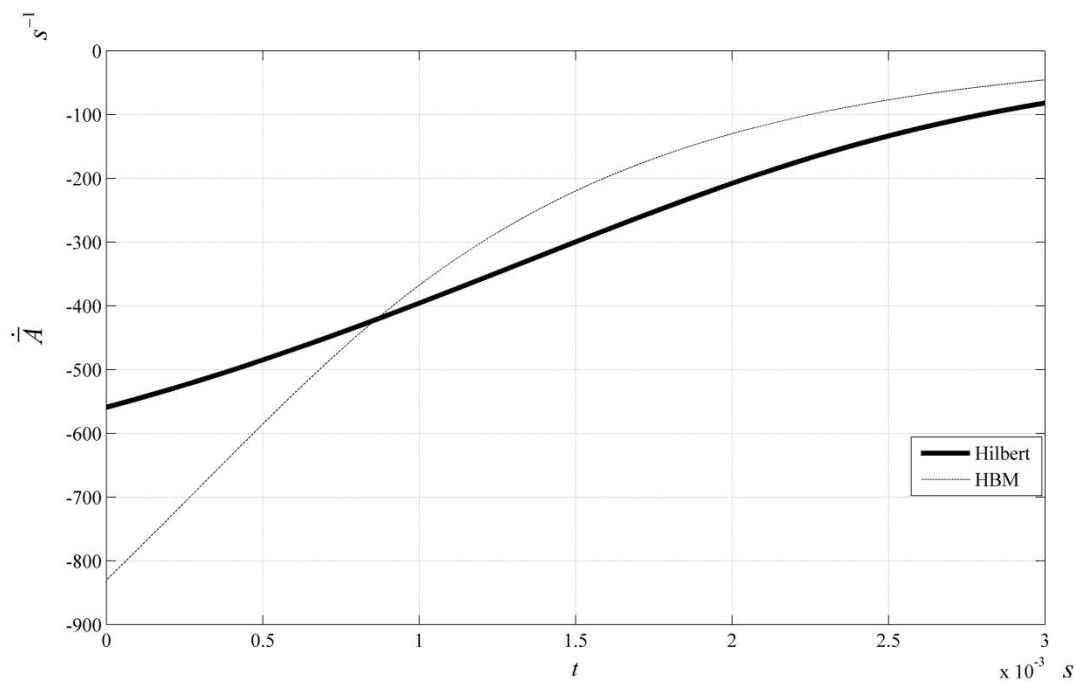
٤-١(الف) دامنه نرمال  $L/h = 15$  ،  $L = 50 \mu m$  ،  $T = 300 K$



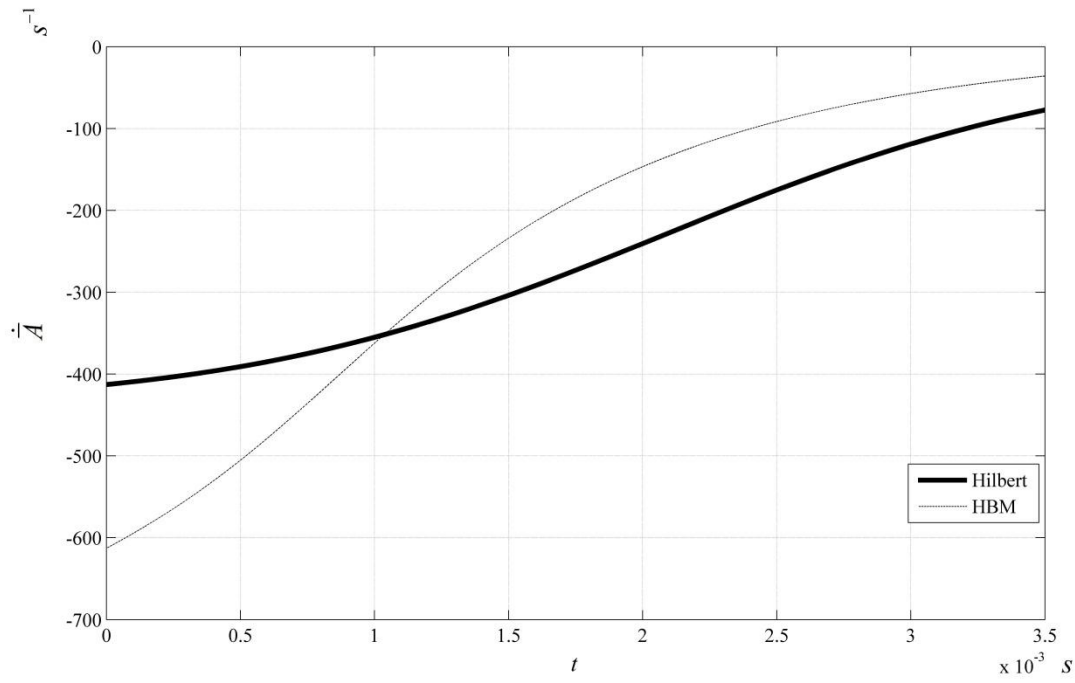
٤-١(ب) دامنه نرمال  $L/h = 15$  ،  $L = 70 \mu m$  ،  $T = 300 K$



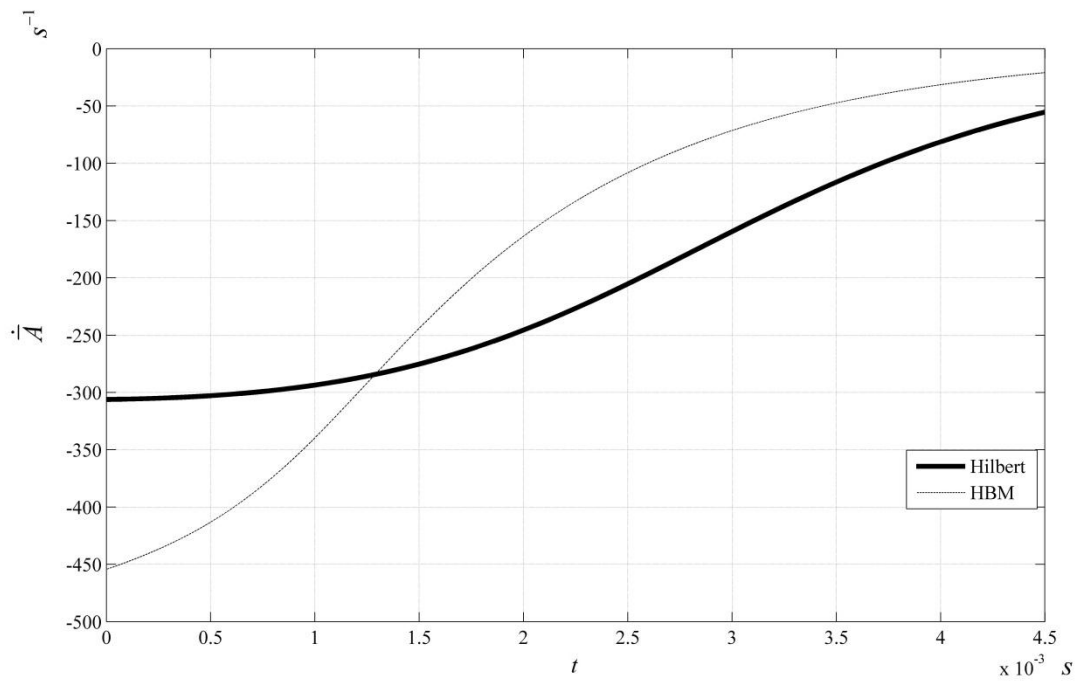
ج) دامنه نرمال  $1-4$



الف) مشتق دامنه نرمال نسبت به زمان  $2-4$

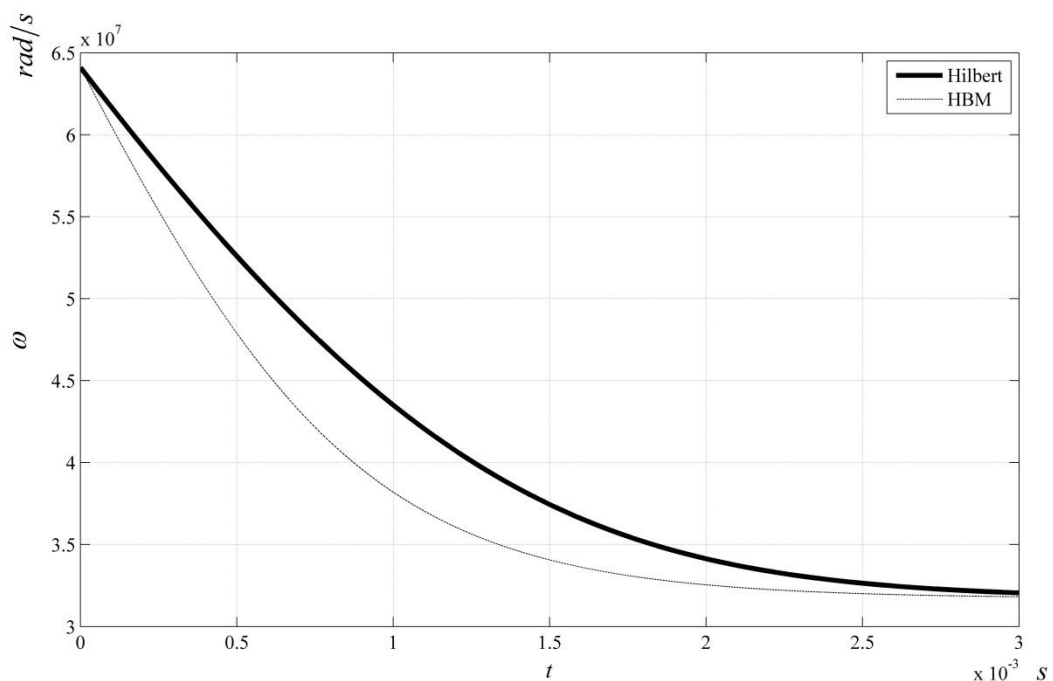


۲-۴ ب) مشتق دامنه نرمال نسبت به زمان

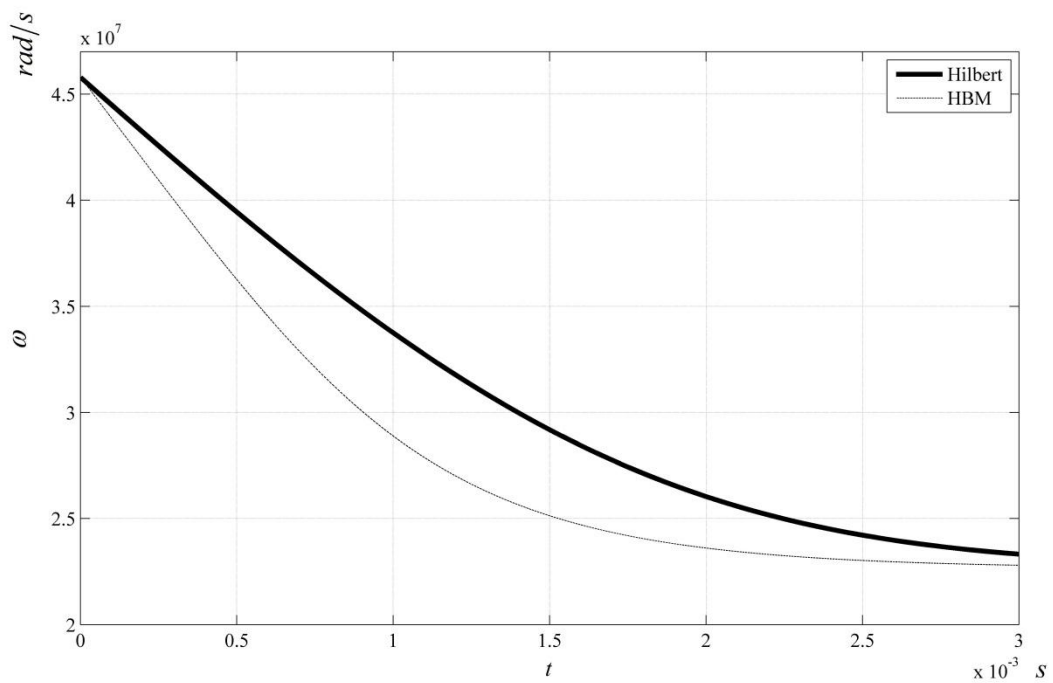


۲-۴ ج) مشتق دامنه نرمال نسبت به زمان

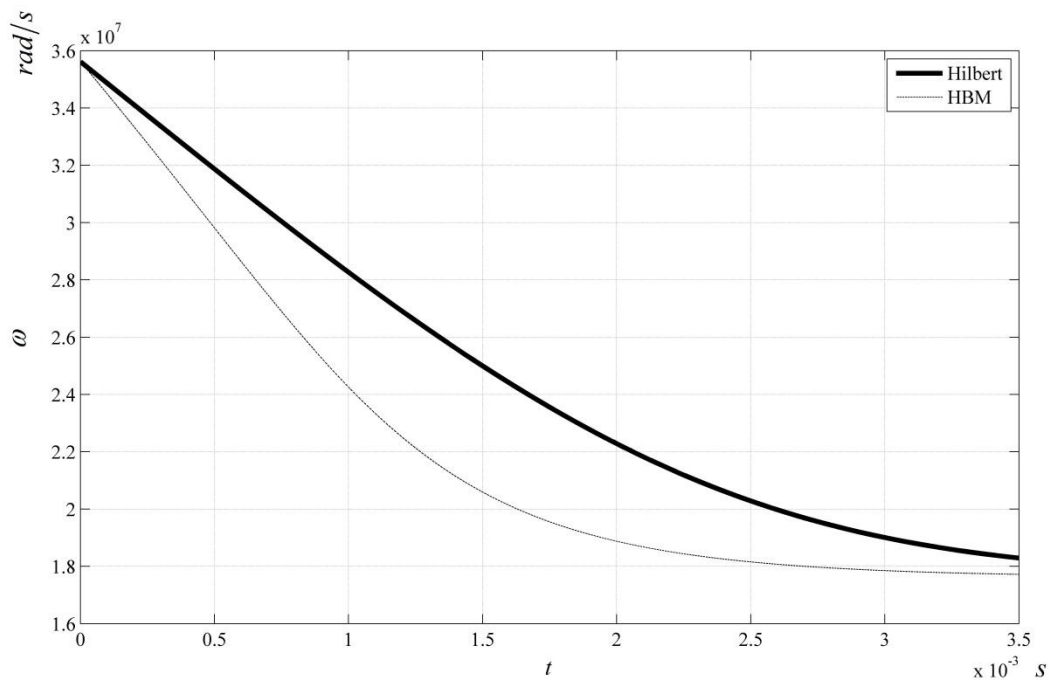
شکل های (۳-۴) ، تغییرات فرکانس میرا نسبت به زمان را به دلیل کاهش دامنه برای ابعاد متفاوت نشان می دهد. ابعاد تیز بر روی فرکانس غیر خطی و میرایی سیستم اثر مستقیم دارد. از آن جایی که میرایی دامنه در حل (۲) سریع تر از حل (۱) است ، فرکانس میرا در حل (۲) سریع تر به مقدار خطی خود میل می کند. شکل های (۴-۴) ، تغییرات نسبت اندازه ای مشتق دامنه نسبت به زمان بر دامنه را بر حسب زمان نشان می دهد. این منحنی ها شدت اثر گذاری میرایی بر دامنه را نشان می دهد و می توان آنها را معادل با فرکانس موهمی در نظر گرفت. به دلیل صرفنظر از انرژی اتلافی به واسطه ای کاهش فرکانس در حل (۲) ، فرکانس موهمی معادل نسبت به حل (۱) بیشتر بدست می آید. همچنین ملاحظه می شود که پاسخ ها با گذشت زمان و کم شدن دامنه ای ارتعاش به مقدار خطی خود میل می کنند.



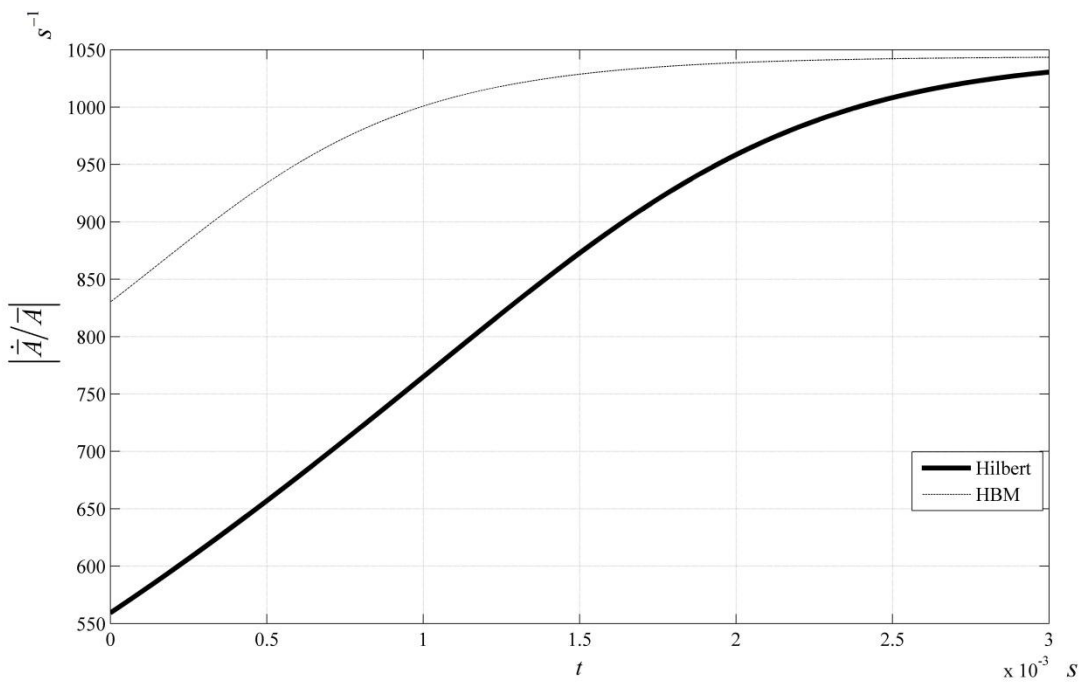
T = 300 K ، L = 50 μm ، L/h = 15 ۳-۴ (الف) فرکانس میرا



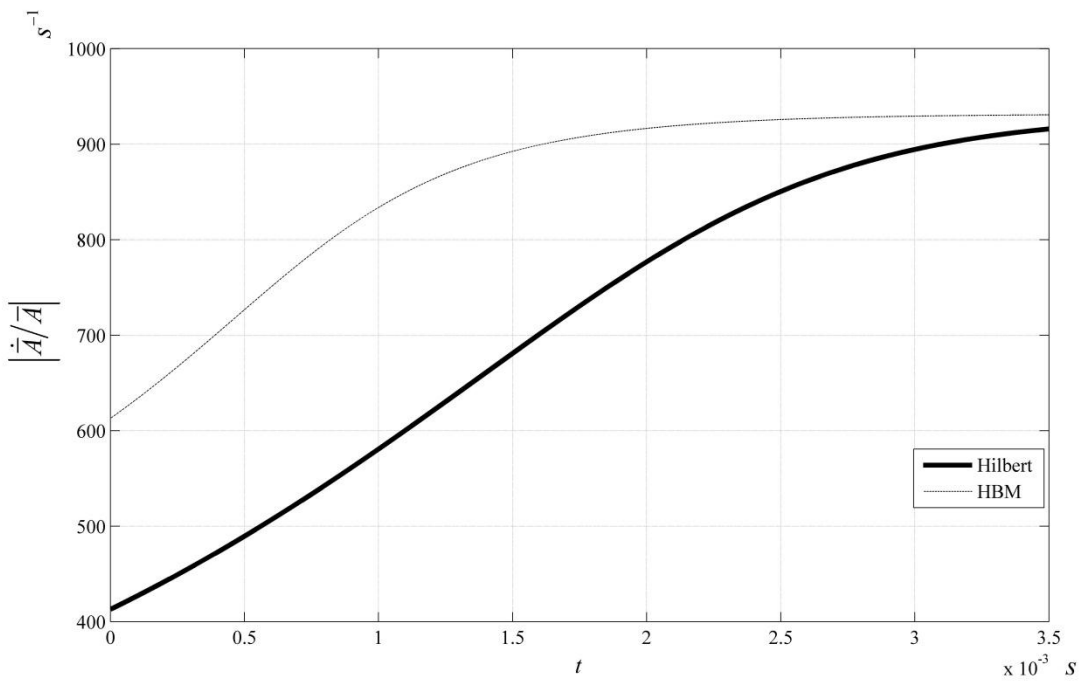
ب) فرکانس میرا ۳-۴



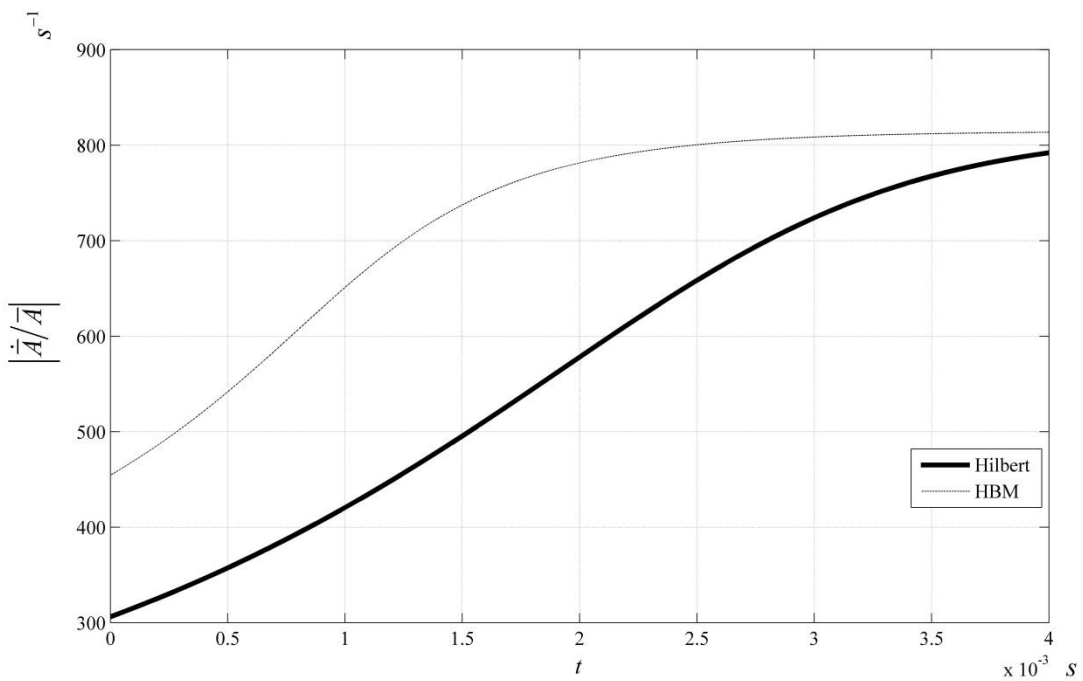
ج) فرکانس میرا ۳-۴



٤-٤(الف) فرکانس موهومی معادل  $T = 300 \text{ K}$  ،  $L = 50 \text{ } \mu\text{m}$  ،  $L/h = 15$



٤-٤(ب) فرکانس موهومی معادل  $T = 300 \text{ K}$  ،  $L = 70 \text{ } \mu\text{m}$  ،  $L/h = 15$

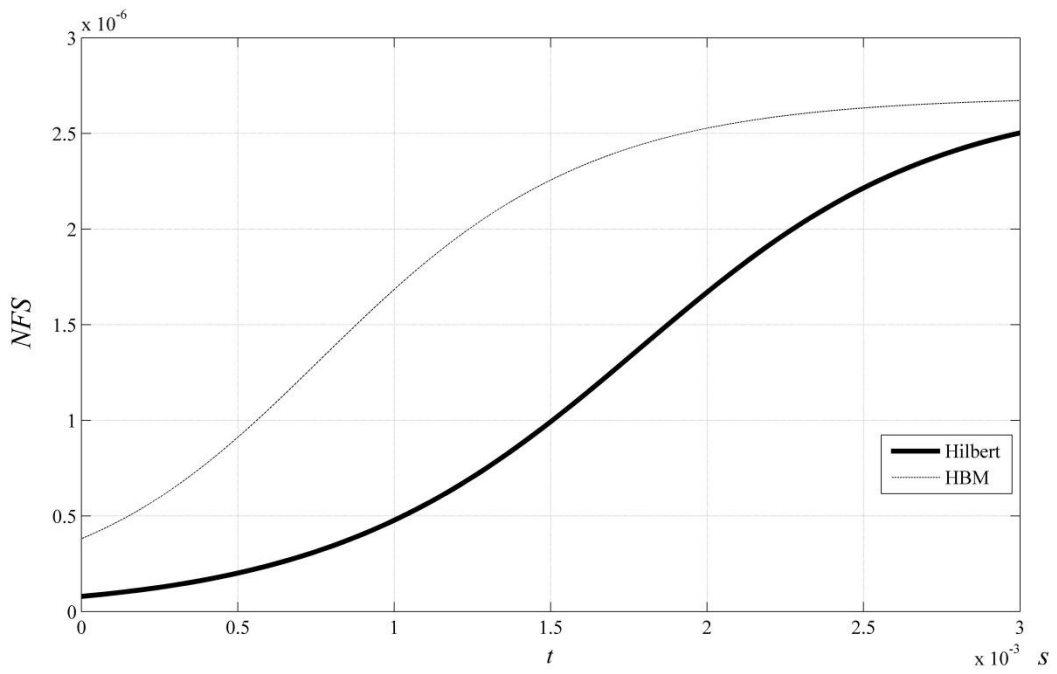


ج) فرکانس موهومنی معادل ۴-۴

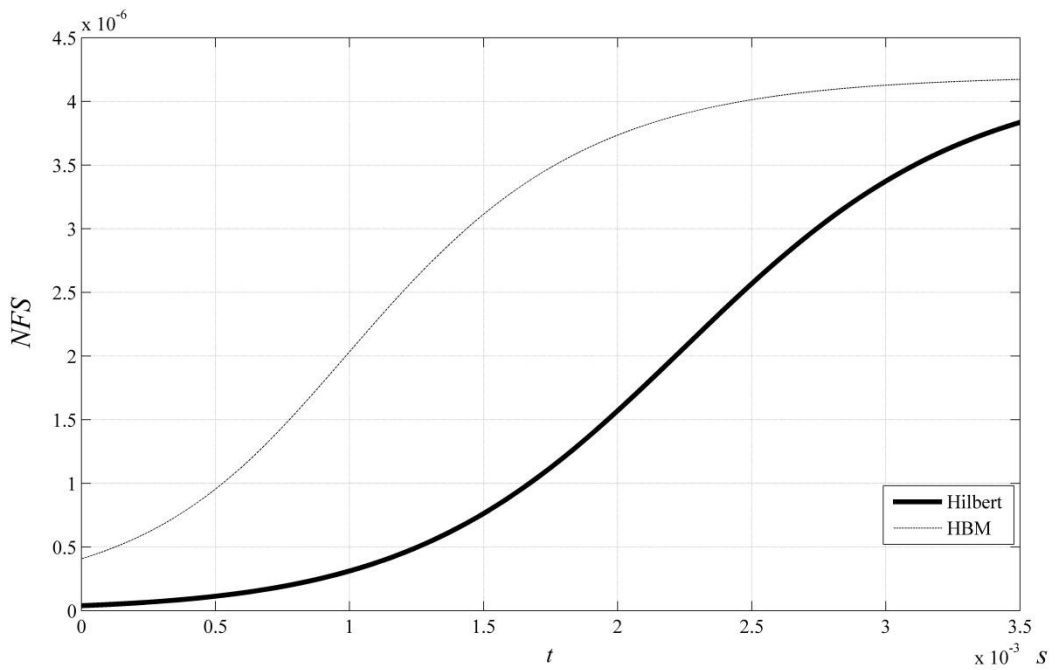
شکل های (۵-۴)، تغییر نرمال فرکانس که به دلیل وجود میرایی در سیستم ایجاد می شود را نشان می دهد. تغییر نرمال فرکانس<sup>۱</sup> به صورت رابطه (۵۲-۴) تعریف شده که در آن  $\Delta E = \frac{E\alpha^2 T_0}{\rho c_v}$  بوده که همان مقدار معرفی شده در فصل دوم است. تغییر فرکانس با نسبت مشتق دوم دامنه نسبت به زمان و دامنه ارتباط دارد ولی نحوه ای اثر گذاری این نسبت در دو روش حل متفاوت است.

$$NFS = \frac{\omega - \omega_0}{\Delta E \omega_0} \quad (52-4)$$

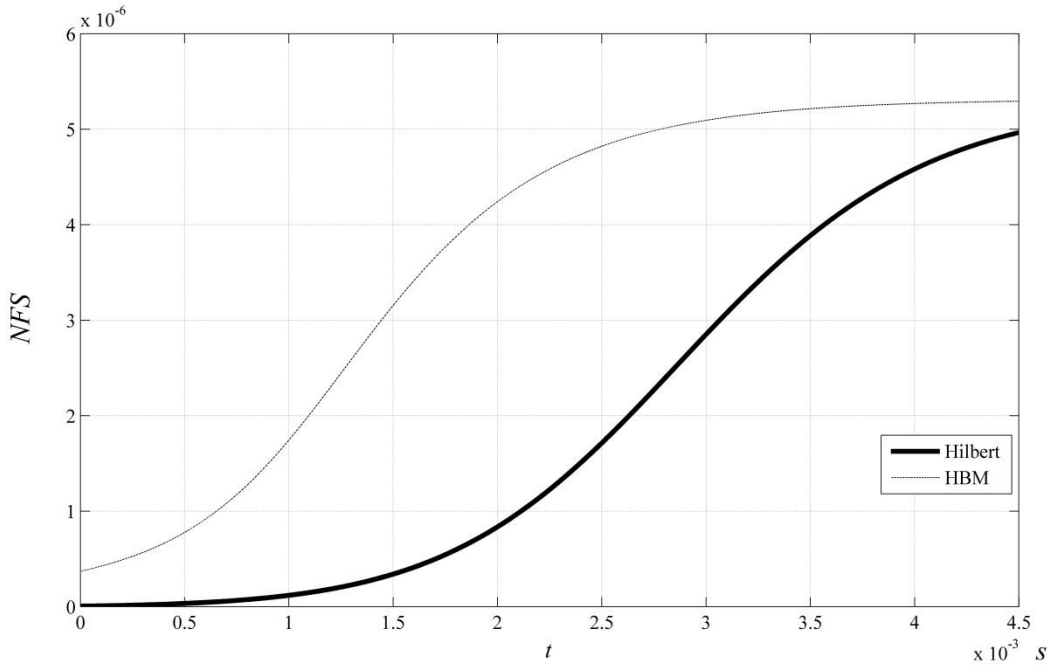
<sup>1</sup> Normalized Frequency Shift



٤-٥(الف) تغيير نرمال فركانس  $T = 300 \text{ K}$  ،  $L = 50 \mu\text{m}$  ،  $L/h = 15$



٤-٥(ب) تغيير نرمال فركانس  $T = 300 \text{ K}$  ،  $L = 70 \mu\text{m}$  ،  $L/h = 15$



$T = 300 \text{ K}$  ،  $L = 90 \mu\text{m}$  ،  $L/h = 15$  ج) تغییر نرمال فرکانس

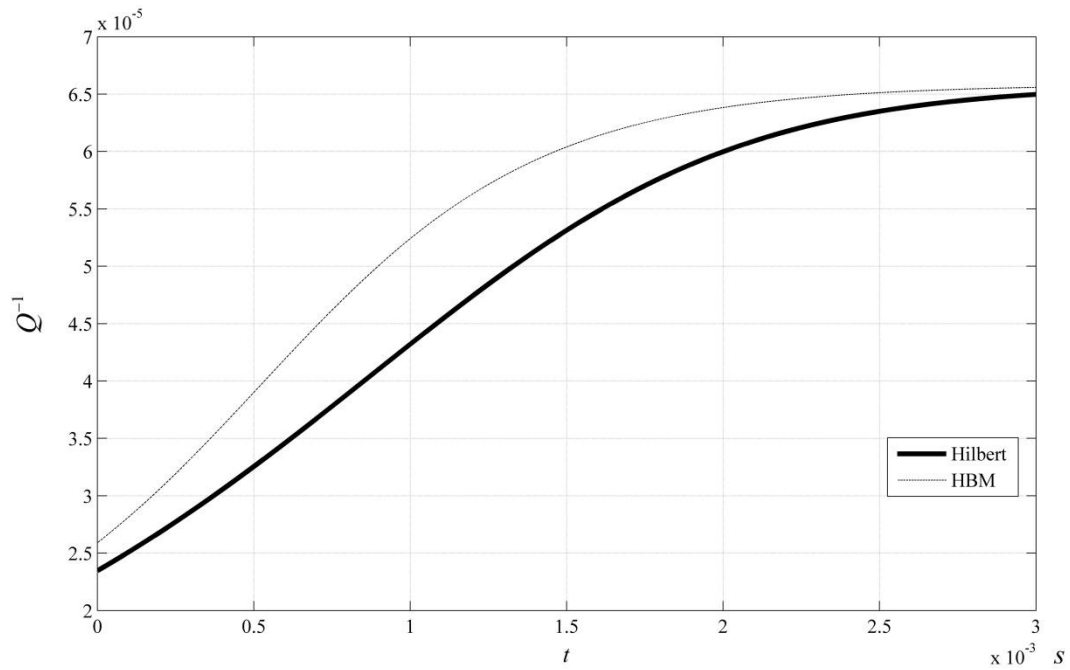
شکل های (۴-۴) نشان می دهند که با کوچکتر شدن ابعاد تیر و بالا رفتن فرکانس طبیعی ، میرایی ترمومالاستیک قوی تر می گردد. ولی تغییر نرمال فرکانس به صورت یک نسبت تعريف می شود. همان طور که در شکل های (۵-۴) مشخص است که علیرغم افزایش میرایی در سیستم های با ابعاد کوچک تر ، این نسبت نیز کوچک تر خواهد بود. به عبارت دیگر اثر گذاری میرایی ترمومالاستیک بر فرکانس سیستم های کوچک تر ، کمتر خواهد بود.

ضریب کیفیت به صورت رابطه (۵۳-۴) تعريف می شود که در آن  $E_{System}$  و  $E_{Loss}$  به ترتیب انرژی کل سیستم و انرژی از دست رفته در یک سیکل است. در صورتی که اثر میرایی فقط در کاهش دامنه در نظر گرفته شود ،  $Q^{-1}$  به صورت (۵۴-۴) ساده شده که در آن  $\Omega$  فرکانس مختلط است. اگر اثر میرایی را روی کاهش دامنه و فرکانس در نظر بگیریم ، آن گاه معکوس ضریب کیفیت مطابق (۵۵-۴) خواهد بود.

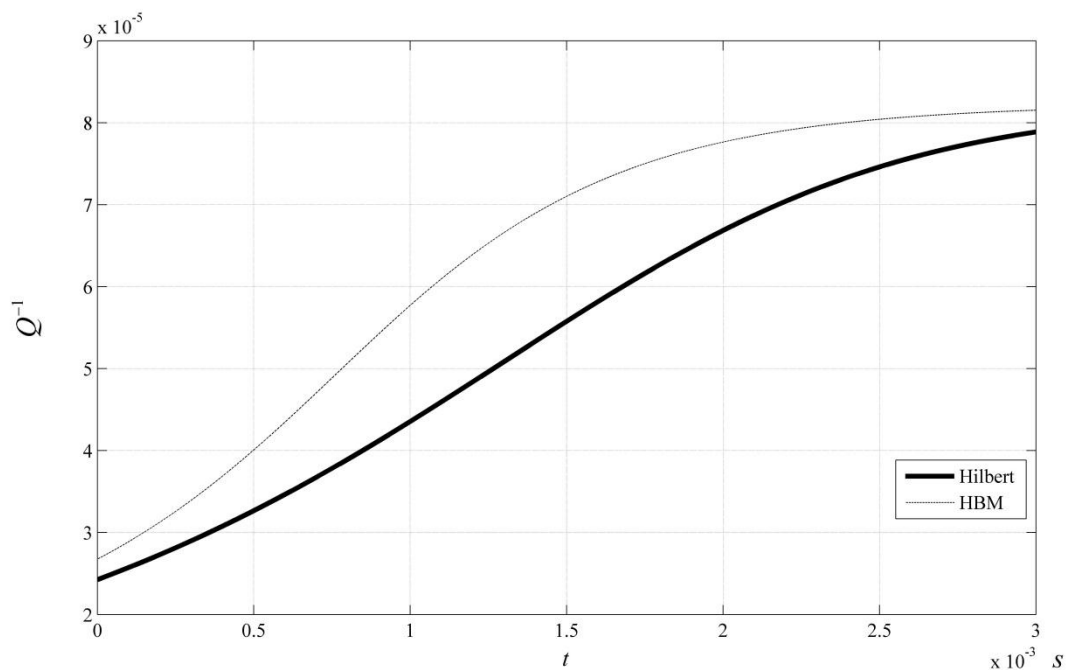
$$Q = 2\pi \frac{E_{System}}{E_{Loss}} \quad (53-4)$$

$$Q^{-1} = \frac{\pi \bar{A}^2 (2\xi\omega_n)\omega}{\pi \bar{A}^2 \omega^2} = \frac{2\xi\omega_n}{\omega} = \frac{2|\text{Im}[\Omega]|}{|\text{Re}[\Omega]|} \quad (54-4)$$

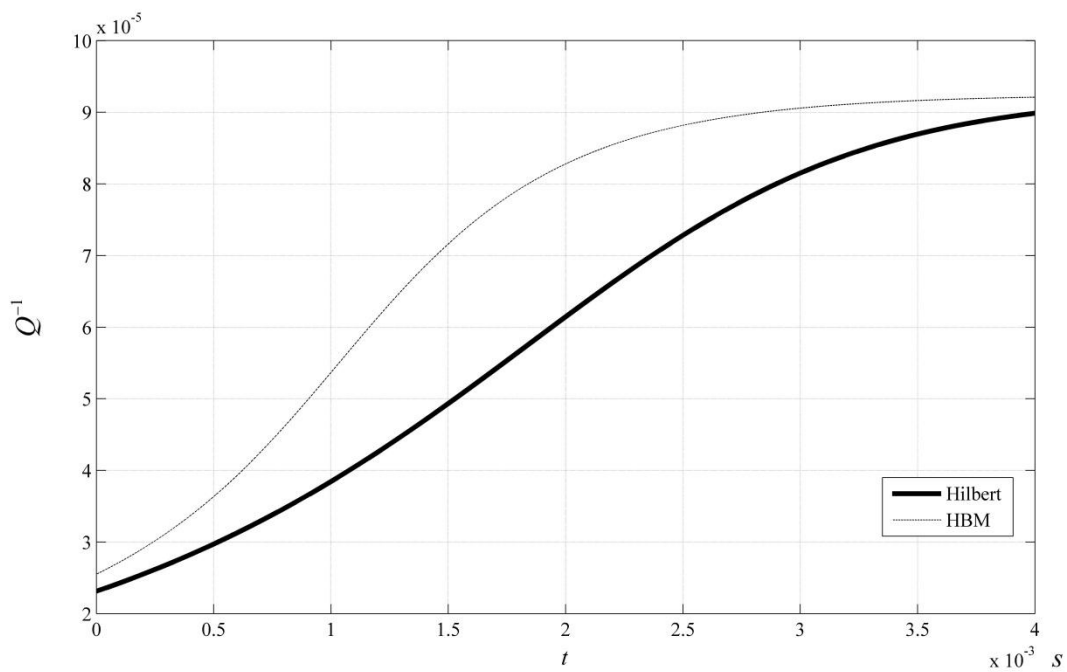
$$Q^{-1} = \frac{\pi \bar{A}^2 D_{eff}}{\pi \bar{A}^2 \omega^2} = \frac{D_{eff}}{\omega^2} \quad (55-4)$$



6-4(a) معکوس ضریب کیفیت  $T = 300 \text{ K}$  ،  $L = 50 \mu\text{m}$  ،  $L/h = 15$



6-4(b) معکوس ضریب کیفیت  $T = 300 \text{ K}$  ،  $L = 70 \mu\text{m}$  ،  $L/h = 15$

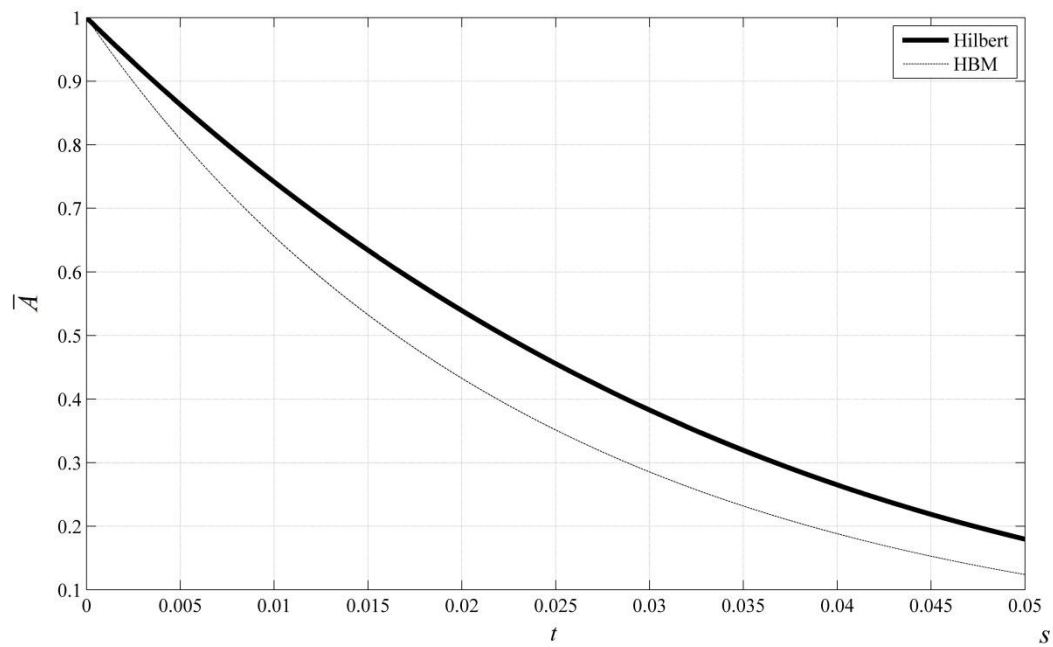


ج) معکوس ضریب کیفیت  $15 \text{ L}/\text{h}$  ،  $L = 90 \mu\text{m}$  ،  $T = 300 \text{ K}$

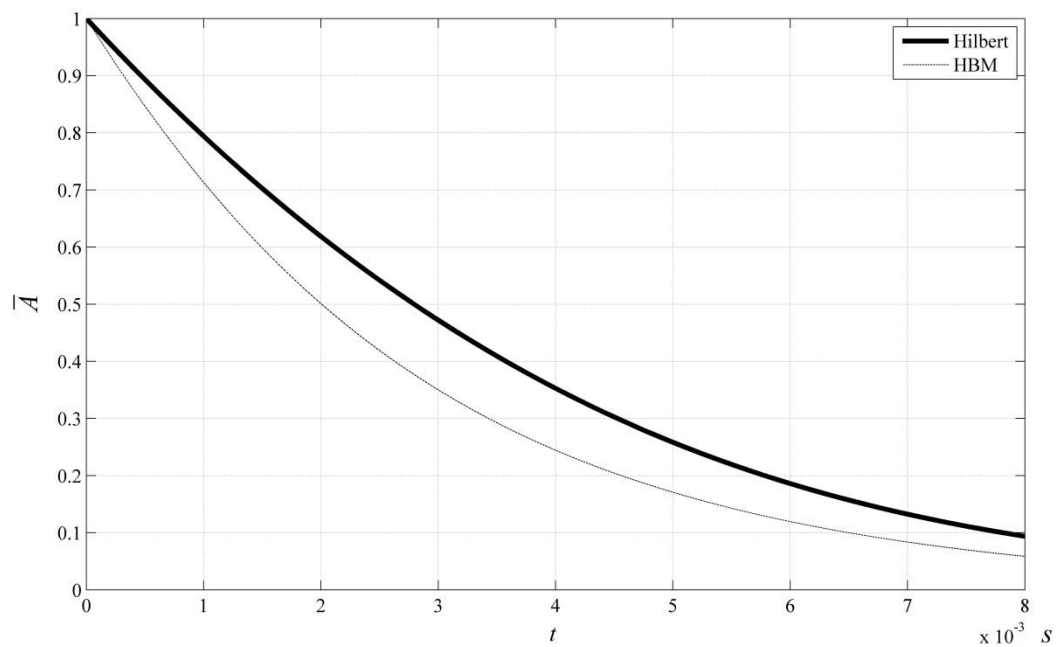
در حل (۱) انرژی از دست رفته‌ی سیستم مستقیم از معادله حرکت محاسبه می‌شود در صورتی که در حل (۲)، این مقدار از اثر میرایی بر دامنه بدست می‌آید. از طرف دیگر به دلیل میرایی سریع تر دامنه، فرکانس سیستم در حل (۲) همواره کمتر از حل (۱) است. این عوامل سبب اختلاف بین ضریب کیفیت‌های بدست آمده از دو روش شده است.

#### ۴-۱-۲. اثر دما

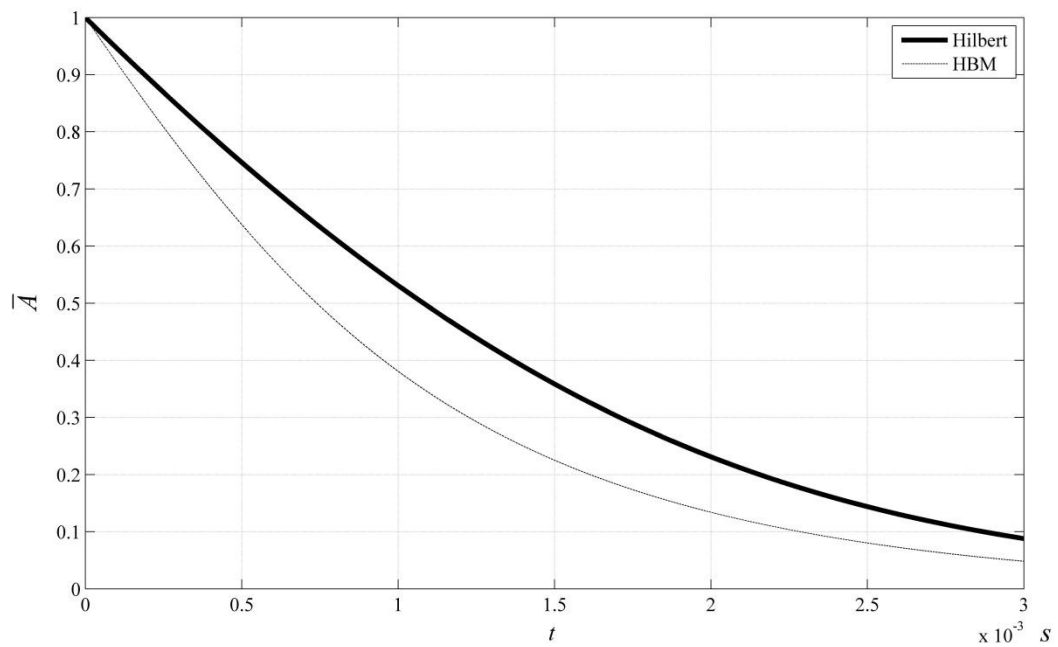
در این قسمت ابعاد تیر ثابت در نظر گرفته شده و اثر دمای سیستم بر روی میرایی ترمومالاستیک بررسی می‌شود. از بررسی دمای بسیار زیاد صرفنظر شده است، زیرا تغییر بعضی خواص مکانیکی هم چون مدول یانگ در دمای بالا زیاد بوده و به جز میرایی ترمومالاستیک، دیگر پارامترهای سیستم نیز دستخوش تغییر می‌گردند. دامنه‌ی نرمال، مشتق دامنه‌ی نرمال نسبت به زمان، فرکانس میرا، نسبت اندازه‌ی مشتق دامنه نسبت به زمان بر دامنه، تغییر نرمال فرکانس و معکوس ضریب کیفیت به ترتیب در شکل‌های (۷-۴) تا (۱۲-۴) برای سه دمای  $K = 200$ ،  $K = 300$  و  $K = 400$  نشان داده شده است. دلایل اختلاف بین حل‌های (۱) و (۲) مشابه بخش ۴-۱-۱ است. همچنین هر چه میرایی سیستم کم تر باشد، خطای ناشی از صرفنظر کردن تغییرات فرکانس نسبت به زمان بزرگ‌تر می‌شود. این موضوع در شکل‌های مربوط به دمای ۲۰۰ کاملاً مشهود است.



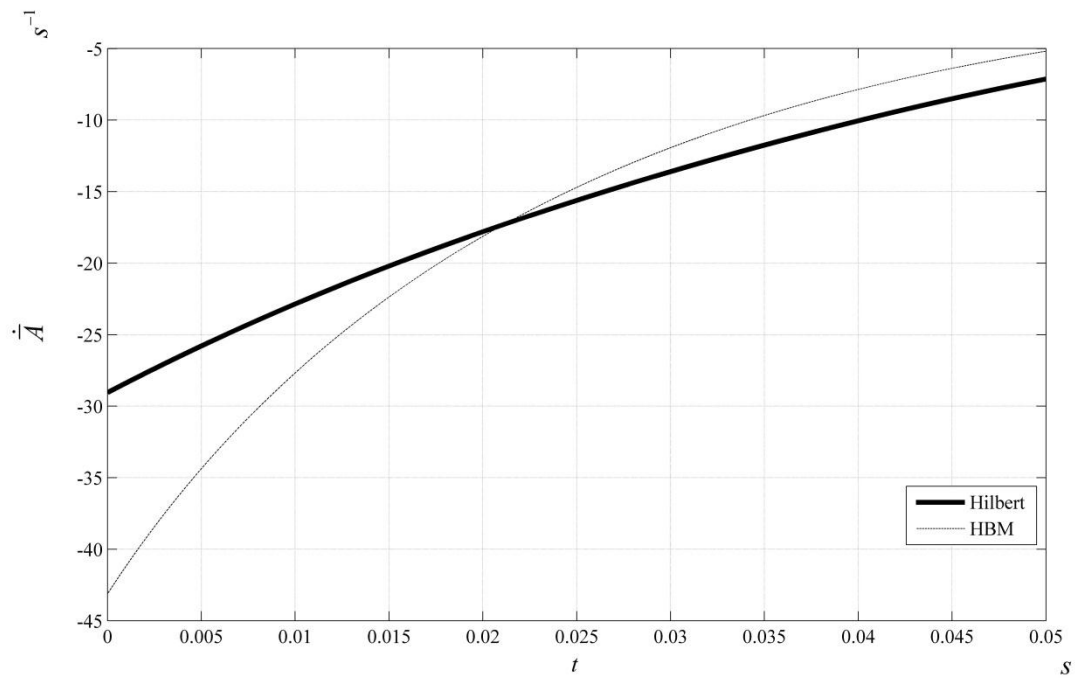
٤-٧(الف) دامنه نرمال  $T = 200 \text{ K}$  ،  $L = 80 \text{ } \mu\text{m}$  ،  $L/h = 20$



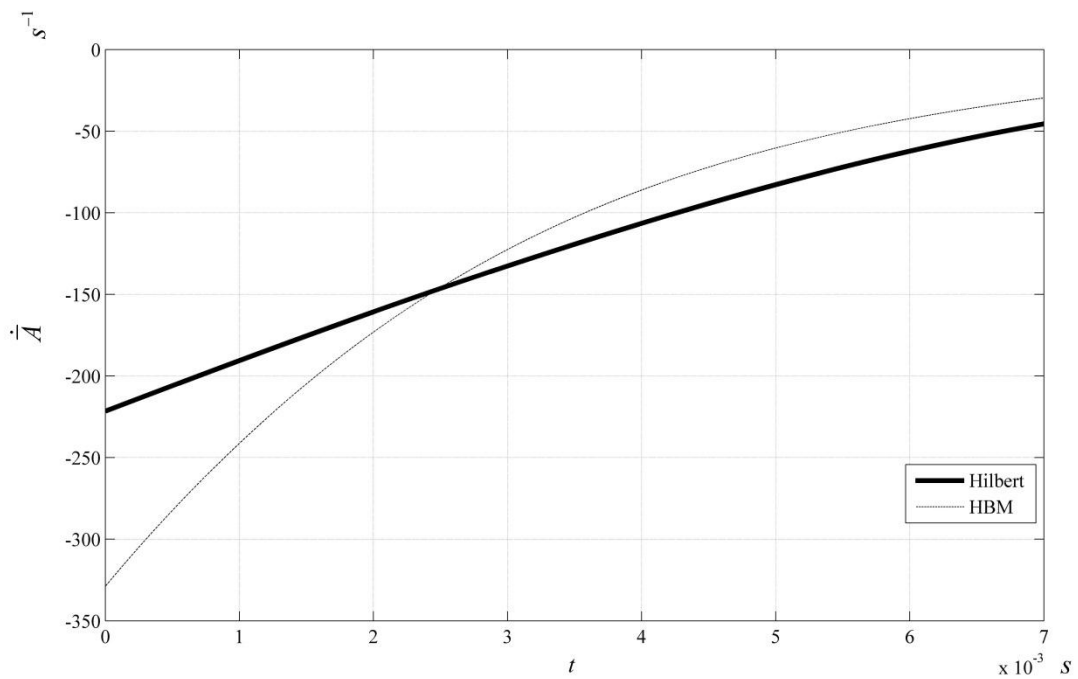
٤-٧(ب) دامنه نرمال  $T = 300 \text{ K}$  ،  $L = 80 \text{ } \mu\text{m}$  ،  $L/h = 20$



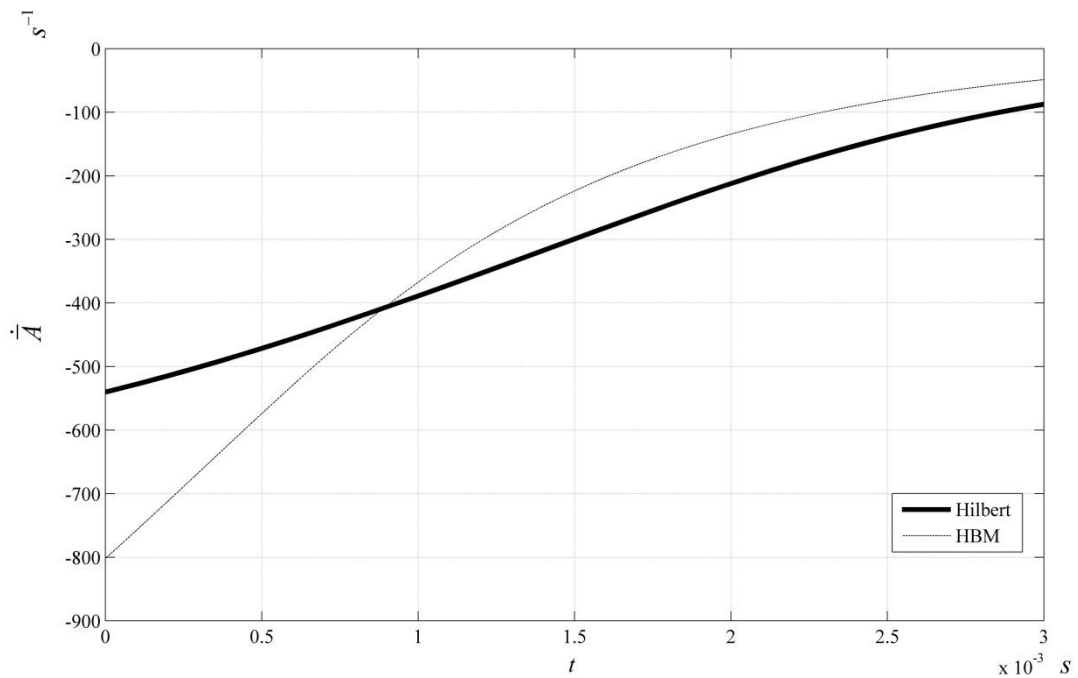
۷-۴(a) نرمال دامنه (ج) زمان به نسبت مشتق



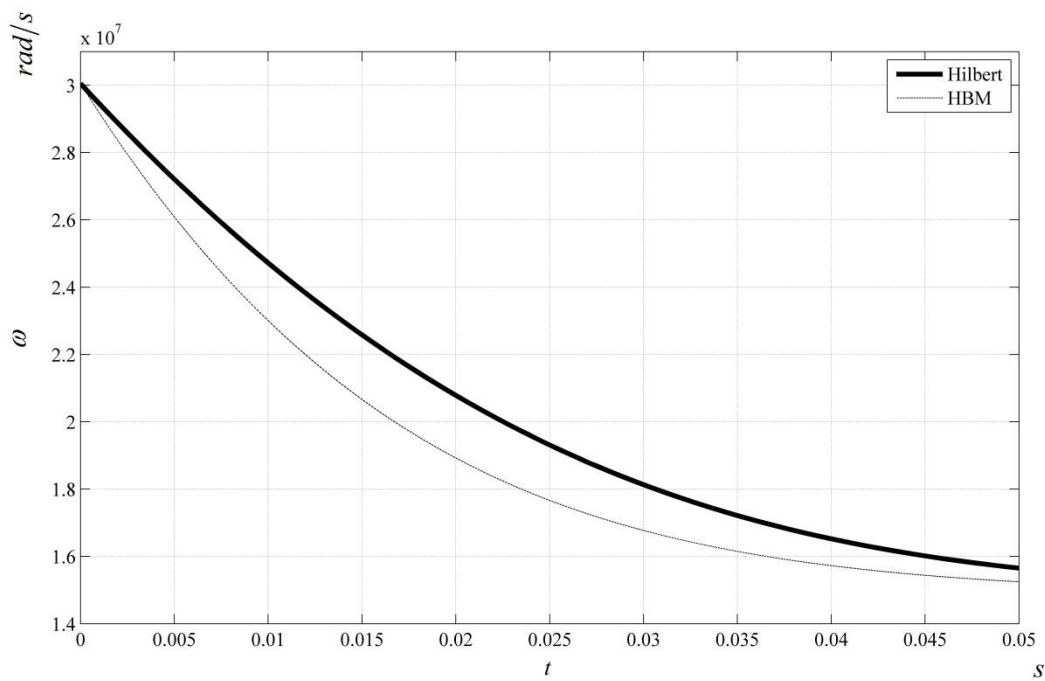
۷-۴(b) زمان به نسبت نرمال دامنه مشتق (الف)



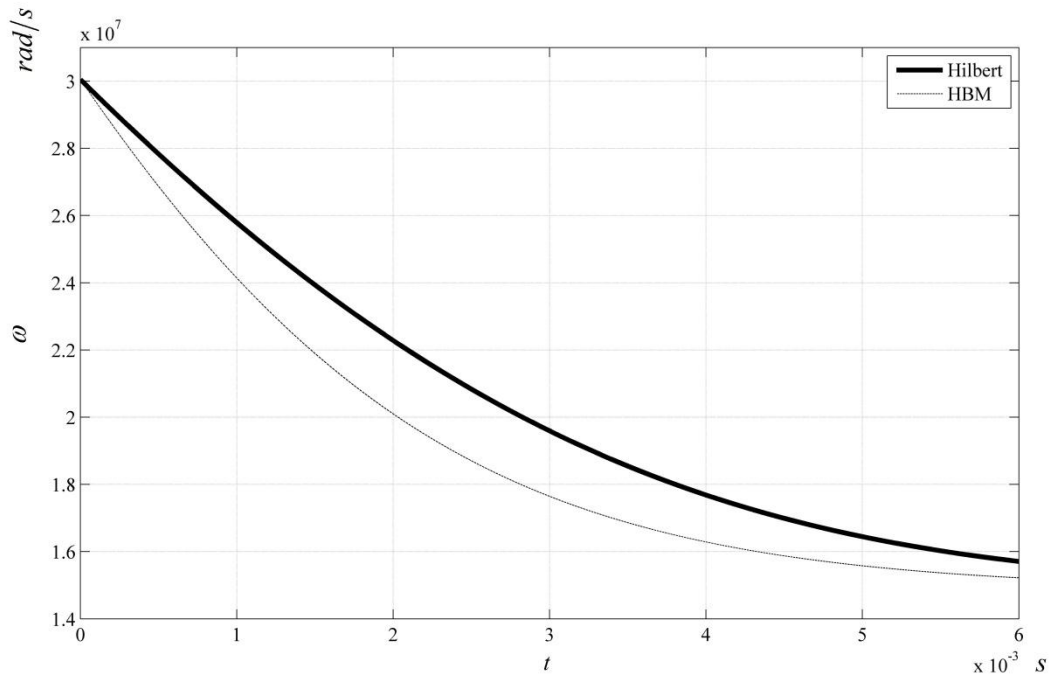
ب) مشتق دامنه نرمال نسبت به زمان  $\lambda-4$



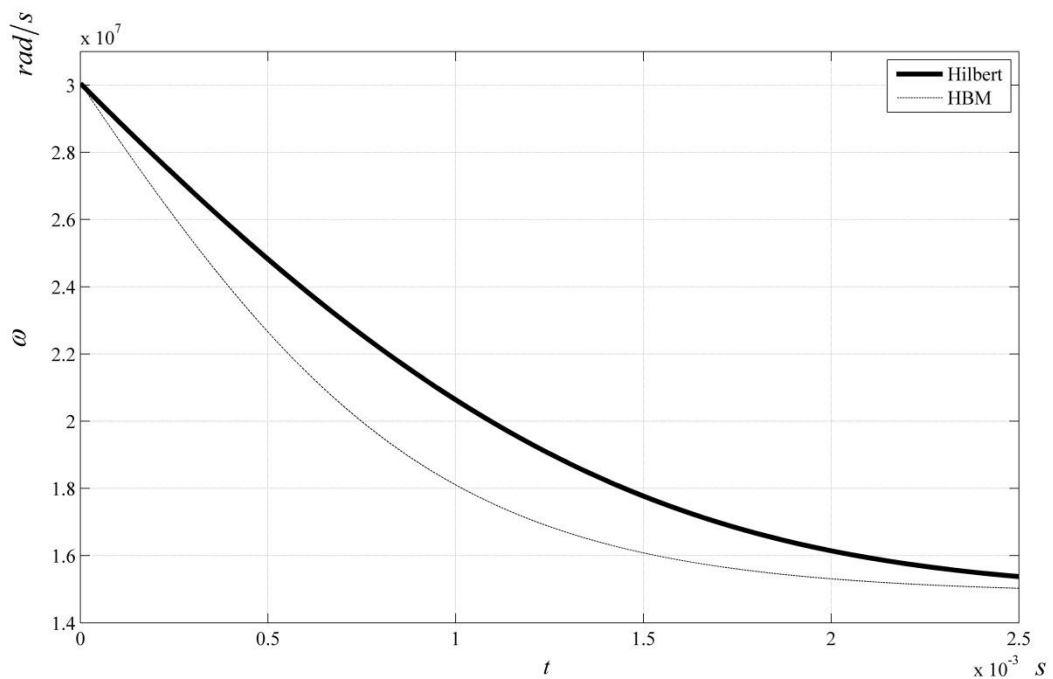
ج) مشتق دامنه نرمال نسبت به زمان  $\lambda-4$



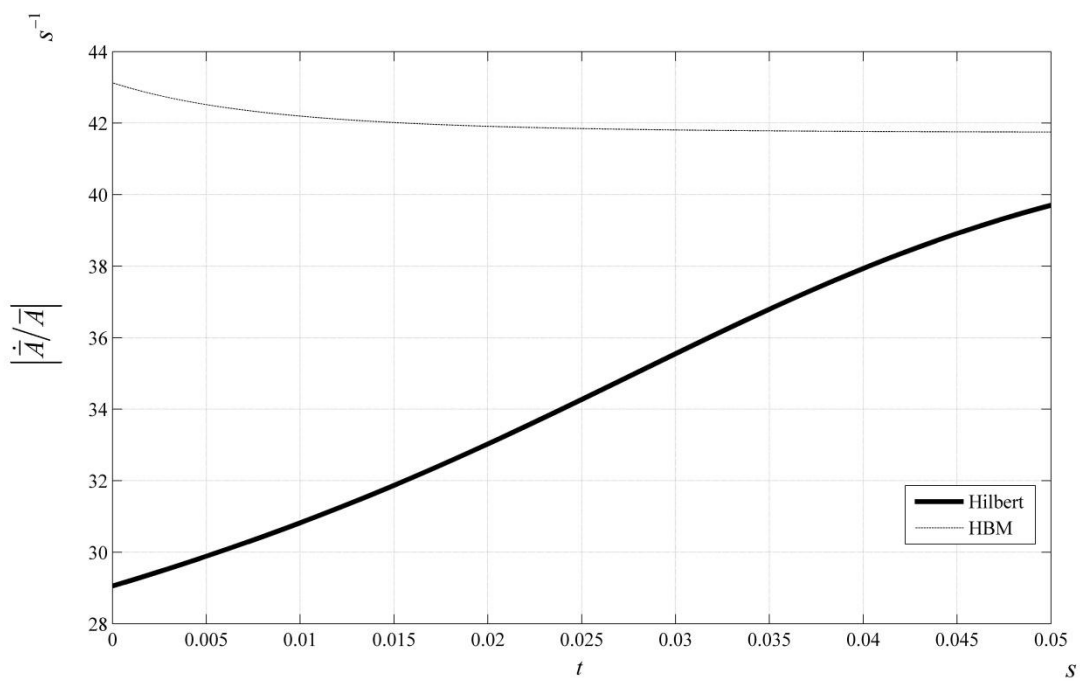
۹-۴) فرکانس میرا (الف)  $T = 200 \text{ K}$  ،  $L = 80 \mu\text{m}$  ،  $L/h = 20$



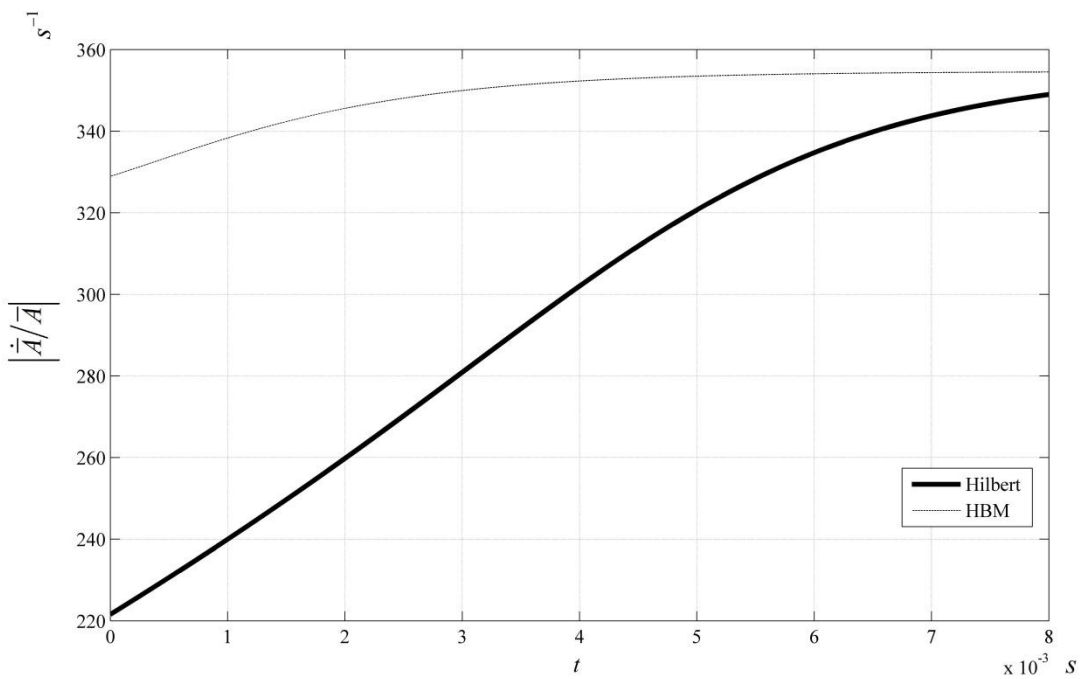
۹-۴) فرکانس میرا (ب)  $T = 300 \text{ K}$  ،  $L = 80 \mu\text{m}$  ،  $L/h = 20$



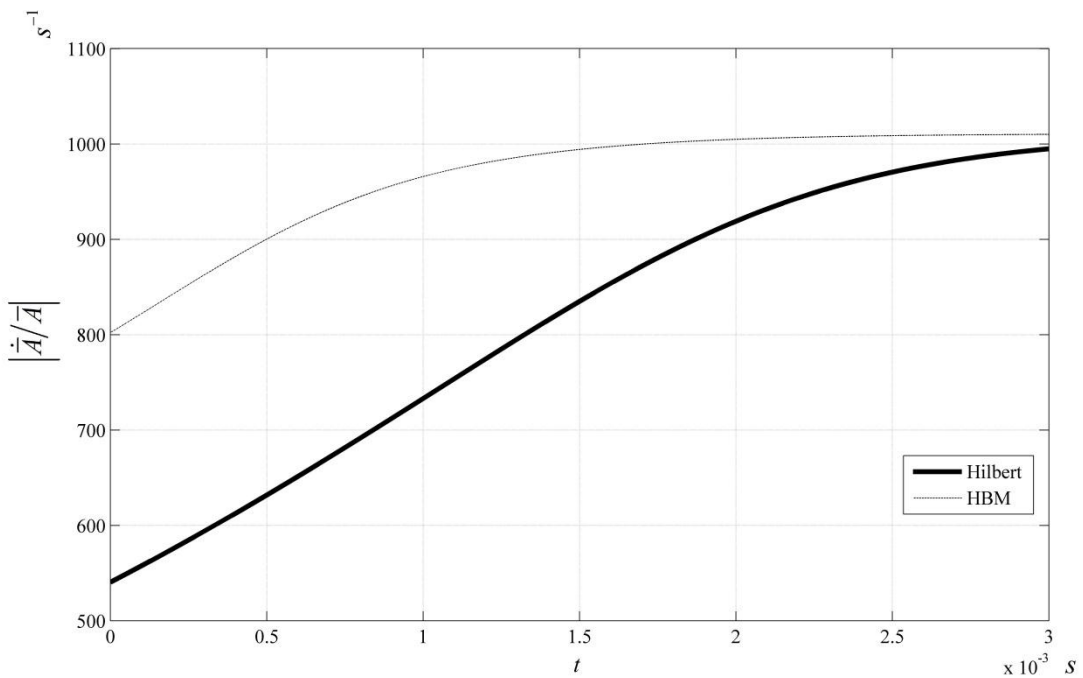
ج) فرکانس میرا ۹-۴



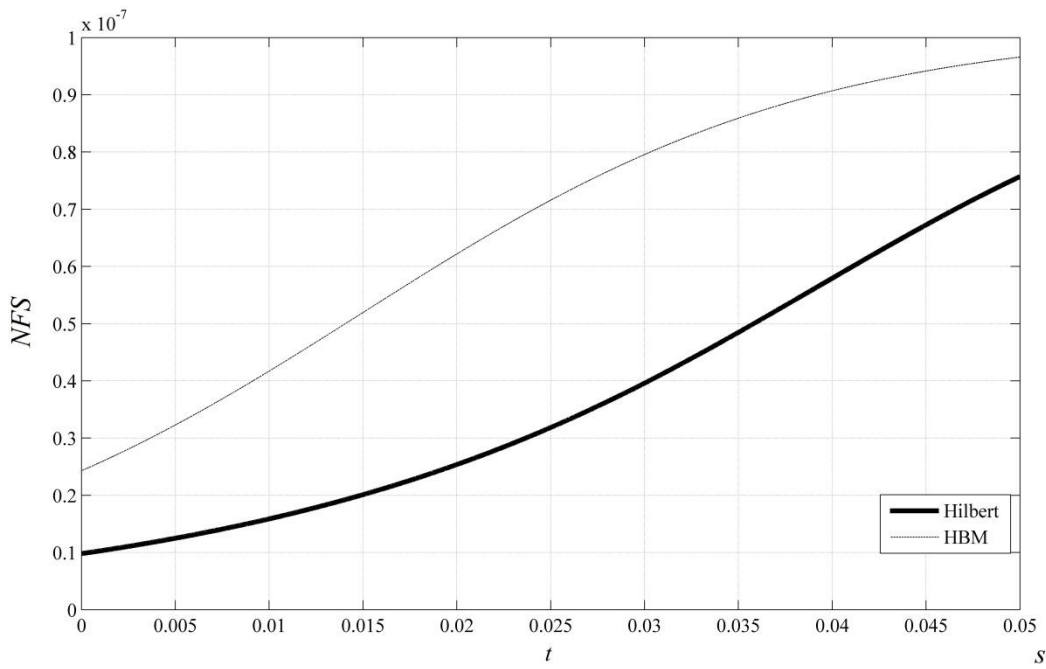
الف) فرکانس موہومی معادل ۱۰-۴



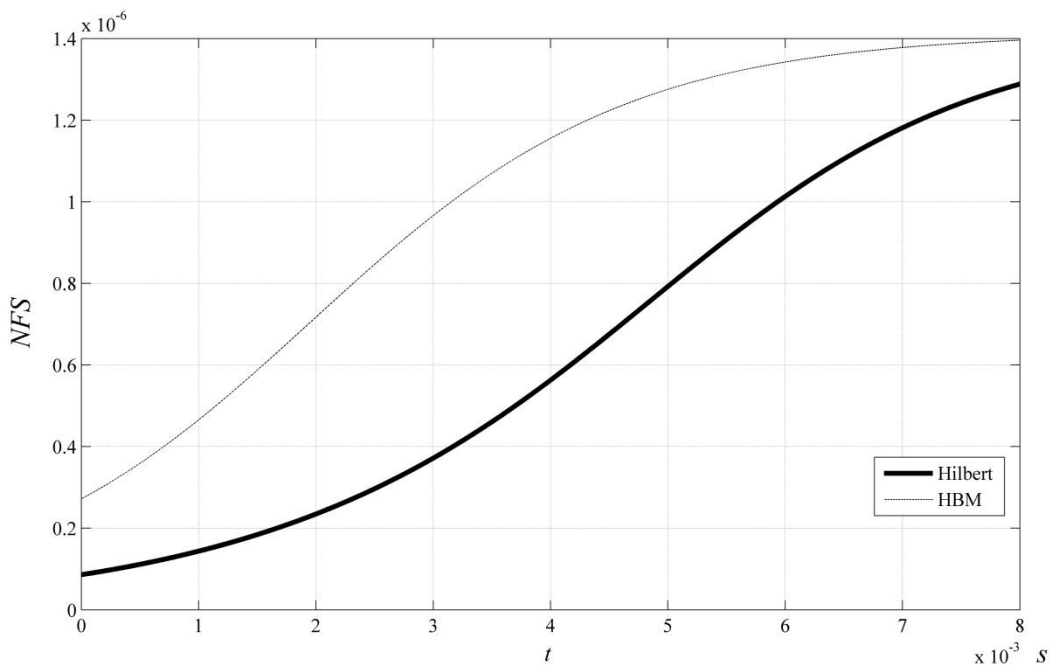
۱۰-۴ ب) فرکانس موهومی معادل  $T = 300 \text{ K}$  ،  $L = 80 \mu\text{m}$  ،  $L/h = 20$



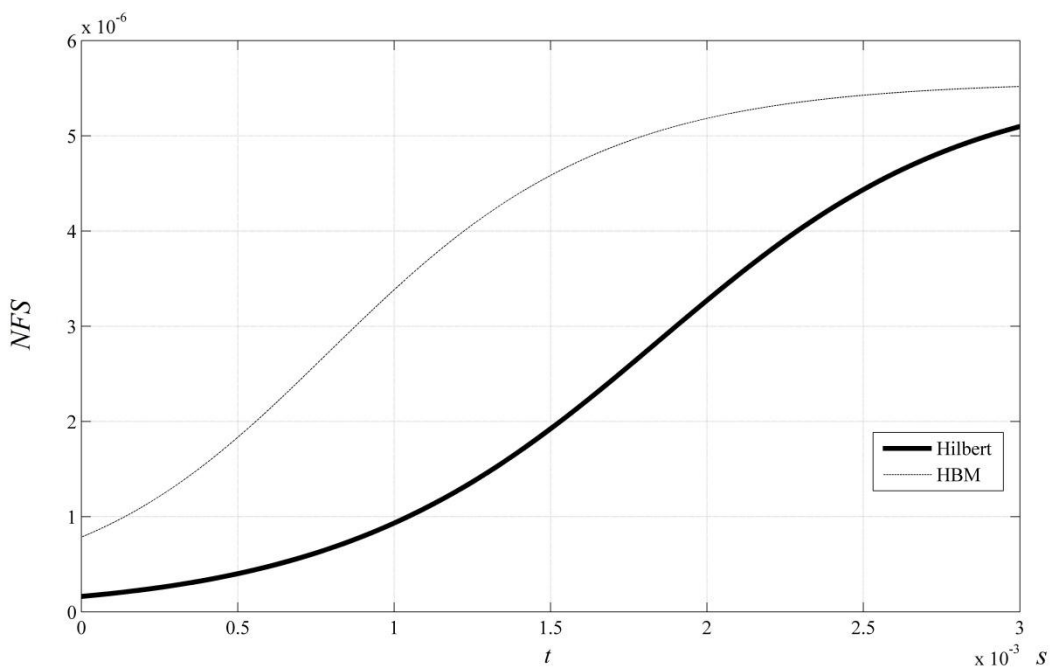
۱۰-۴ ج) فرکانس موهومی معادل  $T = 400 \text{ K}$  ،  $L = 80 \mu\text{m}$  ،  $L/h = 20$



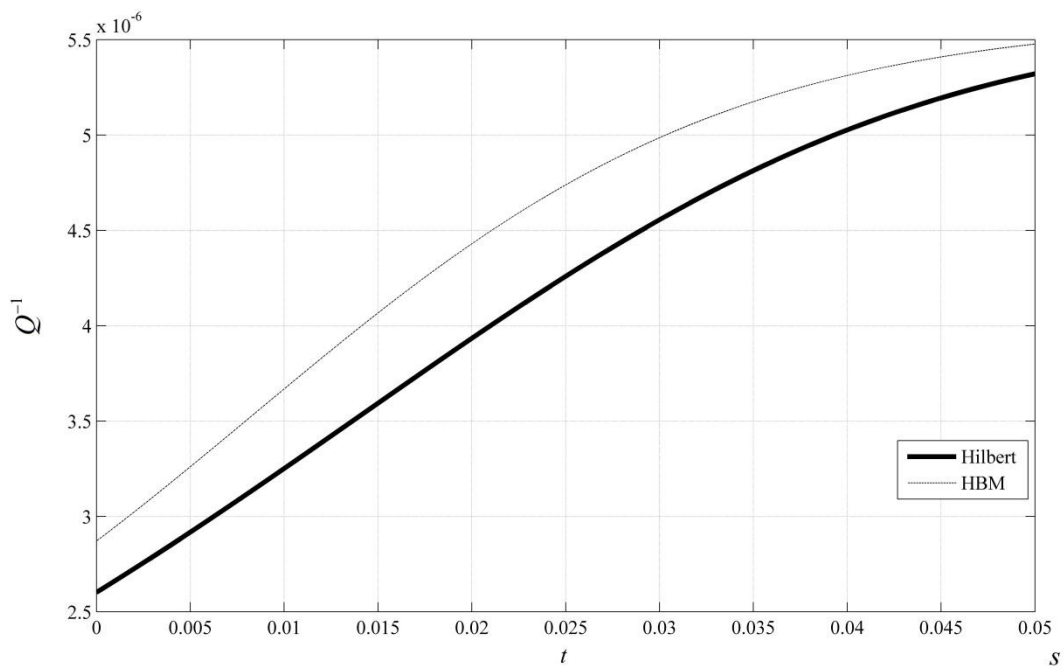
١١-٤ (الف) تغيير نرمال فركانس  $T = 200\text{ K}$  ،  $L = 80\text{ }\mu\text{m}$  ،  $L/h = 20$



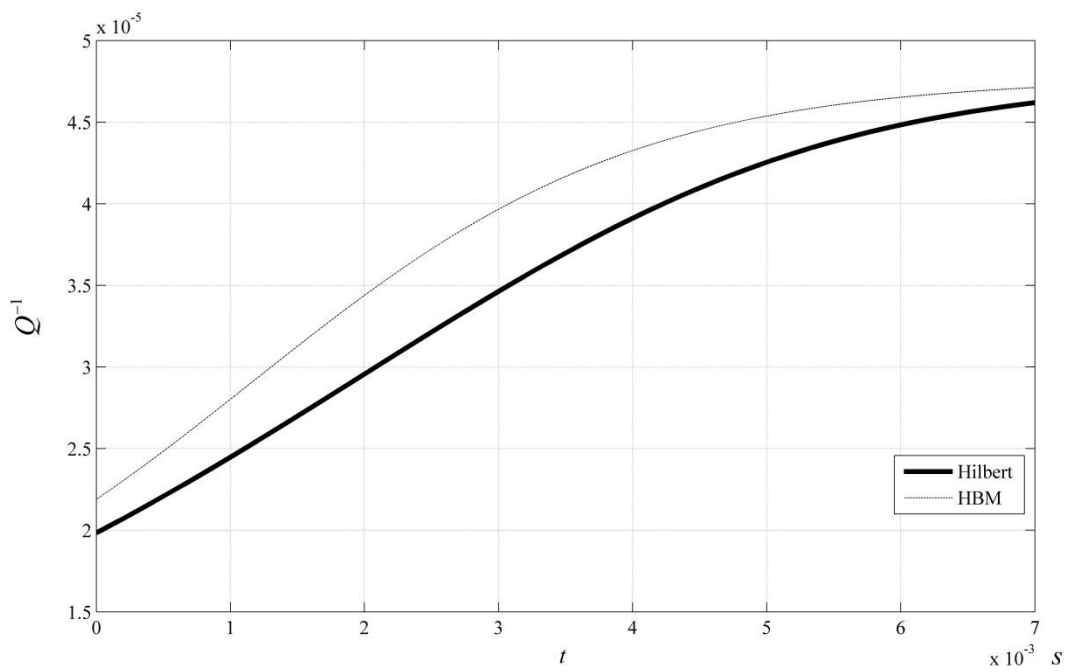
١١-٤ (ب) تغيير نرمال فركانس  $T = 300\text{ K}$  ،  $L = 80\text{ }\mu\text{m}$  ،  $L/h = 20$



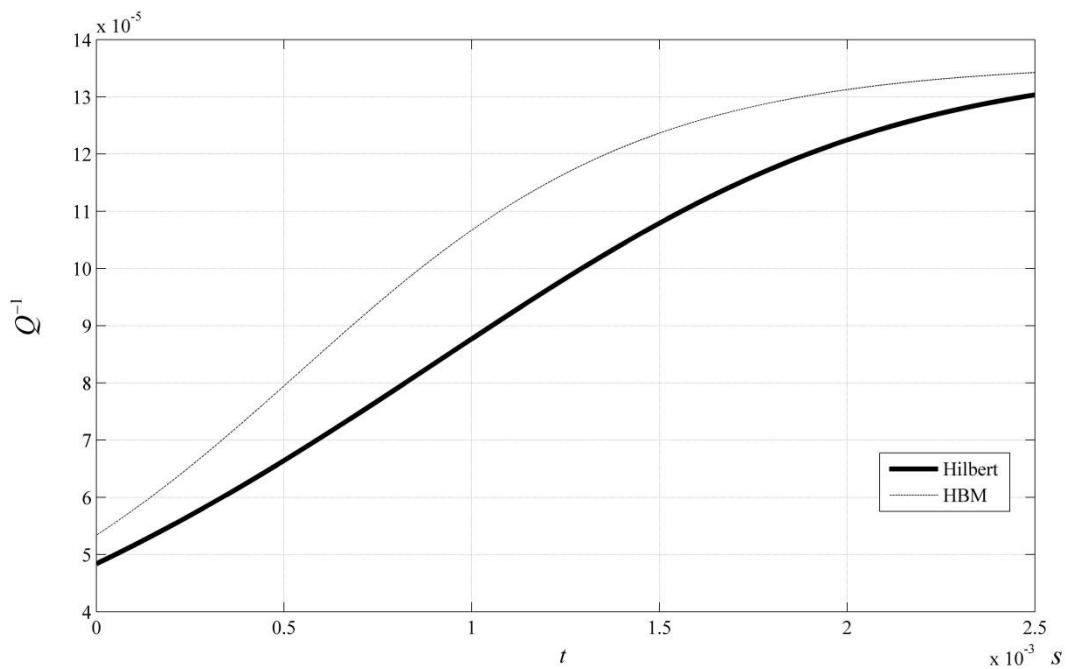
١١-٤) تغییر نرمال فرکانس (ج)  $T = 400 \text{ K}$  ،  $L = 80 \text{ } \mu\text{m}$  ،  $L/h = 20$



١٢-٤) معکوس ضریب کیفیت (الف)  $T = 200 \text{ K}$  ،  $L = 80 \text{ } \mu\text{m}$  ،  $L/h = 20$



۱۲-۴ ب) معکوس ضریب کیفیت  $T = 300 K$  ،  $L = 80 \mu m$  ،  $L/h = 20$



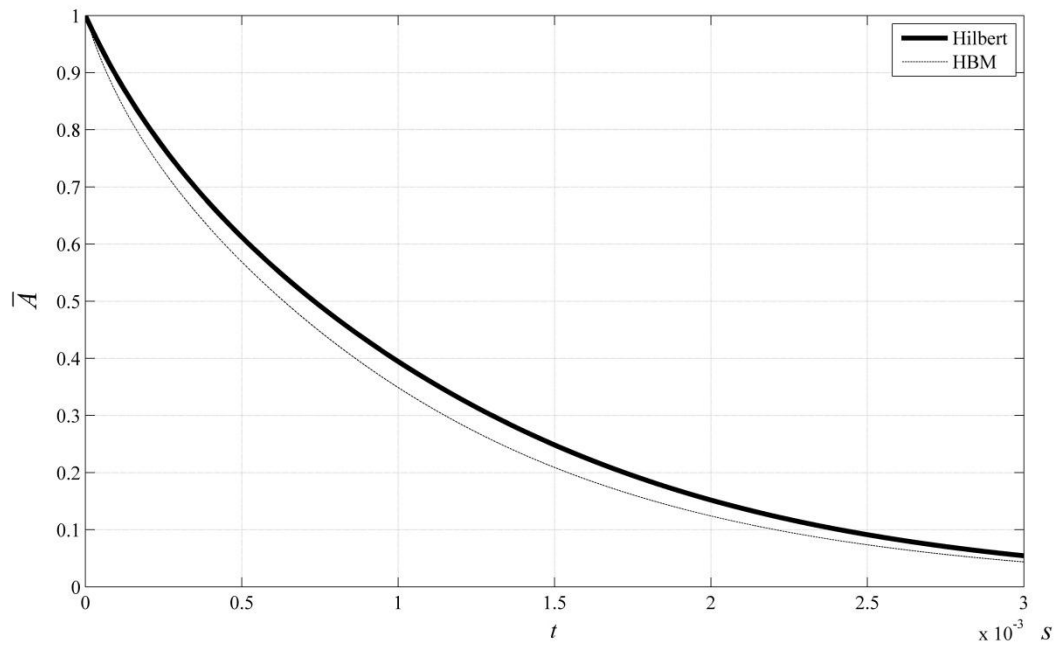
۱۲-۴ ج) معکوس ضریب کیفیت  $T = 400 K$  ،  $L = 80 \mu m$  ،  $L/h = 20$

#### ۴-۴-۲. میرایی غیر خطی

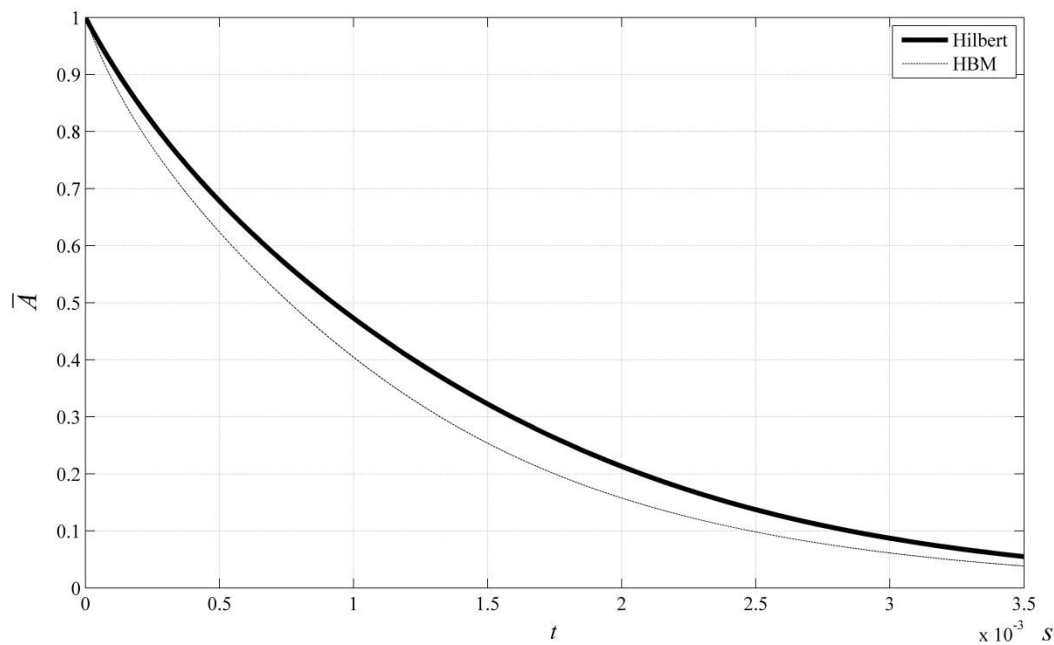
یکی از تفاوت‌های اصلی بررسی ارتعاش غیر خطی تیر با کمک مودهای غیر خطی نسبت به دیگر روش‌ها همچون گلرکین ، حضور میرایی غیر خطی برای تیر میکرو در سیستم معادل یک درجه آزادی در حرکت تک مودی است. در این حالت مطابق معادله (۴-۴-۴۸) بوده و پاسخ بالانس هارمونیکی از یکی از جفت روابط (۱۱-۴) و (۱۲-۴) یا (۱۴-۴) و (۱۵-۴) بدست می‌آید. در بخش ۴-۱-۱ اشاره شد که صرفنظر از کاهش انرژی سیستم به واسطه‌ی کاهش فرکانس ، منجر به بروز خطا در محاسبات مربوط به دامنه و فرکانس شده و از آن جایی که میرایی ترمولاستیک تابع فرکانس است ، در محاسبات مربوط به میرایی سیستم نیز خطا وارد می‌شود. بنابر رابطه‌ی (۴-۴-۴۸) وابستگی میرایی غیر خطی به فرکانس بسیار بیشتر از میرایی خطی بوده و این عامل خود موجب بوجود آمدن تفاوت‌های بیشتری بین حل‌های (۱) و (۲) می‌گردد. در نظر گرفتن این ترم غیر خطی موجب زیاد شدن میرایی موثر سیستم شده و مدت زمان پاسخ گذرا را کاهش می‌دهد. همچنین تغییر تابع میرایی موثر سبب بوجود آمدن اکسترمم نسبی در فرکانس موهومی معادل ، تغییر نرمال فرکانس و معکوس ضریب کیفیت می‌گردد.

#### ۴-۴-۲-۱. اثر طول تیر

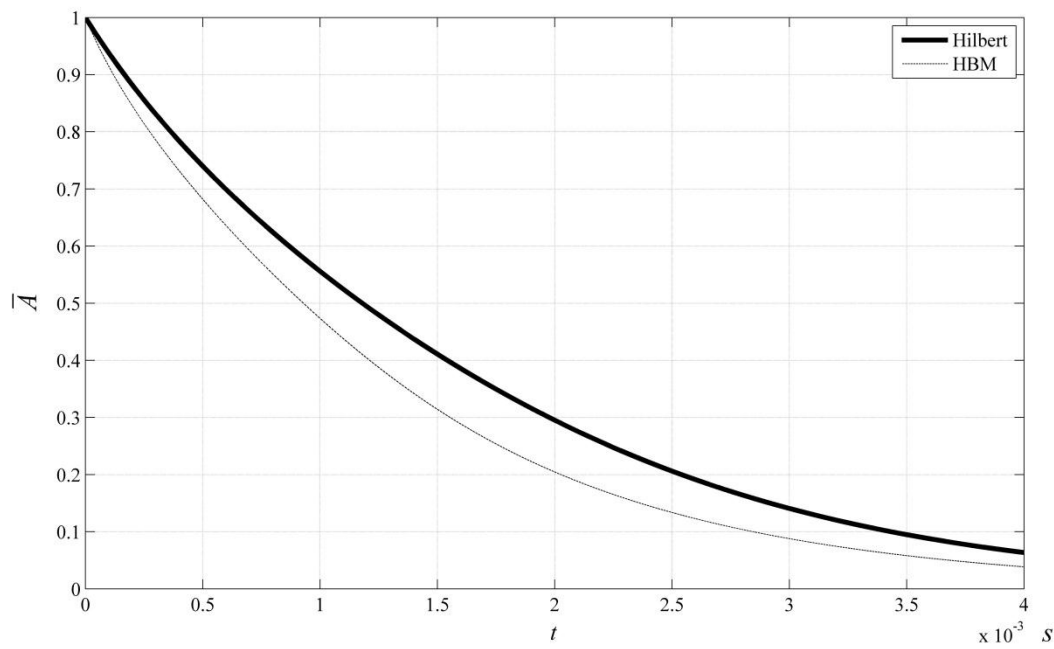
در این بخش نیز همانند بخش ۴-۱-۱ نسبت طول به ارتفاع سطح مقطع ثابت در نظر گرفته شده و پاسخ سیستم برای طول‌های متفاوت رسم شده و ارتباط میرایی با فرکانس از دوره‌ی زمانی پاسخ گذرا قابل ملاحظه است. دامنه نرمال و مشتق دامنه نرمال نسبت به زمان در شکل‌های (۱۴-۴) و (۱۳-۴) رسم شده است. تفاوت بارز بین شکل‌های (۱۳-۴) و (۱-۴) یا (۱۴-۴) و (۲-۴) کاهش اختلاف بین حل (۱) و (۲) است. با کاهش دامنه ، فرکانس نیز به تبع از آن کاهش می‌یابد. رابطه (۴-۴-۴۸) بیان گر حساسیت زیاد میرایی به فرکانس است. این ارتباط به گونه‌ای است که با اندک تغییر در فرکانس ، میرایی موثر سیستم به اندازه‌ی قابل ملاحظه‌ای متفاوت خواهد بود. دامنه‌ی محاسبه شده در حل (۲) کمتر از حل (۱) است و این امر سبب کاهش میرایی در حل (۲) و جلوگیری از ازدیاد اختلاف بین دو حل می‌گردد. همین موضوع سبب می‌گردد که در شکل‌های (۱۴-۴) اختلاف بین حل (۱) و (۲) برای مشتق دامنه نسبت به زمان به سرعت کاهش پیدا کند.



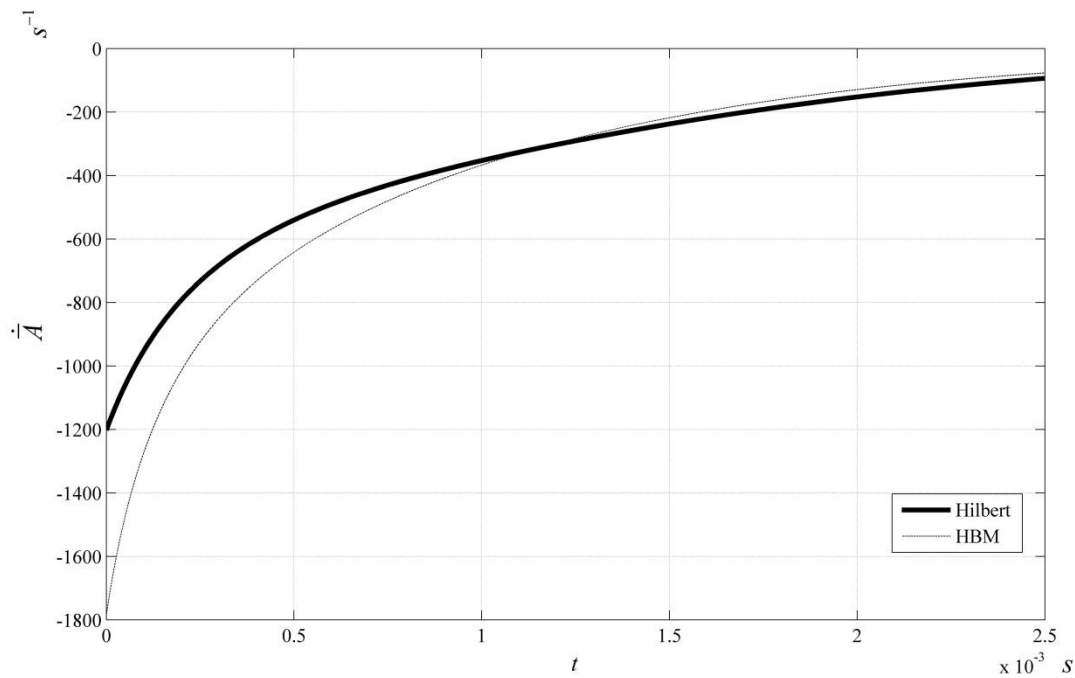
$T = 300 \text{ K}$  ،  $L = 50 \text{ } \mu\text{m}$  ،  $L/h = 15$  ۱۳-۴



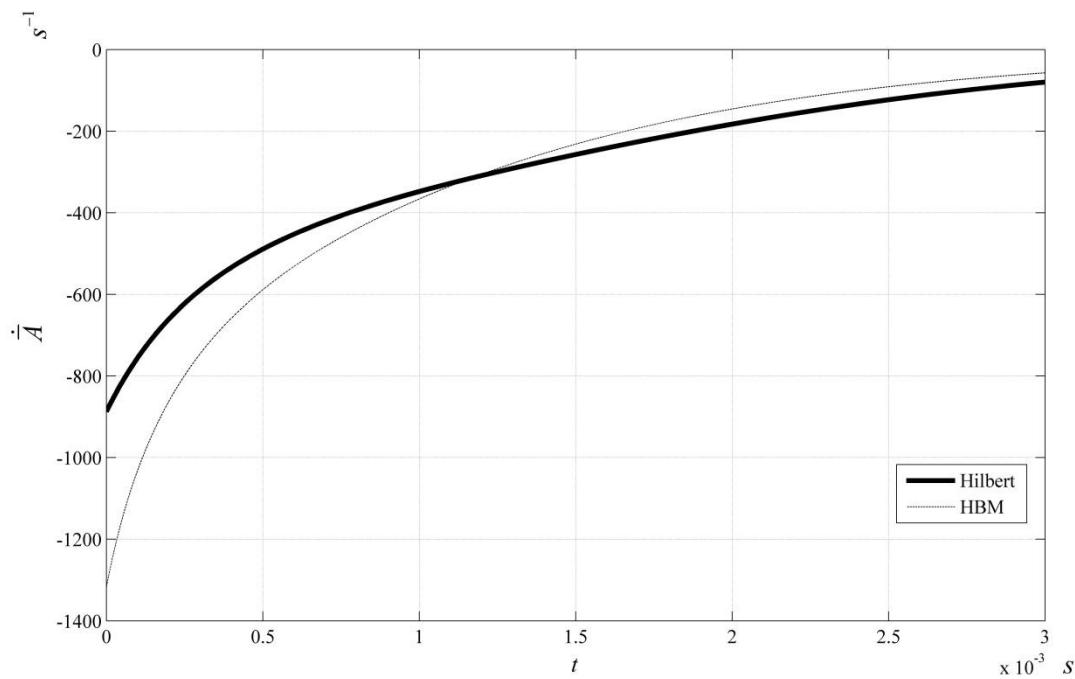
$T = 300 \text{ K}$  ،  $L = 70 \text{ } \mu\text{m}$  ،  $L/h = 15$  ۱۲-۴



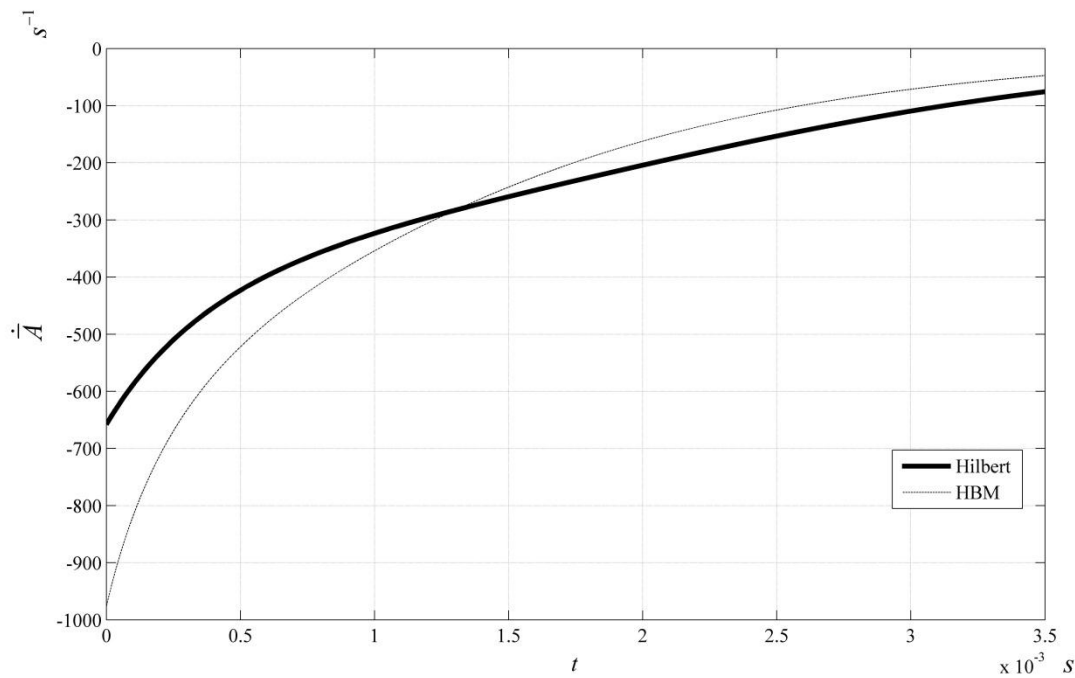
$T = 300 \text{ K}$  ،  $L = 90 \mu\text{m}$  ،  $L/h = 15$  (ج) دامنه نرمال



$T = 300 \text{ K}$  ،  $L = 50 \mu\text{m}$  ،  $L/h = 15$  (الف) مشتق دامنه نرمال نسبت به زمان

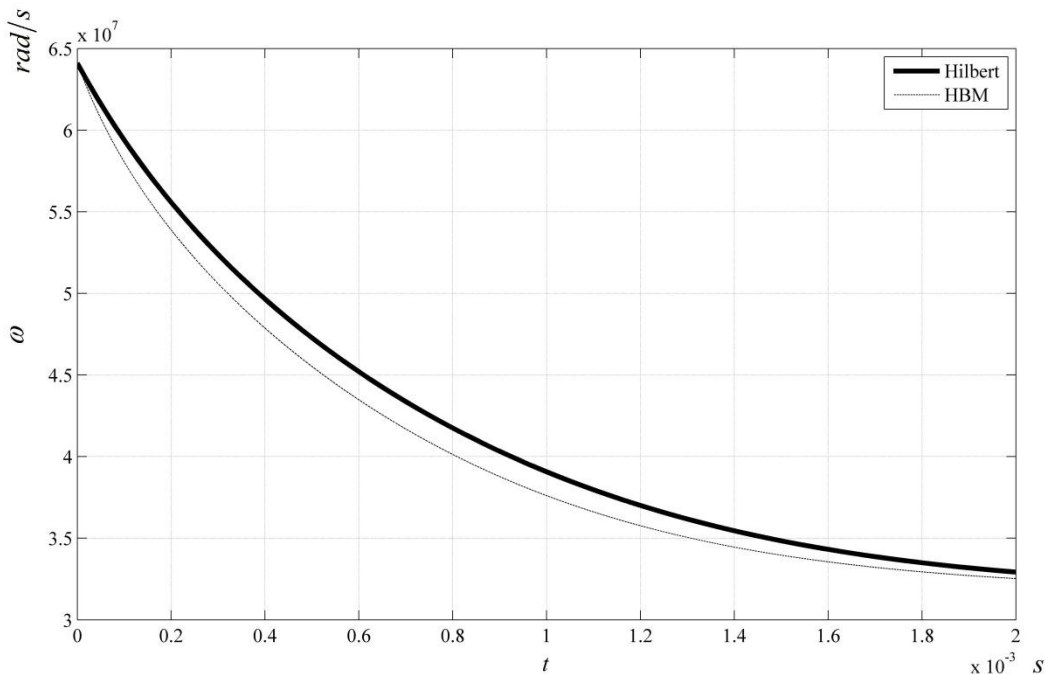


۱۴-۴ ب) مشتق دامنه نرمال نسبت به زمان

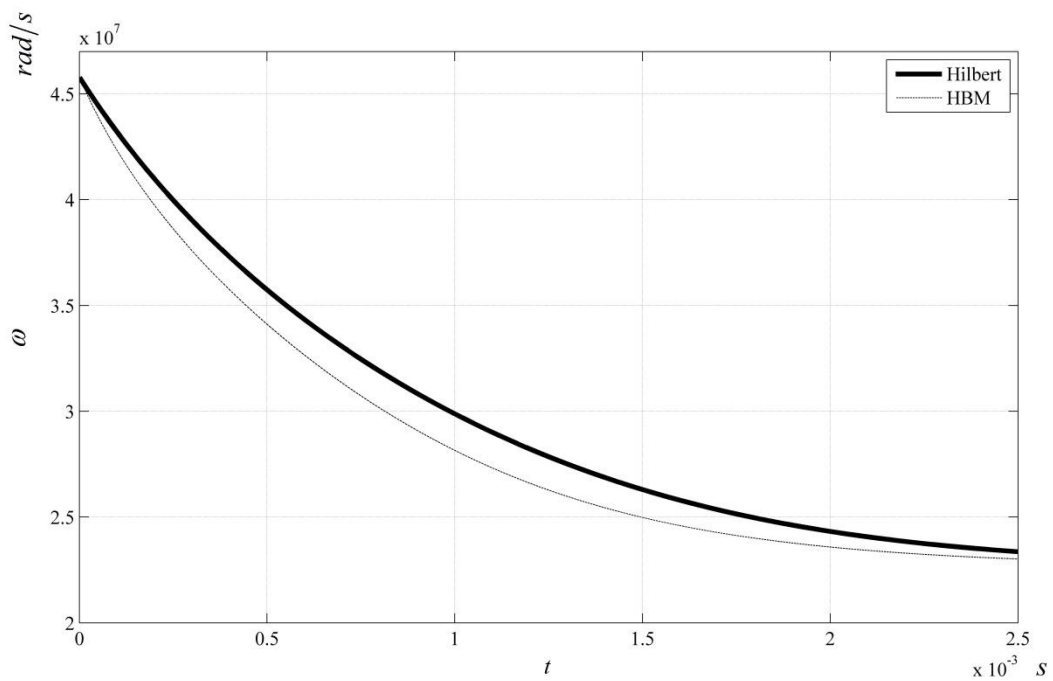


۱۴-۴ ج) مشتق دامنه نرمال نسبت به زمان

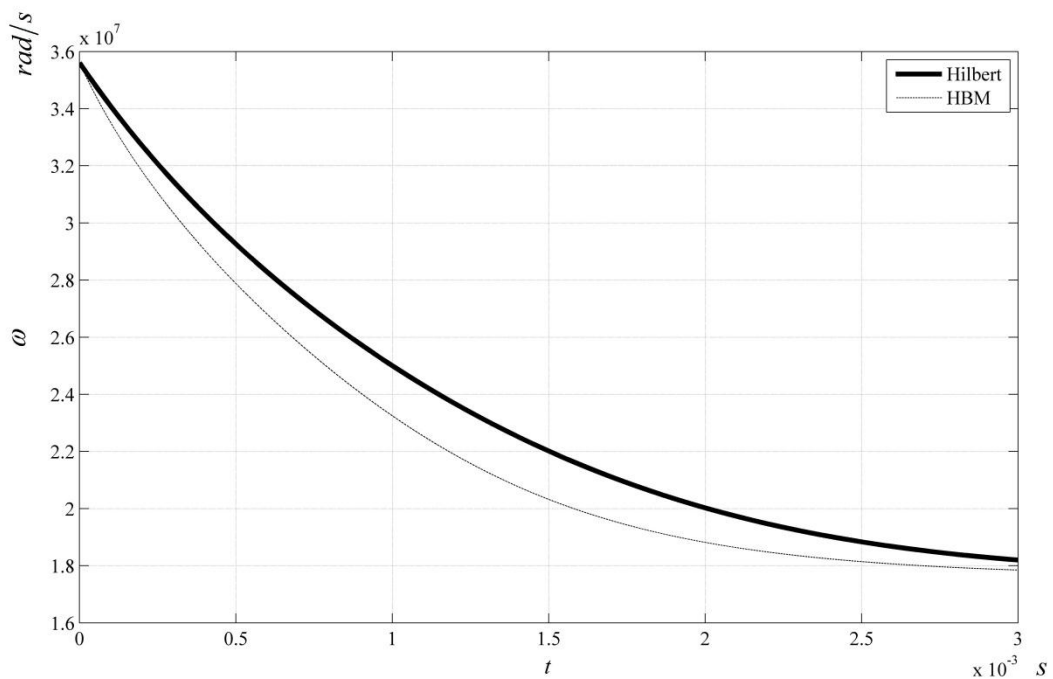
فرکانس میرا و فرکانس موهومی معادل به ترتیب در شکل های (۱۵-۴) و (۱۶-۴) نسبت به زمان رسم شده اند. از آن جایی که فرکانس تابع دامنه است ، کمتر شدن اختلاف بین دامنه ها در حل های (۱) و (۲) سبب کاهش اختلاف بین فرکانس نیز می گردد. روند تغییرات فرکانس موهومی معادل نسبت به زمان کاملاً متفاوت با زمانی است که میرایی سیستم خطی باشد. زیرا تابع میرایی معادل کاملاً متفاوت بوده و این امر سبب پیدایش نقاط اکسترمم در بعضی پارامتر های پاسخ گذرا می شود. در ابتدا کاهش مشتق دامنه نسبت به زمان بیشتر از کاهش دامنه بوده و از یک مرحله به بعد این روند معکوس خواهد شد. به دلیل آن که فرکانس موهومی معادل نشان دهنده اثر میرایی بر روی دامنه است ، همچنان اختلاف قابل توجه بین دو حل مشاهده می شود.



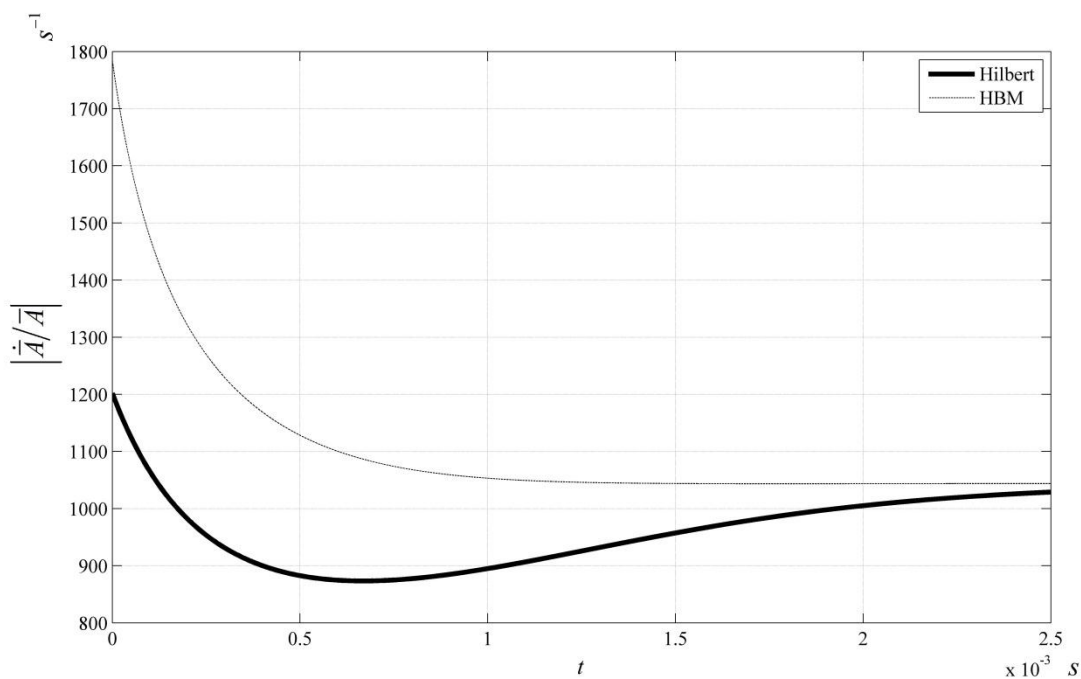
$T = 300 \text{ K}$  ،  $L = 50 \text{ } \mu\text{m}$  ،  $L/h = 15$  (الف) فرکانس میرا ۱۵-۴



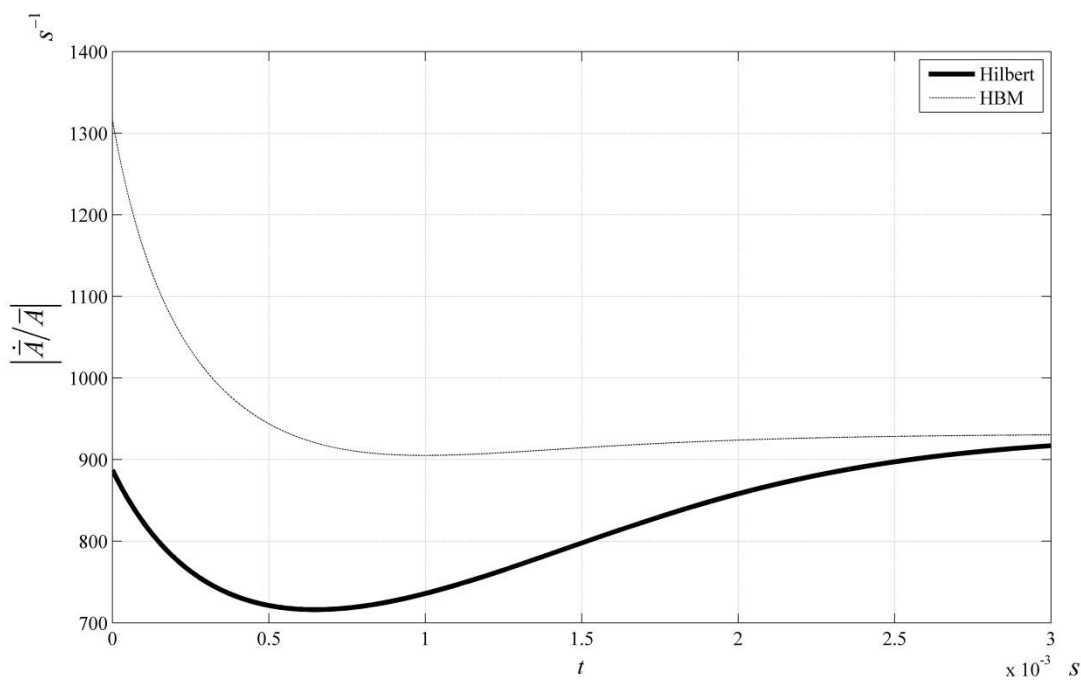
$T = 300 \text{ K}$  ،  $L = 70 \mu\text{m}$  ،  $L/h = 15$ -۴ ب) فرکانس میرا



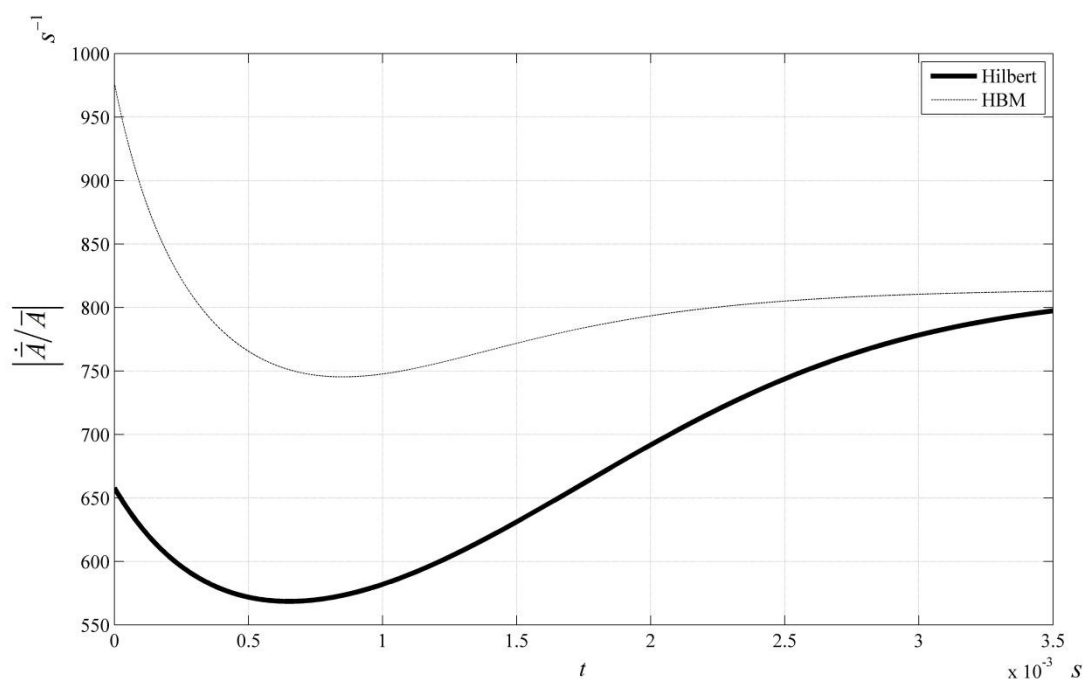
$T = 300 \text{ K}$  ،  $L = 90 \mu\text{m}$  ،  $L/h = 15$ -۴ ج) فرکانس میرا



۱۶-۴ (الف) فرکانس موهومی معادل

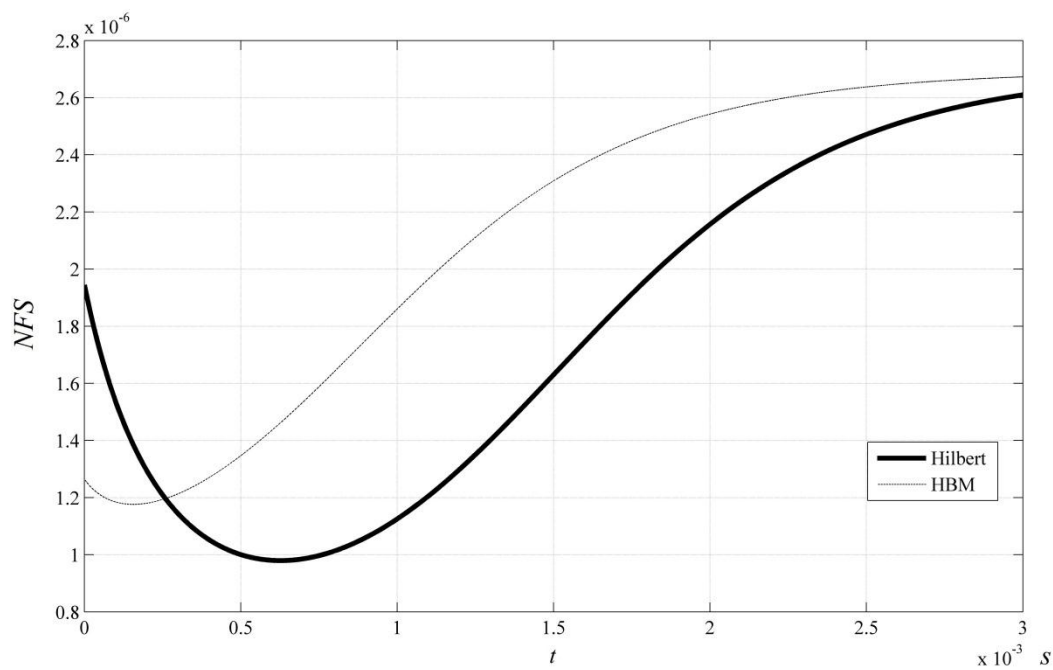


۱۶-۴ (ب) فرکانس موهومی معادل

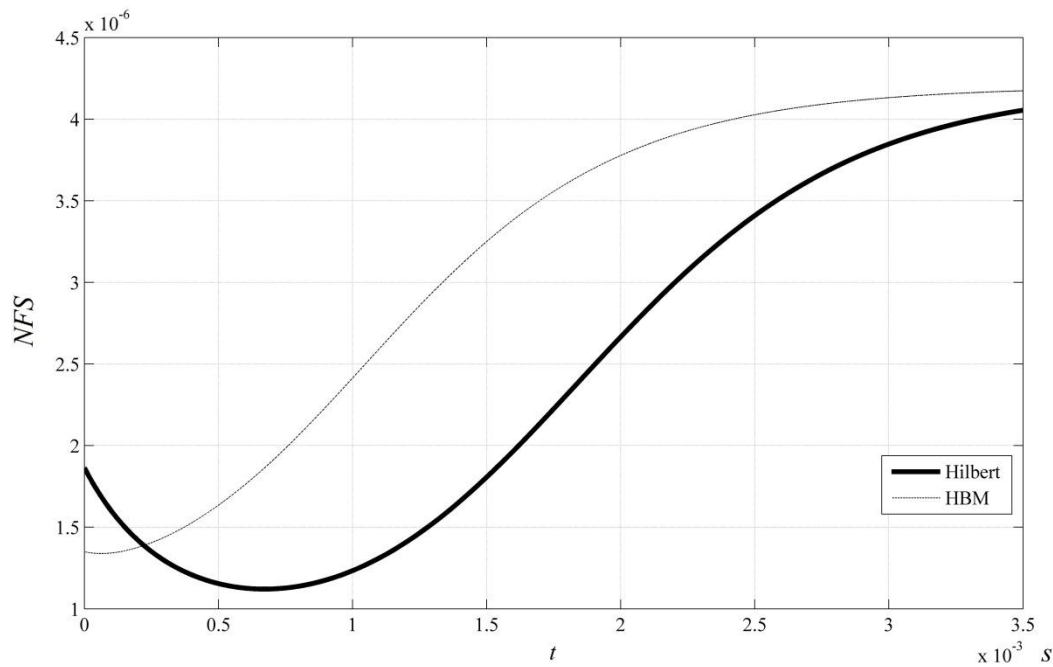


۱۶-۴) فرکانس موهومی معادل  $T = 300 \text{ K}$  ،  $L = 90 \mu\text{m}$  ،  $L/h = 15$

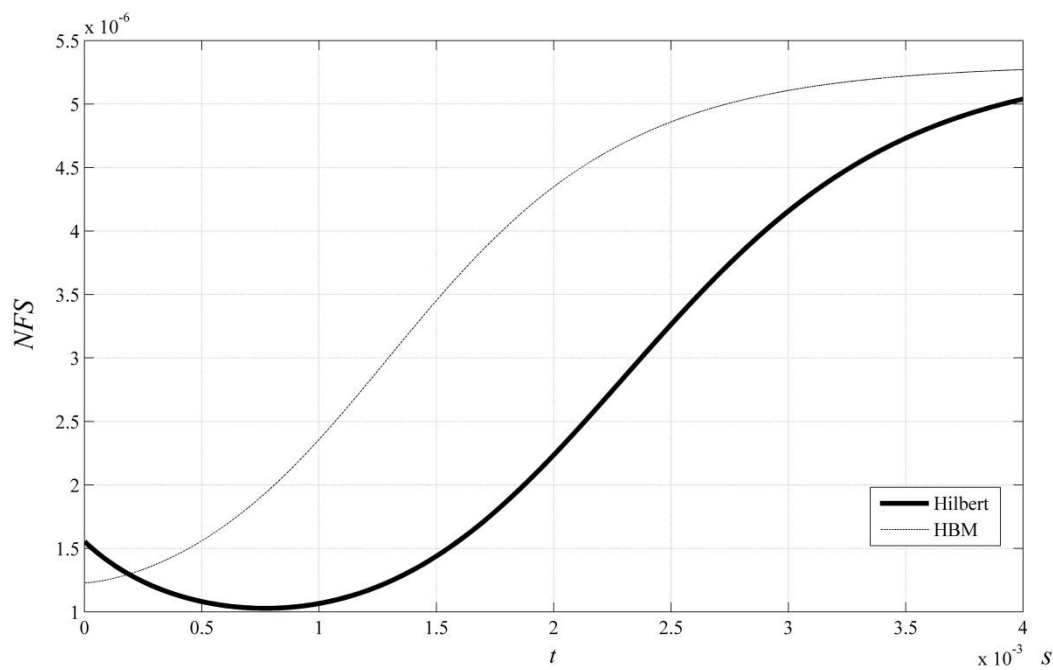
تغییر نرمال فرکانس و معکوس ضریب کیفیت به ترتیب در شکل های (۱۷-۴) و (۱۸-۴) نسبت به زمان رسم شده اند. همان طور که قبلا اشاره شد ، تغییر فرکانس با مشتق اول و دوم دامنه نسبت به زمان ارتباط دارد. وجود میرایی غیر خطی سبب تغییر در روند تغییرات این دوتابع نسبت به زمان شده و در تغییر فرکانس به واسطه ای میرایی نقاط اکسترمم ایجاد می کند. برای معکوس ضریب کیفیت می توان گفت که در ابتدا کاهش میرایی به واسطه ای کاهش دامنه بیشتر از کاهش فرکانس سیستم بوده و این امر سبب کاهش معکوس ضریب کیفیت می شود. از یک مرحله به بعد این روند تغییر کرده و با گذشت زمان معکوس ضریب کیفیت افزایش خواهد یافت.



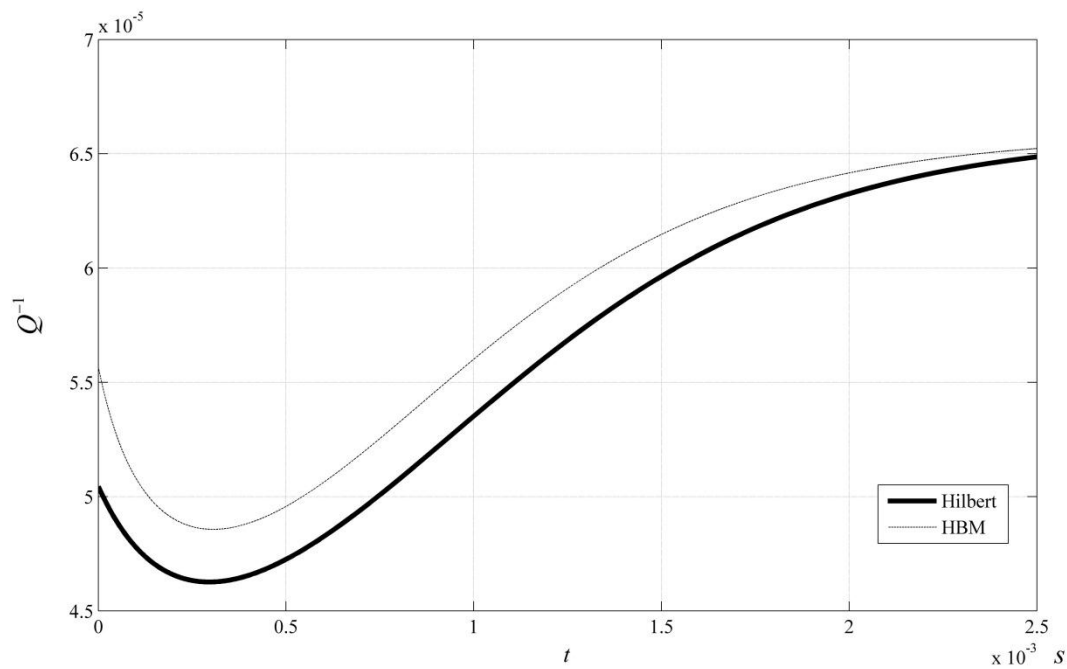
١٧-٤ (الف) تغییر نرمال فرکانس



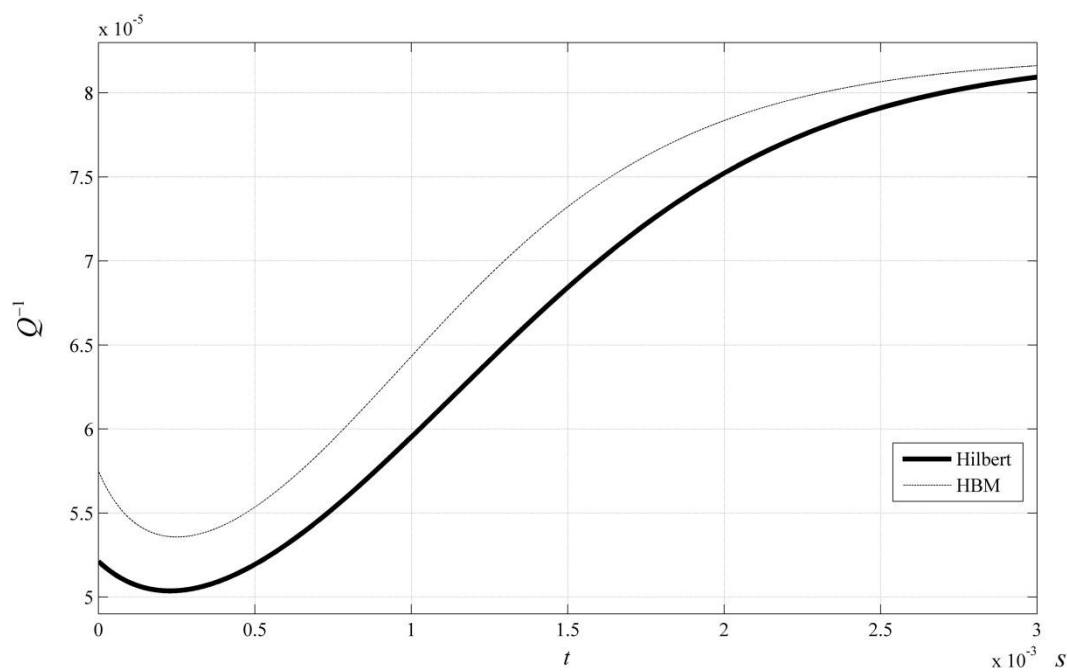
١٧-٤ (ب) تغییر نرمال فرکانس



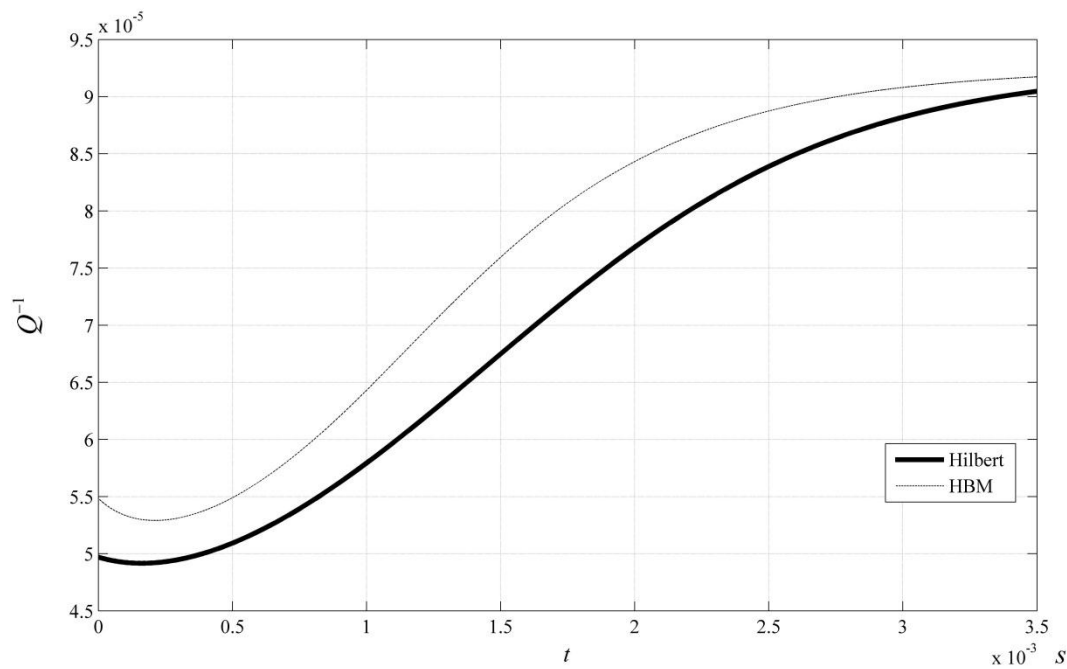
ج) تغییر نرمال فرکانس (۱۷-۴)



۱۸-۴ (الف) معکوس ضریب کیفیت



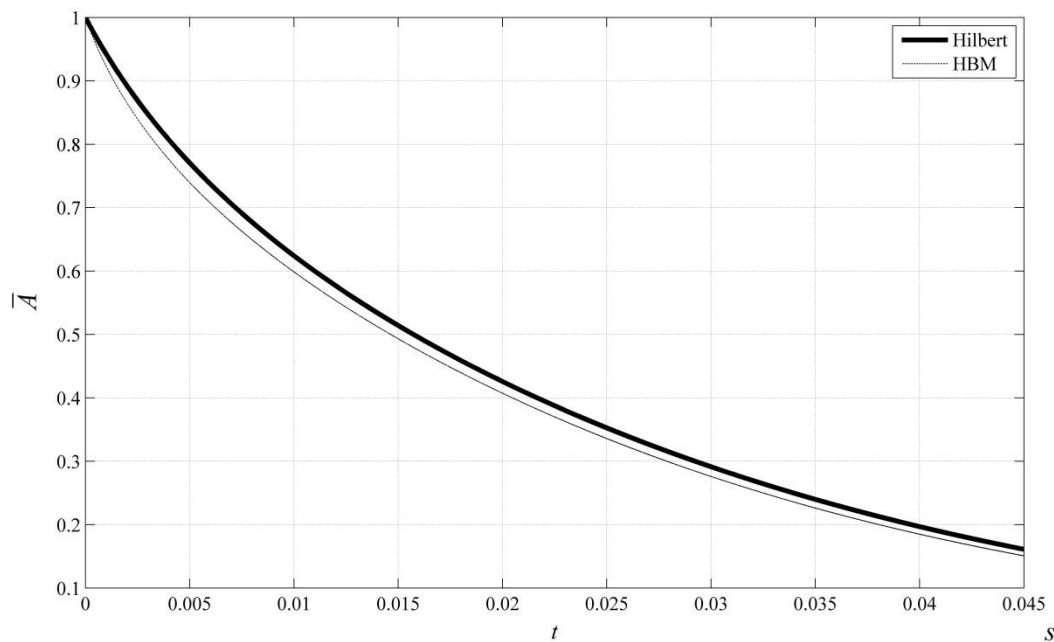
۱۸-۴ ب) معکوس ضریب کیفیت  $T = 300 \text{ K}$  ،  $L = 70 \mu\text{m}$  ،  $L/h = 15$



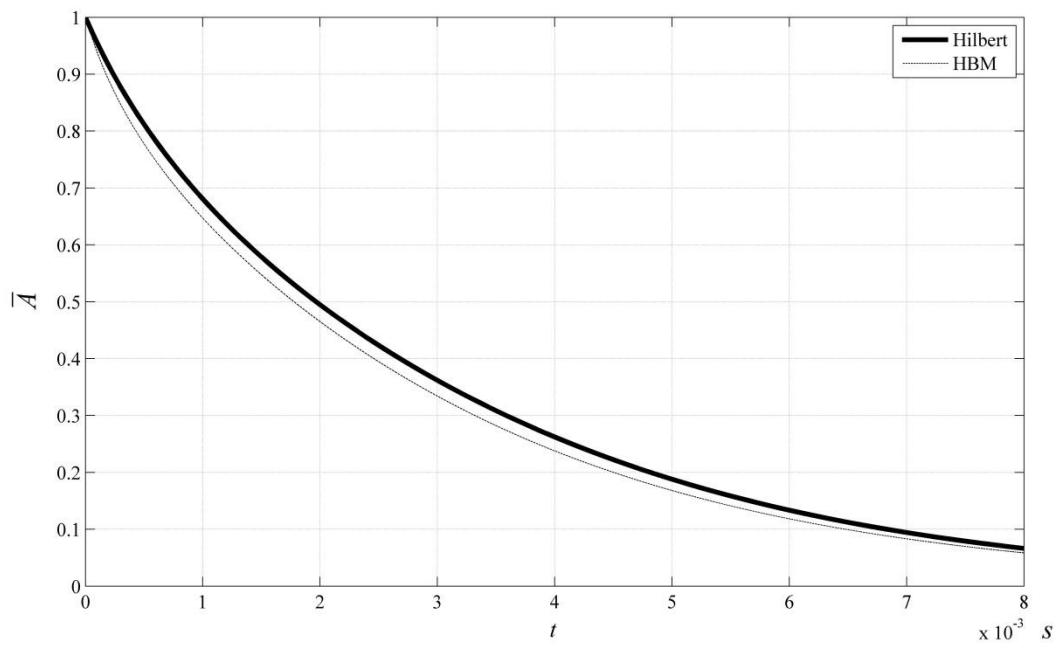
۱۸-۴ ج) معکوس ضریب کیفیت  $T = 300 \text{ K}$  ،  $L = 90 \mu\text{m}$  ،  $L/h = 15$

## ۴-۴-۲-۲. اثر دما

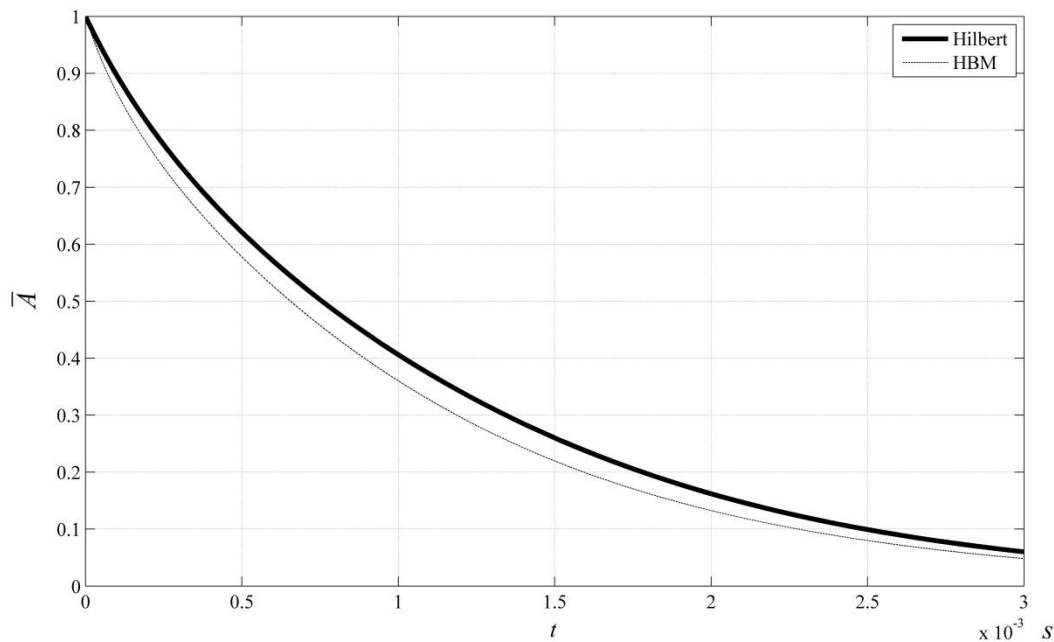
در این قسمت همانند بخش ۴-۱-۲-۲ ابعاد تیر ثابت در نظر گرفته شده و اثر دمای سیستم بر روی میرایی ترمولاستیک بررسی می شود. دامنه‌ی نرمال، مشتق دامنه‌ی نرمال نسبت به زمان، فرکانس میرا، نسبت اندازه‌ی مشتق دامنه نسبت به زمان بر دامنه، تغییر نرمال فرکانس و معکوس ضریب کیفیت به ترتیب در شکل‌های (۱۹-۴) تا (۲۴-۴) برای سه دمای  $K = 200$ ،  $K = 300$  و  $K = 400$  نشان داده شده است. افزایش اتلاف انرژی سیستم نسبت به حالت میرایی خطی سبب شده که دیگر خطای ناشی از ضعیف بودن میرایی برای دما‌ی پایین در حل (۲) ایجاد نشود و نوع اختلاف حل (۱) و (۲) در دما‌های متفاوت یکسان بماند.



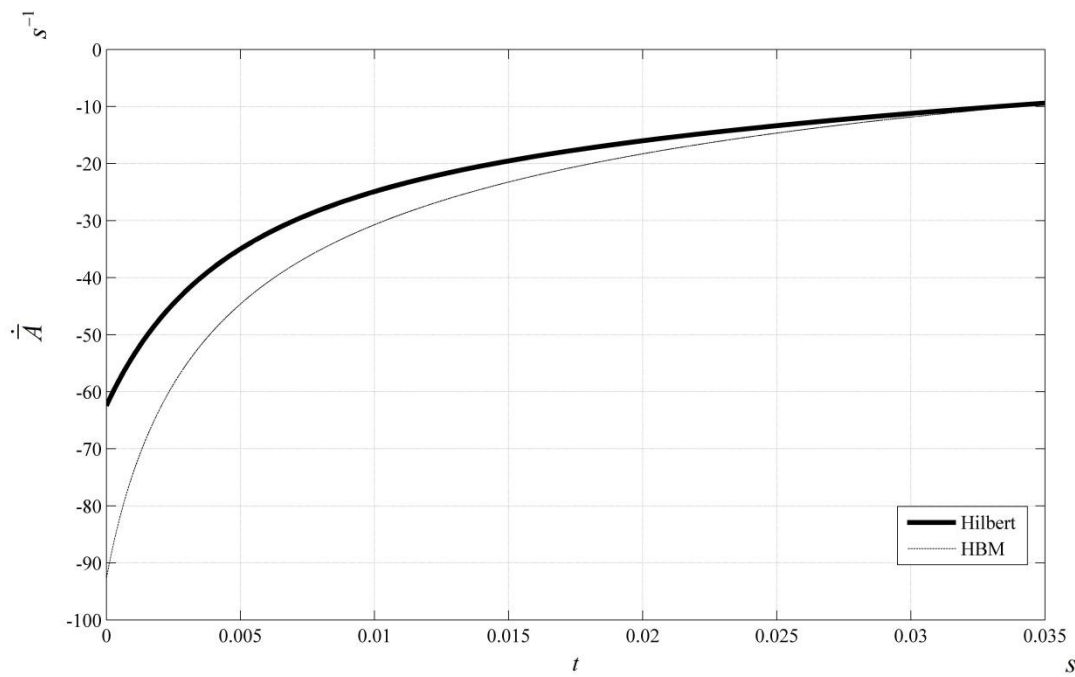
T = 200 K ، L = 80 μm ، L/h = 20 ۱۹-۴ (الف) دامنه نرمال



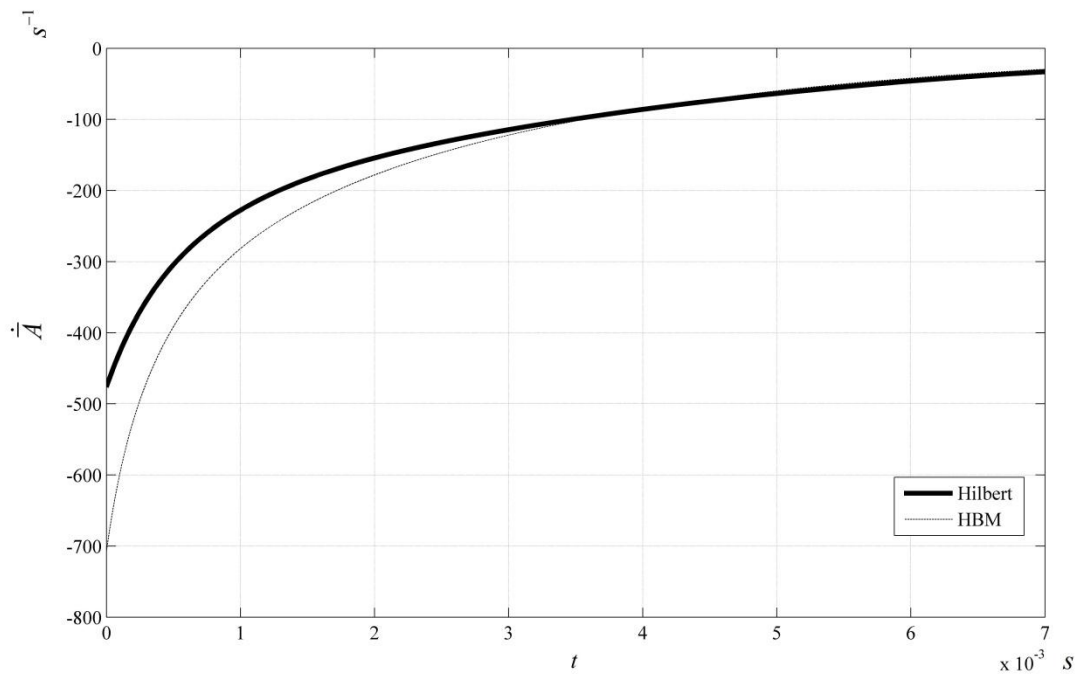
۱۹-۴(ب) دامنه نرمال



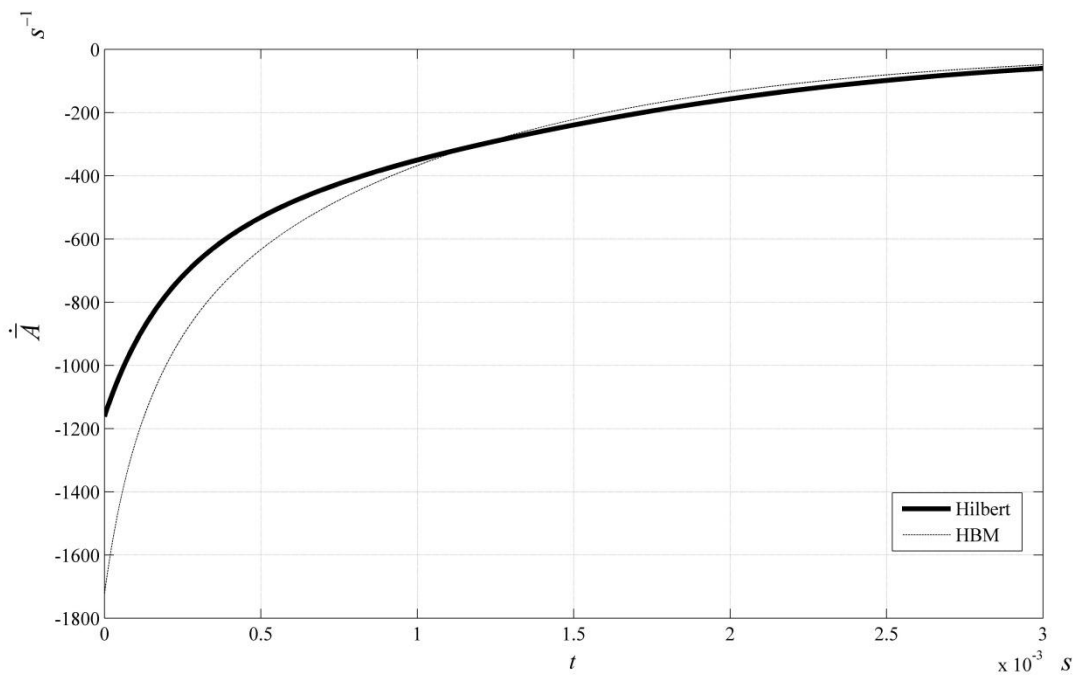
۱۹-۴(ج) دامنه نرمال



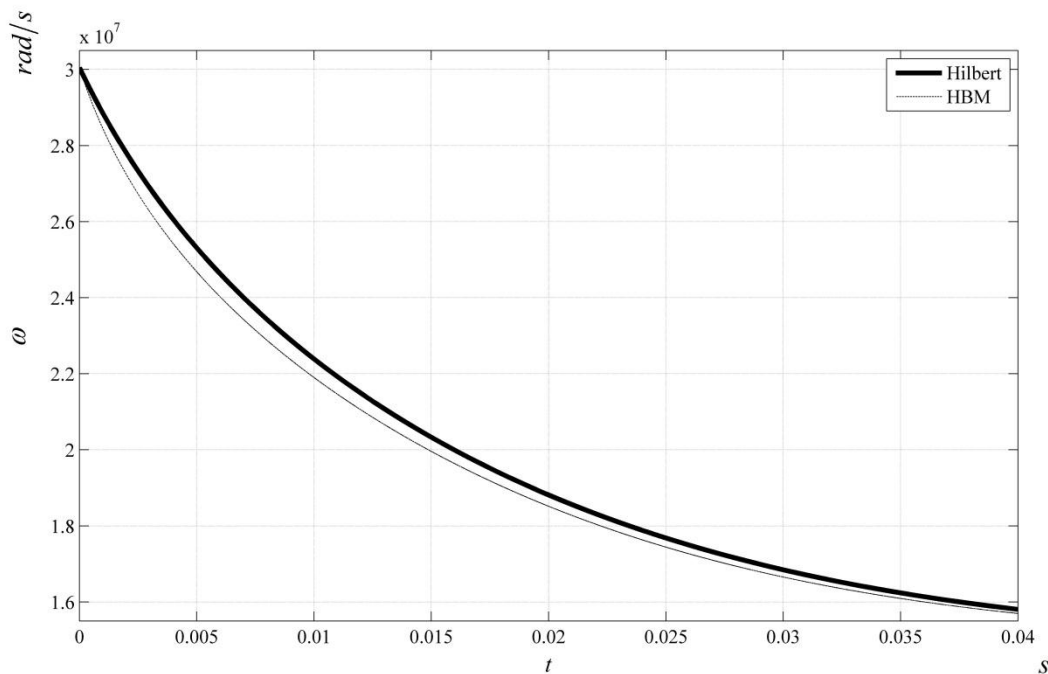
۲۰-۴ الف) مشتق دامنه نرمال نسبت به زمان



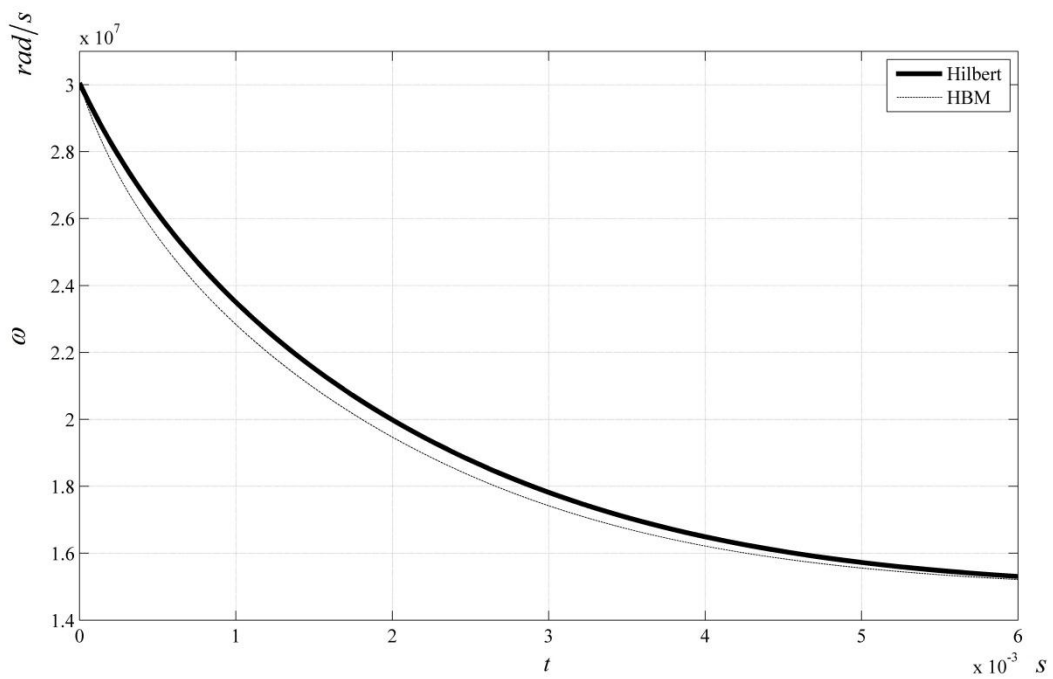
۲۰-۴ ب) مشتق دامنه نرمال نسبت به زمان



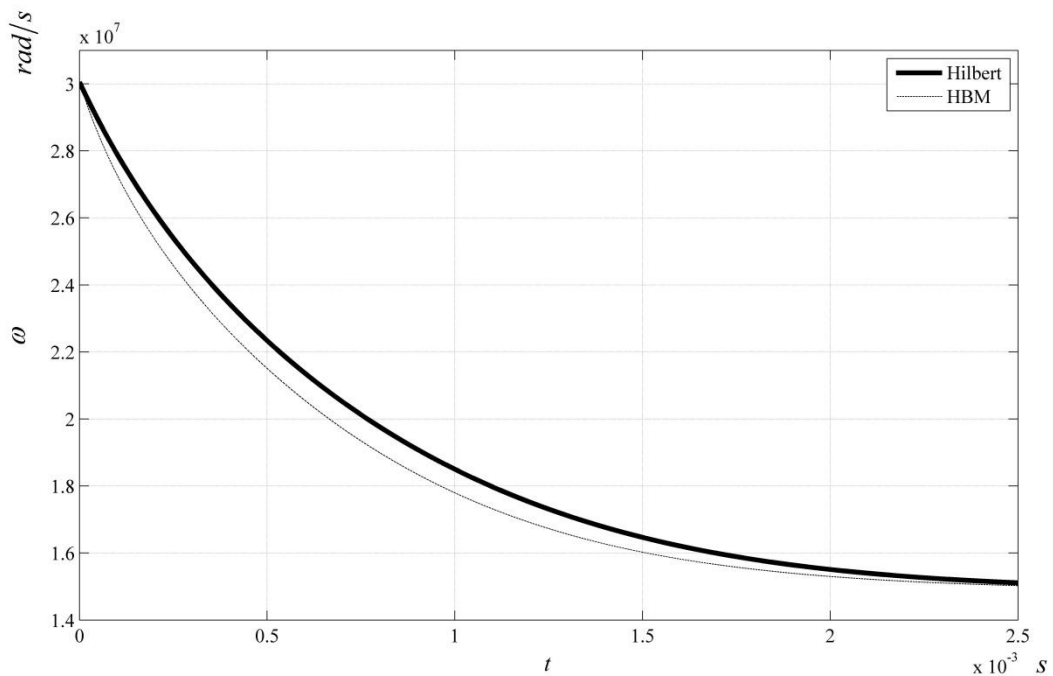
ج) مشتق دامنه نرمال نسبت به زمان  $20 \times 10^{-4}$



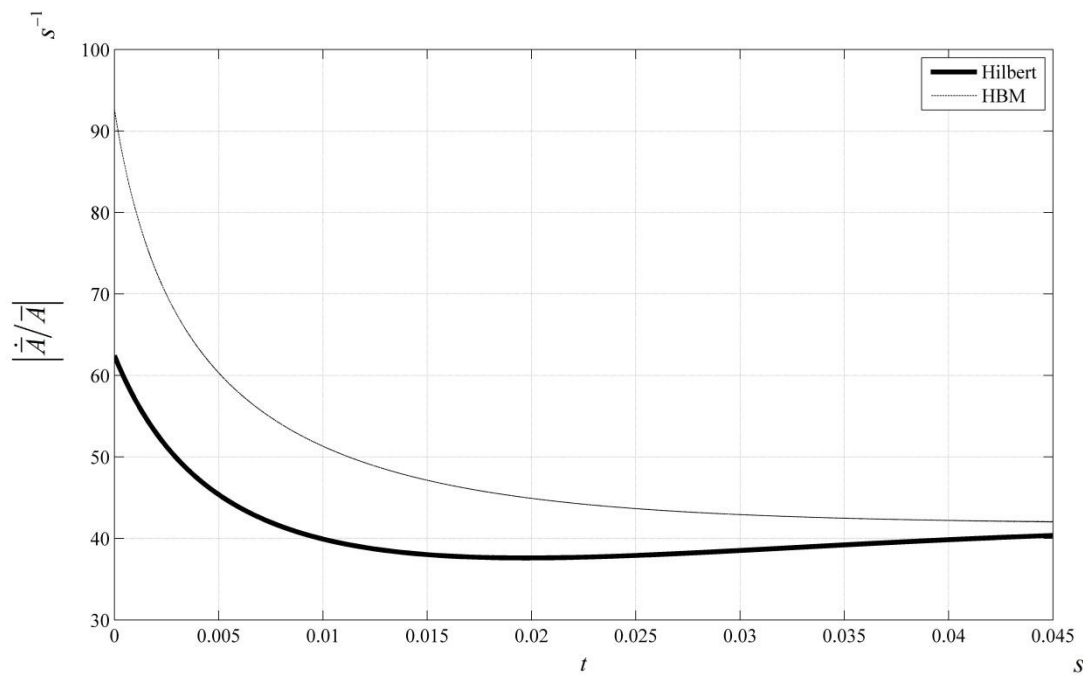
الف) فرکانس میرا  $21 \times 10^{-4}$



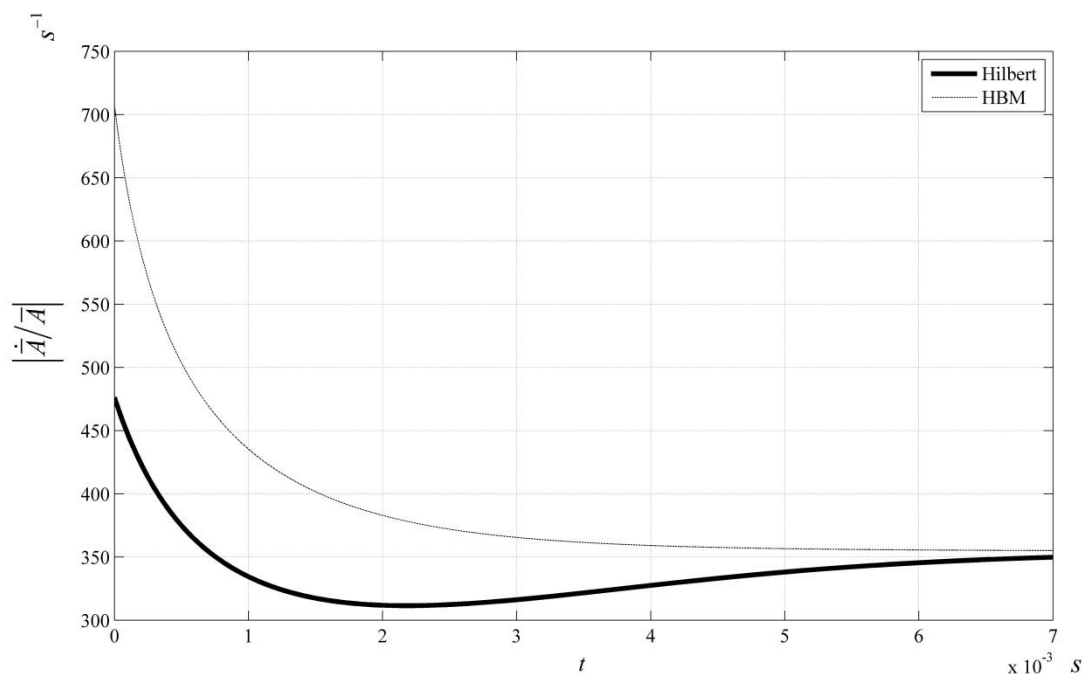
$T = 300 \text{ K}$  ،  $L = 80 \text{ } \mu\text{m}$  ،  $L/h = 20$  فرکانس میرا ۲۱-۴



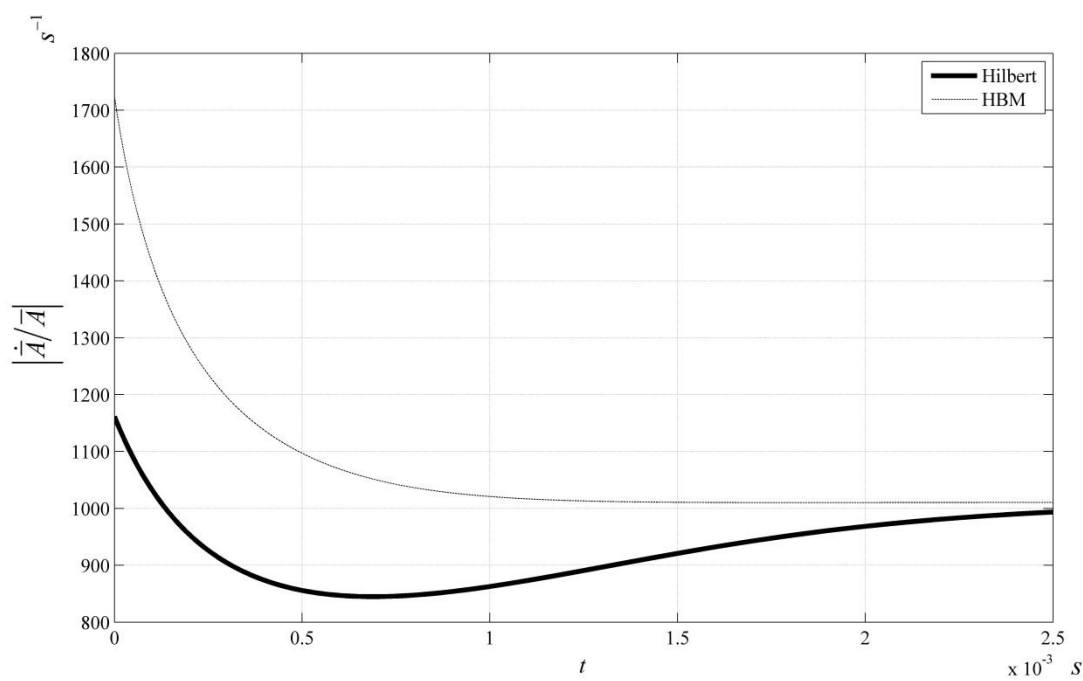
$T = 400 \text{ K}$  ،  $L = 80 \text{ } \mu\text{m}$  ،  $L/h = 20$  فرکانس میرا ۲۱-۴



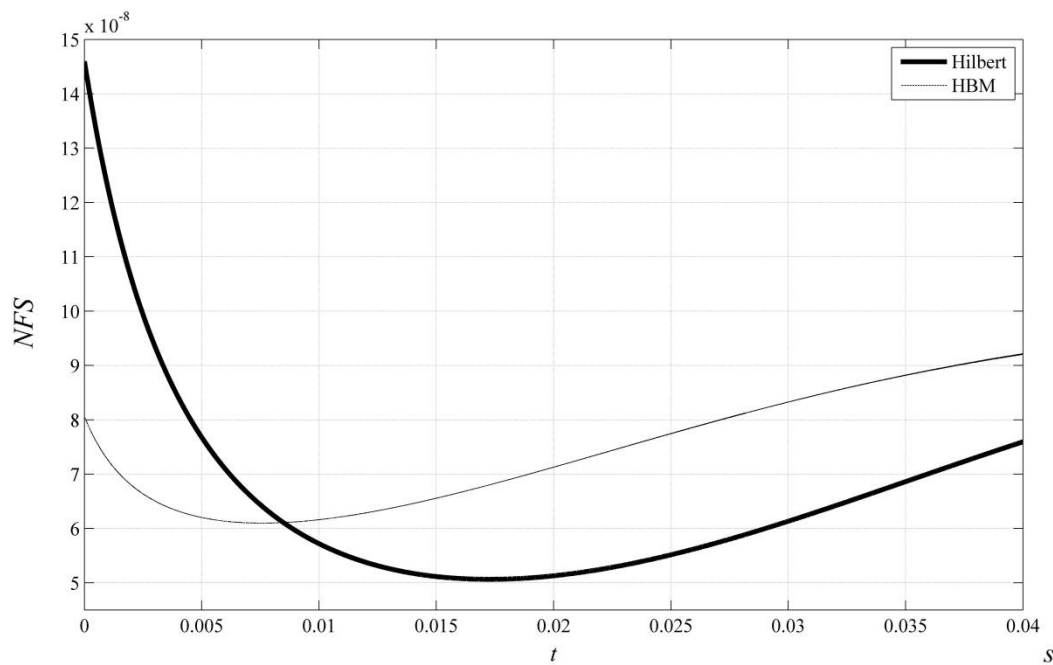
۲۲-۴ (الف) فرکانس موهومی معادل  $T = 200 \text{ K}$  ،  $L = 80 \mu\text{m}$  ،  $L/h = 20$



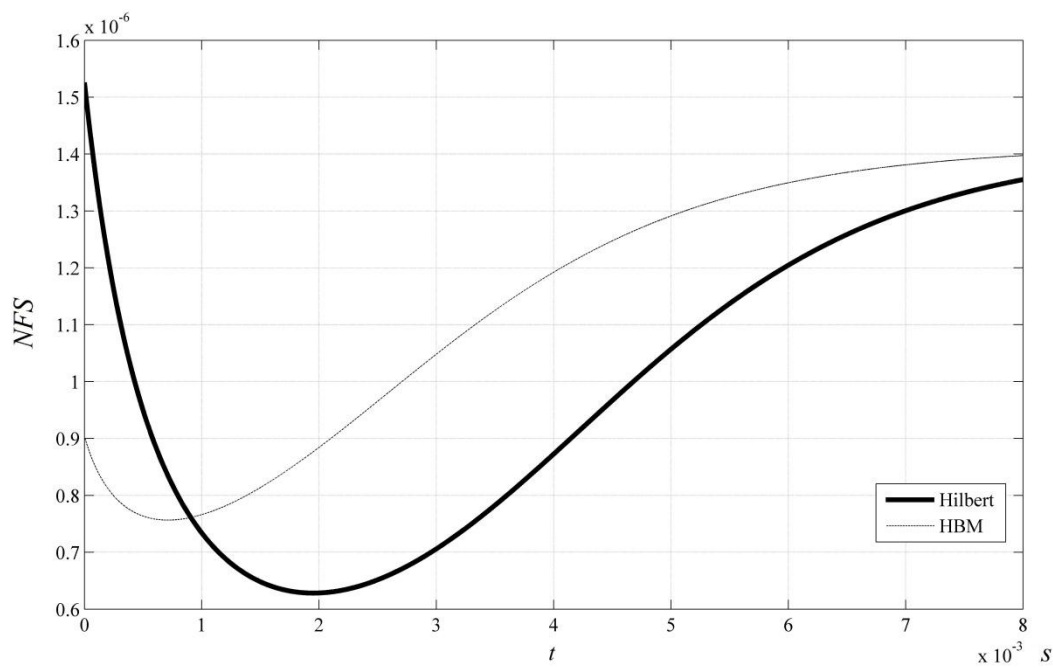
۲۲-۴ (ب) فرکانس موهومی معادل  $T = 300 \text{ K}$  ،  $L = 80 \mu\text{m}$  ،  $L/h = 20$



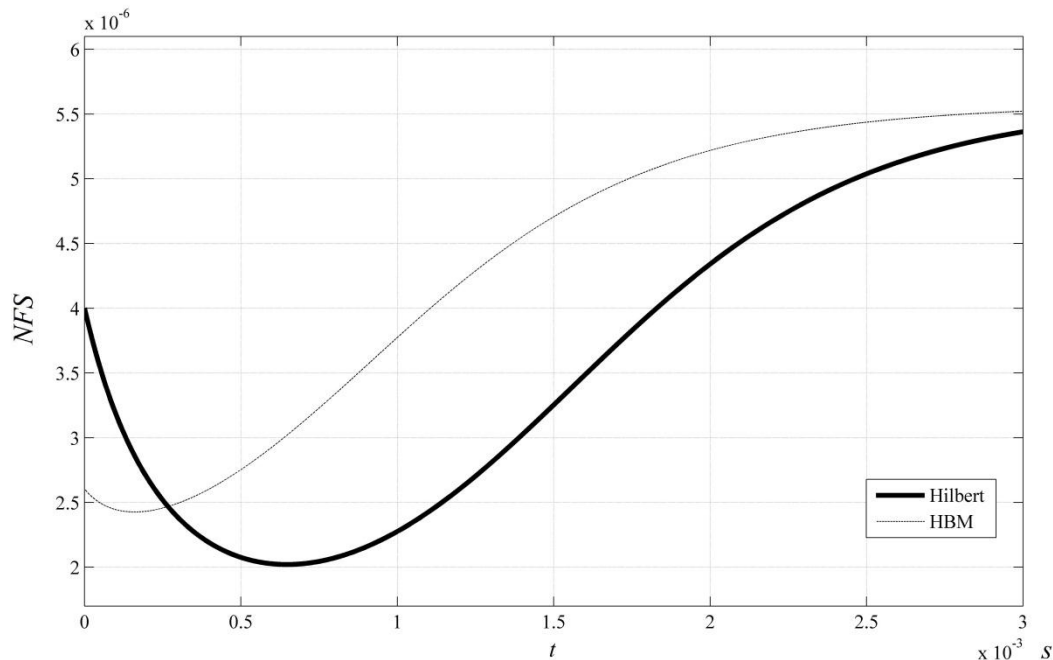
ج) فرکانس موهمی معادل ۲۲-۴



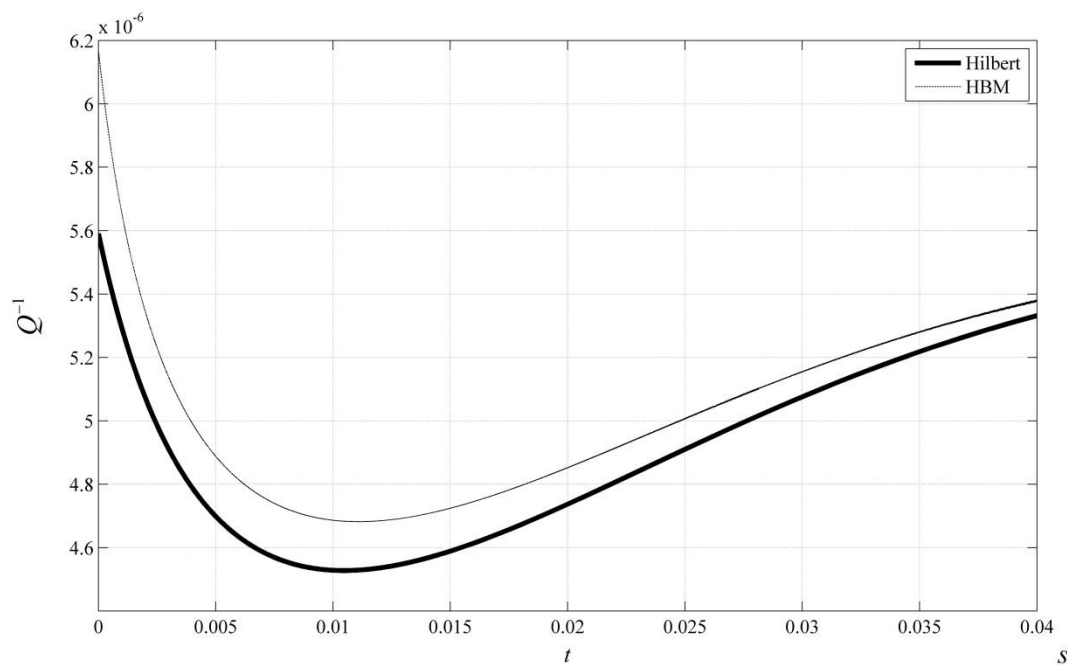
الف) تغییر نرمال فرکانس ۲۳-۴



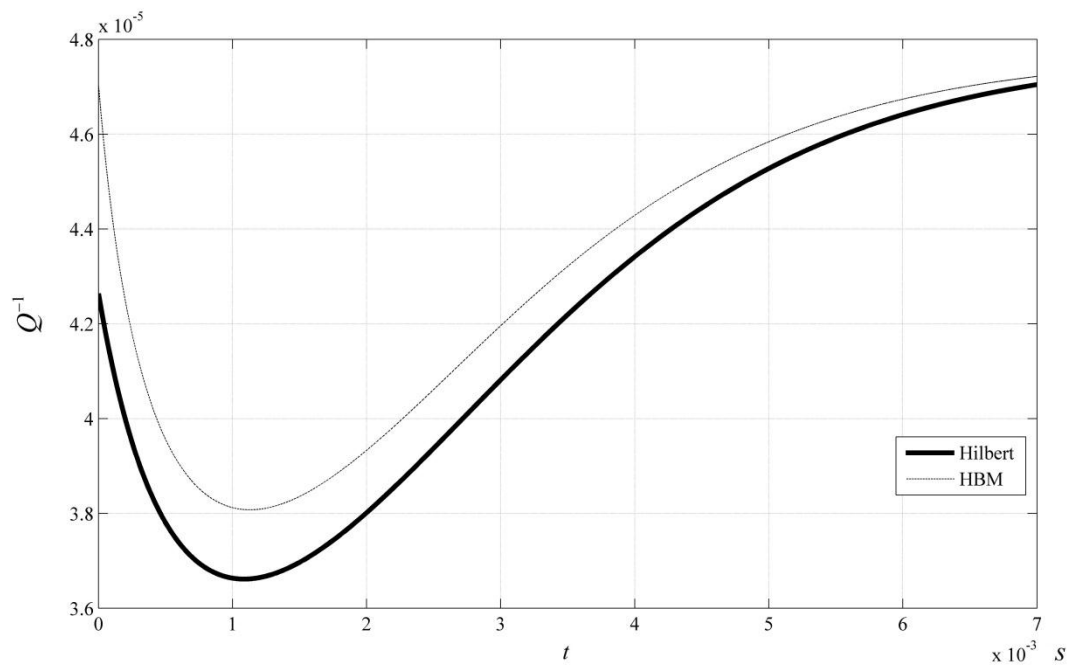
۲۳-۴ ب) تغییر نرمال فرکانس  $T = 300 \text{ K}$  ،  $L = 80 \mu\text{m}$  ،  $L/h = 20$



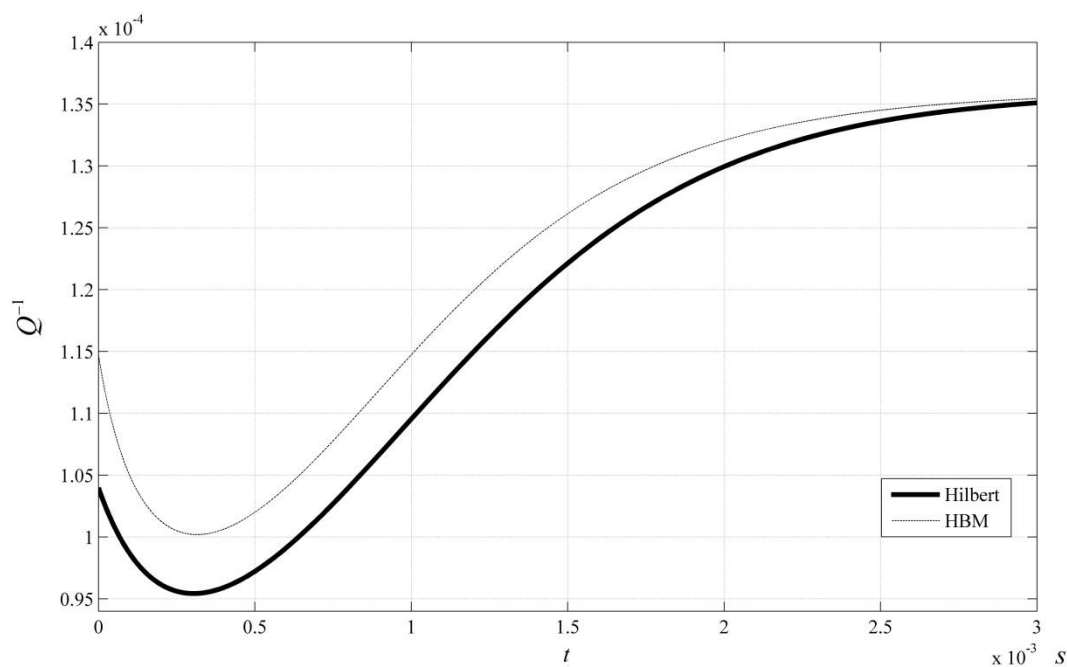
۲۳-۴ ج) تغییر نرمال فرکانس  $T = 400 \text{ K}$  ،  $L = 80 \mu\text{m}$  ،  $L/h = 20$



٤-٢٤(الف) ضریب کیفیت معکوس ضریب کیفیت  $T = 200 \text{ K}$  ،  $L = 80 \mu\text{m}$  ،  $L/h = 20$



٤-٢٤(ب) ضریب کیفیت معکوس ضریب کیفیت  $T = 300 \text{ K}$  ،  $L = 80 \mu\text{m}$  ،  $L/h = 20$



ج) ضریب کیفیت معکوس (۴-۲۴)

## فصل پنجم

نتیجہ گیری

## ۱-۵. خلاصه نتایج

- میرایی ترمومالاستیک تابع فرکانس و دما بوده و فقط در فرکانس های بالا اثر قابل ملاحظه روی سیستم خواهد داشت.
- تغییر ابعاد سیستم ، منجر به تغییر در اثر میرایی به روی سیستم می گردد.
- توابع مود غیر خطی و فرکانس غیر خطی تابع دامنه بوده و در ارتعاشات گذرا با میرایی شدن دامنه به مقادیر خطی خود میل می کنند.
- به دلیل وابستگی فرکانس به دامنه در سیستم های غیر خطی ، دامنه در میرایی ترمومالاستیک اثر مستقیم می گذارد.
- صرفنظر از تغییرات فرکانس نسبت به زمان در ارتعاشات غیر خطی گذرا ، سبب بروز خطای قابل ملاحظه در پارامتر های پاسخ می شود.
- افزایش میرایی موثر سیستم باعث کاهش خطای ناشی از صرفنظر کردن از تغییرات فرکانس نسبت به زمان می گردد.
- تیر مورد بحث ، از نظر مکانیکی سخت شونده بوده و دامنه‌ی بحرانی برای شرایط اولیه وجود ندارد.
- در بررسی حرکت تک مودی برای تیر میکرو به کمک مود های غیر خطی ، یک جمله غیر خطی برای میرایی در سیستم یک درجه آزادی معادل ایجاد می شود که در دیگر روش های متداول حضور ندارد.
- در تحلیل با میرایی خطی ، فرکانس موهومی معادل ، تغییر فرکانس به واسطه‌ی میرایی و معکوس ضریب کیفیت در دامنه های بزرگ تر ، کمتر هستند.
- در تحلیل با میرایی غیر خطی ، فرکانس موهومی معادل ، تغییر فرکانس به واسطه‌ی میرایی و معکوس ضریب کیفیت ، به ازای بعضی مقادیر دامنه نقاط اکسترمم دارند.
- با گذشت زمان و میرا شدن دامنه ، پارامتر های محاسبه شده برای پاسخ سیستم به مقادیر خطی [۹] میل می کنند.

## ۲-۵. پیشنهاد برای پژوهش های آینده

- با تحلیل انتقال حرارت به صورت صدای دوم ، می توان میرایی ترمومالاستیک برای ارتعاشات با فرکانس های بسیار بالا نیز مدل کرد. که در این حالت جابجایی سیستم و انتقال حرارت هم فاز نخواهند بود.
- بررسی اثر میرایی ترمومالاستیک بر رزونانس داخلی.

- با در نظر گرفتن تئوری هایی همچون تنش غیر محلی<sup>۱</sup> ، مدل ریاضی تیر را به شرایط فیزیکی سیستم های نانو نزدیک تر ساخت.
- در زمینه ای ارتعاشات آزاد می توان با استفاده از روش های پردازش سیگنال ، اجزای پاسخ با فرکانس های بالاتر را از سیگنال تحلیلی پاسخ استخراج نمود و رفتار آن ها را در حالت گذرا بررسی نمود.
- ارتعاشات اجباری تیر میکرو نیز تا به حال با مود های غیر خطی بررسی نشده و تحلیل پاسخ پایدار تیر میکرو با لایه های پیزو می تواند موضوع خوبی جهت تحقیق های آینده باشد.

---

<sup>1</sup> Nonlocal Stress

## مراجع و منابع:

- [1] J. R. Vig, F. L. Walls, Frequency Control Symposium and Exhibition, IEEE/EIA (2000) Kansas City, MO, 30-33.
- [2] L. Rodriguez-Pardo, J. F. Rodriguez, C. Gabrielli, R. Brendel, Sensitivity, noise, and resolution in QCM sensors in liquid media, IEEE Sens. J. 5 (2005), 1251.
- [3] R.V. Roszhardt, The effect of thermoelastic internal friction on the Q of micromachined silicon resonators, IEEE Solid State Sensor and Actuator Workshop, Hilton Head Island, SC, USA (1990), 13-16.
- [4] K. Bennewitz, Über elasticsche Nachwirkung, elasticsche Hysteresis und innere Reibung, Phys. Z., vol. 17 (1924), 417-431.
- [5] C. Zener, Internal friction in solids I: Theory of internal friction in reeds, Phys. Rev., vol. 52, no. 3 (1937), 230-235.
- [6] C. Zener, Internal friction in solids II: General theory of thermoelastic internal friction, Phys. Rev., vol. 53, no. 1 (1938), 90-99.
- [7] B.S. Berry, Precise investigation of the theory of damping by transverse thermal currents, J. Appl. Phys. 26 (1955), 1221-1224.
- [8] L.D. Landau, E.M. Lifshitz, Theory of Elasticity, Pergamon Press (1959), 15-39.
- [9] R. Lifshitz, M. Roukes, Thermoelastic damping in micro and nanomechanical systems, Phys. Rev. B, Condens Matter, vol. 61, no. 8 (2000), 5600-5609.
- [10] A.H. Nayfeh, M.I. Younis, Modeling and simulations of thermoelastic damping in microplates, J. Micromech. Microeng 14 (2004), 1711-1717.
- [11] M.J. Silver, L.D. Peterson, Predictive elastothermo-dynamic damping in finite element models by using a perturbation formulation, AIAA (2005), 2646-2653.
- [12] Y. Sun, D. Fang, A.K. Soh, Thermoelastic damping in micro beam resonators, Int. J. Solids Struct 43 (2006) 3213-3229.
- [13] Y.B. Yi, Geometric effects on thermoelastic damping in MEMS resonators, J. Sound and Vibration 309 (2008), 588-599.
- [14] R.M. Rosenberg, Normal modes of nonlinear dual-mode systems, J. Applied Mechanics 27 (1960), 263-268.
- [15] R.M. Rosenberg, The normal modes of nonlinear n-degree-of-freedom systems, J. Applied Mechanics 29 (1962), 7-14.
- [16] R.M. Rosenberg, on nonlinear vibrations of systems with many degrees of freedom, Advances in Applied Mechanics 9 (1966) 155-242.
- [17] R. Rand, Nonlinear normal modes in two-degree-of-freedom systems, J. Applied Mechanics 38 (1971), 561.
- [18] R. Rand, A higher-order approximation for nonlinear normal modes in two-degree-of-freedom systems, International J. Non-Linear Mechanics 6 (1971) 545-547.
- [19] R. Rand, A direct method for nonlinear normal modes, International J. Non-Linear Mechanics 9 (1974), 363-368.
- [20] L.I. Manevitch, Y.V. Mikhlin, on periodic solutions close to rectilinear normal vibration modes, Prikladnaya Matematika I Mekhanika 36 (1972), 1051-1058.
- [21] A.F. Vakakis, Analysis and identification of linear and nonlinear normal modes in vibrating systems, Ph.D. Dissertation, California Institute of Technology, 1990.
- [22] T.K. Caughey, A.F. Vakakis, J.M. Sivo, Analytical study of similar normal modes and their bifurcations in a class of strongly nonlinear systems, International J. Non-Linear Mechanics 25 (1990), 521-533.

- [23] A.F. Vakakis, Non-similar normal oscillations in a strongly non-linear discrete system, *J. Sound and Vibration* 159 (1992), 341-361.
- [24] M.E. King, A.F. Vakakis, An energy-based formulation for computing nonlinear normal-modes in undamped continuous systems, *J. Vibration and Acoustics* 116 (1994), 332-340.
- [25] A.F. Vakakis, L.I. Manevitch, Y.V. Mikhlin, V.N. Pilipchuk, A.A. Zevin, *Normal Modes and Localization in Nonlinear Systems*, Wiley, New York, 1996.
- [26] A.F. Vakakis, Non-linear normal modes and their applications in vibration theory: an overview, *Mechanical Systems and Signal Processing* 11 (1997), 3-22.
- [27] S.W. Shaw, C. Pierre, Non-linear normal modes and invariant manifolds, *J. Sound and Vibration* 150 (1991), 170-173.
- [28] S.W. Shaw, C. Pierre, on nonlinear normal modes, ASME Winter Annual Meeting, 1992.
- [29] S.W. Shaw, C. Pierre, Normal modes for non-linear vibratory systems, *J. Sound and Vibration* 164 (1993), 85-124.
- [30] S.W. Shaw, C. Pierre, Normal modes of vibration for non-linear continuous systems, *J. Sound and Vibration* 169 (1994), 319-347.
- [31] N. Boivin, C. Pierre, S.W. Shaw, Non-linear modal analysis of structural systems using multi-mode invariant manifold, *AIAA* (1994), 1672.
- [32] N. Boivin, C. Pierre, S.W. Shaw, Nonlinear modal analysis of structural systems featuring internal resonances, *J. Sound and Vibration* 182(2) (1995), 336-341.
- [33] E. Pesheck, C. Pierre, S. W. Shaw, A new Galerkin-based approach for accurate non-linear normal modes through invariant manifolds, *J. Sound and Vibration* 249 (2002), 971-993.
- [34] D. Jiang, C. Pierre, S. W. Shaw, Large-amplitude non-linear normal modes of piecewise linear systems, *J. Sound and Vibration* 272 (2004), 869-891.
- [35] D. Jiang, C. Pierre, S. W. Shaw, The construction of non-linear normal modes for systems with internal resonance, *International J. Non-Linear Mechanics* 40 (2005), 729-746.
- [36] D. Jiang, C. Pierre, S. W. Shaw, Nonlinear normal modes for vibratory systems under harmonic excitation, *J. Sound and Vibration* 288 (2005), 791-812.
- [37] D. Hilbert, *Grundzüge einer allgemeinen Theorie der linearen Integralgleichungen*, Chelsea Pub. Co. (1953)
- [38] E. Bedrosian, A product theorem for Hilbert transforms, Rand Corporation Memorandum RM-3439-PR. (December 1962)
- [39] M. Feldman, Nonlinear system vibration analysis using the Hilbert transform - I. free vibration analysis method 'FREEVIB', *Mechanical Systems and Signal Processing* 8 (1994), 119-127.
- [40] M. Feldman, Nonlinear system vibration analysis using the Hilbert transform - II. forced vibration analysis method 'FORCEDVIB', *Mechanical Systems and Signal Processing* 8 (1994), 309-318.
- [41] M. Feldman, Non-linear free vibration identification via the Hilbert transform, *J. Sound and Vibration* 208 (1997), 475-489.
- [42] M. Feldman, Analysis of typical non-linear vibration systems by using the Hilbert transform, *Proceedings of the XI International Modal Analysis Conf*, Kissimmee, Florida (1993), 799-805.
- [43] M. Feldman, S. Braun, Identification of non-linear system parameters via the instantaneous frequency: application of the Hilbert transform and Wigner-Ville technique, *Proceedings of the 13<sup>th</sup> International Modal Analysis Conference (IMAC)*, Nashville, 637-642.
- [44] M. Feldman, S. Braun, Description of free responses of SDOF systems via the phase plane and Hilbert transform: The concept of envelope and instantaneous frequency, *Proceedings of the 15<sup>th</sup> International Modal Analysis Conference*, 739.

- [45] M. Feldman, Theoretical analysis and comparison of the Hilbert transform decomposition methods, *Mechanical Systems and Signal Processing* 22 (2008), 509-519.
- [46] N.E. Huang, Z. Shen, S.R. Long, M.C. Wu, H.H. Shih, Q. Zheng, N.C. Yen, C.C. Tung, H.H. Liu, The empirical mode decomposition and the Hilbert spectrum for nonlinear and nonstationary time series analysis, *Proceedings of the Royal Society of London, Series A - Mathematical, Physical and Engineering Sciences* 454 (1998), 903-995.
- [47] K. Behdinan, M.C. Stylianou, B. Tabarrok, Dynamic of flexible sliding beams non-linear analysis part I: formulation, *J. Sound and Vibration* 208 (1997), 517-539.
- [48] R. B. Hetnarski, M. R. Eslami, *Thermal Stresses – Advanced Theory and Applications*, Springer (2009), ISBN 978-1-4020-9246-6.
- [49] L. Debnath, D. Bahatta, *Integral Transforms and Their Applications* 2<sup>nd</sup> Ed, Taylor & Francis group (2007), ISBN 978-1-58488-575-7.
- [50] Basic Mechanical and Thermal Properties of Silicon, Virginia Semiconductor, Inc.

## **Abstract**

Transient nonlinear vibration of micro beam with thermoelastic damping is the main purpose of this thesis. After presenting a brief history of major related researches, the heat conduction equation for nonlinear strain-displacement relation has been solved and the equation of motion for Euler-Bernoulli beam for large lateral displacement with thermoelastic damping is obtained. Moreover amplitude dependent nonlinear modal functions have been obtained via nonlinear normal modes (NNM) theory which was then used to derive the equivalent SDOF system for single mode vibration. The result of transient nonlinear vibration was obtained by harmonic balance method and analytic signal approach. Amplitude dependent thermoelastic damping and its effect on the response parameters was also studied. Finally it's been shown that the obtained equivalent SDOF system in single mode vibration by NNM theory differs significantly from other conventional methods such as Galerkin procedure, which results in extrema points in response parameters during transient vibration.

**Keywords:** NNM, Microbeam, Thermoelastic Damping, Analytic Signal



**Shahrood University of Technology**

**Faculty of Mechanical Engineering**

# **Nonlinear Modal Analysis of Micro Beam with Thermoelasting Damping**

**Ramtin Haddadzadeh Hendou**

Supervisor:

**Dr Ardeshir Karami Mohammadi**

Date: September 2013